

**Pozo de Perfil de Suelo 7 (pp7),** Unidad 12A-11 con dimensiones de 0.50 x 0.50 m, pozo excavado 15 m al Norte del Basamento 3D, el tipo de suelo fue tierra negra en la superficie y debajo

Sacnis entre los 0.10 y 0.20 m. La unidad se concluyó a los 0.44 m de profundidad cerca de la roca madre, fueron recuperados varios artefactos en los lotes 3 y 4, posible basurero. #

**Tabla 12.9 Detalle de excavación del pozo de perfil de suelo 7. CHA 12A-11**

Nivel	Contexto	Profundidad	Textura	pH	Color	Humedad	Ped	Inclus.
12A-11-1-1	humus	0.14 m	Marga	7	10YR 2/1 – negro	Ligeramente húmedo	Granular	--
12A-11-1-2	Suelo	0.24 m	Marga	7	10YR 2/1	Húmedo	Angular	--
12A-11-1-3	Suelo	0.34 m	Marga	7	10YR 4/2 –café gris oscuro	Húmedo	Angular	Cerámica y Pedernal, posible orejera
12A-11-1-4	Suelo	0.44 m	Marga	--	10YR 4/2	Húmedo	Angular	Punta

**Pozo de Perfil de Suelo 9 (pp9),** Unidad 12A-13 con dimensiones de 0.50 x 0.50 m, pozo excavado al Suroeste de la Op. CHA 6, en un área plana entre el montículo, debajo de una palma. El tipo de suelo fue Sacnis en todo el perfil, la

unidad fue terminada a los 0.40 m de profundidad cerca de la roca madre, cuando grandes rocas se encontraron. Cerámica y pedernal fueron recolectados en los lotes 2 y 3.#

**Tabla 12.10 Detalle de excavación del pozo de perfil de suelo 9. CHA 12A-13**

Nivel	Contexto	Profundidad	Textura	pH	Color	Humedad	Ped	Inclus.
12A-14-1-1	humus	0.10 m	Marga	6,9	10YR 2/1 – negro	Ligeramente húmedo	Granular	Cerámica y pedernal
12A-14-1-2	Suelo	0.20 m	Marga	--	10 YR 2/1	Húmedo	Granular	Cerámica y pedernal
12A-14-3	Suelo	0.30 m	Marga	--	10YR 4/4 – café amarillento oscuro	Húmedo	Angular	Cerámica y pedernal
12A-14-2-4	Suelo	0.40 m	Marga	--	10YR 4/4	Húmedo	Angular	Cerámica y estuco
12A-14-2-5	Suelo	0.50 m	Marga	--	10YR 4/4	Húmedo	columnar	Cerámica y estuco

**Pozo de Perfil de Suelo 10 (pp10),** Unidad 12A-14 con dimensiones de 0.50 x 0.50 m, pozo excavado al Oeste de la Ops. CHA8 Y CHA5, el suelo fue tierra negra en la superficie, aproximadamente 0.10 m de la superficie fue Sacnis y transición a Chachaklú'um a los 0.20 m,

la unidad fue concluida a los 0.50 m de profundidad cerca de la roca madre, cerámica, pedernal y estuco fueron encontrados. Una mazorca de maíz fue encontrado en la superficie lo cual sugiere la existencia de un campo de milpa en las cercanías.#

**Tabla 12.11 Detalle de excavación del pozo de perfil de suelo 10. CHA 12A-14**

Nivel	Contexto	Profundidad	Textura	pH	Color	Humedad	Ped	Inclus.
12A-14-1-1	humus	0.10 m	Marga	6,9	10YR 2/1 – negro	Ligeramente húmedo	Granular	Cerámica y pedernal
12A-14-1-2	Suelo	0.20 m	Marga	--	10 YR 2/1	Húmedo	Granular	Cerámica y pedernal
12A-14-3	Suelo	0.30 m	Marga	--	10YR 4/4 – café amarillento oscuro	Húmedo	Angular	Cerámica y pedernal
12A-14-2-4	Suelo	0.40 m	Marga	--	10YR 4/4	Húmedo	Angular	Cerámica y estuco
12A-14-2-5	Suelo	0.50 m	Marga	--	10YR 4/4	Húmedo	columnar	Cerámica y estuco

### CONCLUSIONES

En una comparación informal de los parámetros del suelo para los sitios de Kante't'u'ul y Chachaklu'um, está claro que el tono rojo del suelo de Chachaklu'um es evidente en los colores Munsell de la tierra excavada (es decir, no sólo en el aspecto de la superficie). Mientras que sólo el 6% de los suelos en Kante't'u'ul estaban dentro de los tonos rojos, más del 20% eran de color rojo en Chachaklu'um. Tonos marrones también fueron más dominantes en Chachaklu'um

que en Kante't'u'ul, mientras que los suelos Kante't'u'ul fueron predominantemente negro y gris. Como se muestra en la Tabla 12.13. Los suelos también fueron en general más secos en Chachaklu'um y La tipología eran en general menos granular y más estructurada (en bloques y columnas). Realizar un trabajo geológico en Chachaklu'um sería ideal para entender la relación entre los suelos, pedogénesis y la actividad antropogénica.

**Tabla 12.12 Los colores del suelo como un porcentaje del número total de muestras de suelo por sitio**

<b>Código Munsell</b>	<b>Color</b>	<b>Chachakluum</b>	<b>Kantetuul</b>
10R 3/2	Rojo oscuro	2,27	0
5YR 3/3	Café rojizo oscuro	9,09	0
5YR4/3	Café rojizo oscuro	9,09	0
2.5YR 2.5/1	Negro rojizo	0	6,49
5YR 2/1	Negro	4,55	0
5YR 2.5/1	Negro	0	12,99
7.5YR 2.5/1	Negro	9,09	0
10YR 2/1	Negro	18,18	36,36
2.5Y 2.5/1	Negro	0	9,09
5Y 2.5/1	Negro	9,09	0
GLE Y1 2.5/N	Negro	4,55	0
GLE Y1 3/10Y	Negro	0	3,9
5YR 3/1	Gris muy oscuro	2,27	0
7.5YR 3/1	Gris muy oscuro	4,55	0
7.5YR 4/1	Gris oscuro	0	1,3
2.5Y 3/1	Gris muy oscuro	2,27	0
5Y 3/2	Gris olivo	0	1,3
5Y 3/1	Gris muy oscuro	0	2,6
5Y 4/1	Gris oscuro	0	1,3
10YR 3/1	Gris muy oscruo	0	11,69
7.5YR 4/4	Café	6,82	0
10YR 2/2	Café muy oscuro	2,27	0
10YR 3/2	Café grisáceo muy osc.	4,55	2,6
10YR 4/2	Café grisáceo oscuro	4,55	5,19
10YR 4/3	Café	0	3,9
10YR 4/4	Café oscuro amarillento	6,82	0
10YR 5/3	Café	0	1,3
10YR 6/2	Café claro grisáceo	0	1,3
10YR 8/3	Café muy pálido	0	1,3
2.5Y 4/4	Café olivo	0	2,6
2.5Y 5/2	Café grisáceo	0	1,3

**Tabla 12.13 Humedad del suelo y la estructura de tipología comparación entre Kante't'u'ul y Chachaklu'um**

	<b>Kante'tu'ul</b>	<b>Chachaklu'um</b>
<b>Humedad</b>		
Seco	1.25	8.89
Ligeramente húmedo	11.25	20.00
Húmedo	87.5	71.11
<b>Estructura de Ped</b>		
Granular	56.25	35.48
Bloque angular	43.75	--
Angular	--	51.61
Columnar	--	12.90



# CAPITULO 13

## OPERACIÓN CHA-13

### PIRÁMIDE AL SUR DEL GRUPO E

Enrique Zambrano

*Universidad de San Carlos de Guatemala*

#### INTRODUCCIÓN

La zona Este del sitio Chachaklu'um se extiende desde el bosque en la Finca Kawil, hasta la Finca San Pedro Itzá, que se ubica directamente el Este de la primera finca. Entre varios grupos de esta zona Este, aparece un Grupo E con una pirámide pequeña en lado Oeste de la plaza y un montículo rectangular bajo y largo en el lado Este (ver Fig. 13.1). Los Grupos E aparecieron en las Tierras Bajas Mayas durante el Preclásico y tuvieron una función ritual astronómica, de posible observatorio solar.

Una pirámide pequeña queda al Sur del Grupo E y esta pirámide fue denominada Operación 13 y sondeada por una sola Sub-operación 13A, por considerarse la mayor sobre una alta plataforma, aunque en la misma dirección se encuentra otra pirámide de menores dimensiones, que se consideró fue construida posteriormente (Castellanos, comunicación personal, 2014). La pequeña pirámide o Estructura 13A de una planta rectangular de aprox. 15 m de largo (eje E/O) x 10 m de ancho (eje N/S) y una altura de  $\pm 4.50$  m. Presentó daños severos en un 30%, ocasionados por saqueos en parte superior (Saqueo 1) y en sus fachadas Norte (Saqueo 2), y Sur (Saqueo 3) del montículo. Las depredaciones eran recientes y habían dejado al descubierto por lo menos una sub-estructura con varias gradas revestidas con estuco bien preservado. La

presencia de estos saqueos hizo necesario su registro, mediante una numeración correlativa, fotografías y dibujos de algunos perfiles.

#### OBJETIVOS

Las unidades de excavación y ventanas tuvieron como objetivo principal la recolección de materiales arqueológicos, para establecer la secuencia constructiva de la estructura.

#### METODOLOGÍA

El montículo fue limpiado de la vegetación que se encontraba sobre y alrededor de la misma, para luego ser sondeada a través de 6 unidades de excavación. Se excavaron unidades de sondeo, una enfrente, cinco sobre la estructura y seis detrás de la estructura, con dimensiones de 1 x 1 m en corte vertical, mientras que las unidades 2, 3 y 4 fueron ventanas de corte horizontal dentro del perfil Oeste del Saqueo 1, las que no superaban los 0.50 m de alto, ancho y profundidad. La excavación fue controlada mediante niveles culturales y en algunos casos por niveles arbitrarios de 0.10 m, sub-divididos en lotes consecutivos tanto horizontales como verticales, según rasgos específicos que se fueron encontrando a través de la excavación y anotados en fichas de registro de lote para un mejor control del material arqueológico.

El *datum* fue ubicado en la esquina más alta de cada unidad. Se tomaron muestras de suelo de los contextos con rasgos importantes. Se realizó el registro de rasgos arquitectónicos, mediante dibujos en vistas de planta y perfil a escalas 1:10, 1:20, 1:50 y 1:250, además de la toma de

fotografías (incluyendo los saqueos).

La tierra fue cernida en cedazo de  $\frac{1}{4}$ " y  $\frac{1}{8}$ ", y el material arqueológico fue depositado en bolsas *tyvek* con su debida etiqueta de procedencia, según su clasificación por industria. Todas las unidades excavadas fueron rellenadas y parte de los saqueos.



**Fig. 13.1 Ubicación de Op.13-A, Estructura Sur del Grupo E del sitio Chachaku'um (Mapa por Alex Kara 2014)**

## DESCRIPCIONES

### **CHA-13A-1: Pozo Frente a Fachada Norte de Estructura**

Pozo de 1 x 1 m, trazado a  $\pm$  3 m al frente en la fachada Norte de la estructura (ver Fig. 13.2). Excavación controlada por medio de estratos culturales.

El Nivel 1 (0.13-0.38 m) corresponde a la remoción de la capa de humus, compuesto de tierra negra suelta y raíces de vegetación baja en descomposición (10 YR 2/1) (ver Fig. 13.3). En este nivel se recolectó la cantidad de 40 tiestos de cerámica, 2 fragmentos de obsidiana y 12 de pedernal. A partir de 0.35 m de profundidad se empezó a notar el cambio de coloración del relleno.

En el Nivel 2 (0.39-0.84 m), el suelo cambió totalmente, a un relleno de tonalidad café (10 YR 5/3), de tierra con una textura arcillosa-granular con pequeñas concentraciones de piedras irregulares de 0.05 a 0.08 m de diámetro.

La remoción de esta capa de tierra aparentemente de colapso estructural, dejó expuesto a 0.84 m de profundidad, un posible Piso de estuco de plaza, en un estado muy deteriorado correspondiente a la última etapa constructiva de la Estructura 13-A (Ver Fig. 13.3). Dentro de

este estrato se recolectó una cantidad masiva de cerámica y se tomaron muestras de suelo para análisis químico, micro-botánico y de flotación.

El Nivel 3 (0.85-1.12 m) correspondió al relleno debajo del piso de plaza. El relleno continuó siendo tierra de color café (10 YR 5/3), pero en comparación con el Nivel 2, la tierra tenía una textura fina y muy arcillosa.

A fin de no romper todo el piso, se redujo la unidad de excavación a 0.40 x 1 m en un corte en el lado Sur del pozo original, continuando con el Nivel 3, (0.85–1.12 m), que correspondió al relleno debajo de piso, relleno de tierra de color café (10 YR 5/3), con tierra de textura fina y arcillosa.

Al finalizar el nivel a 1.12 m se encontró la posible roca madre. Está presentaba rasgos de haber sido trabajada de manera intencional, para nivelar las ondulaciones del terreno, en donde luego de una ligera capa de relleno sería erigida la estructura 13A.

La cantidad de material arqueológico recolectado, fue muy poco, extrayéndose 28 tiestos de cerámica y dos fragmentos de pedernal. Al nivel de la posible roca madre se finalizó la excavación de la unidad 1.

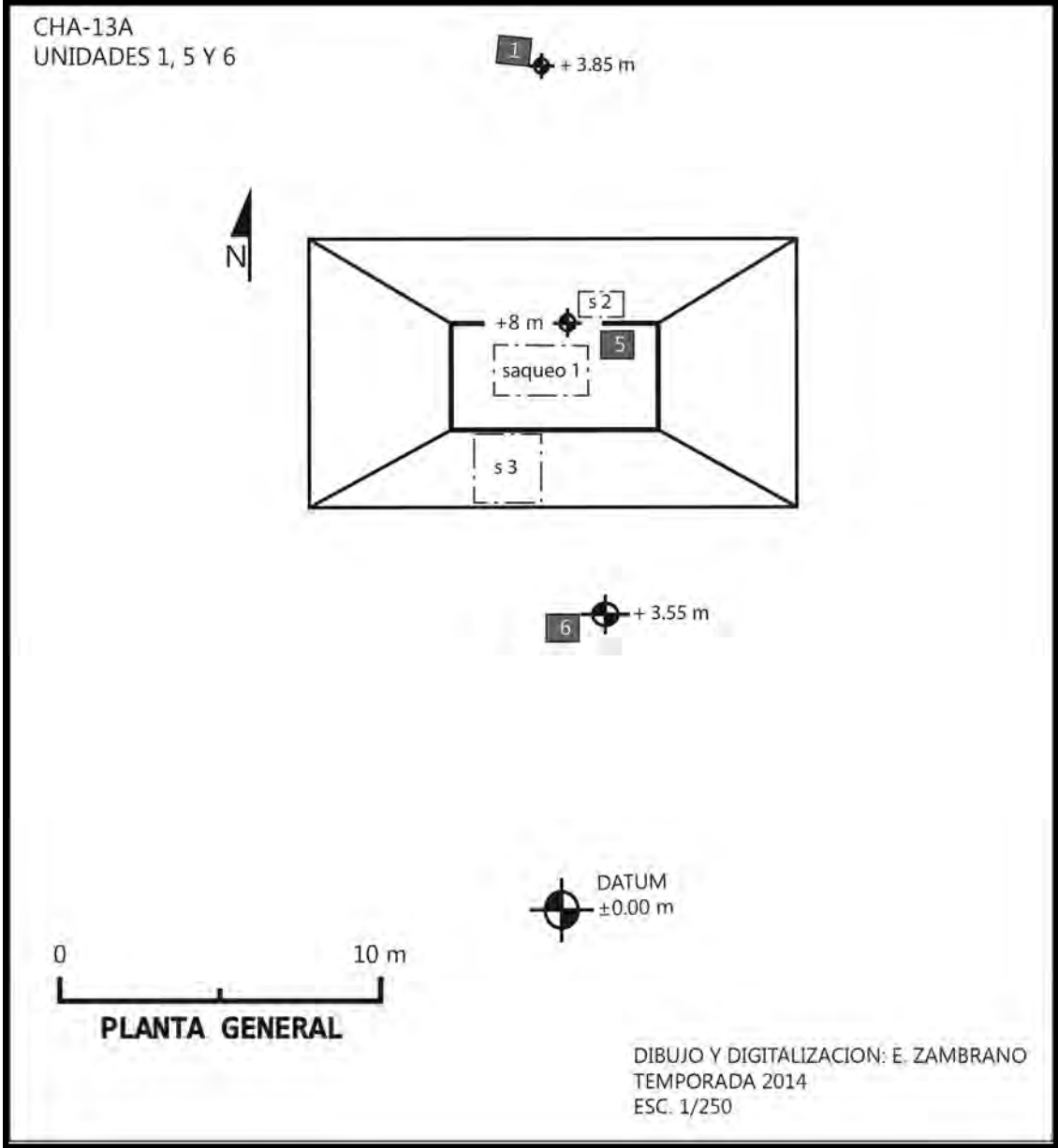


Fig. 13.2 Planta y unidades de excavación Op. 13A, Estructura Sur de Grupo E

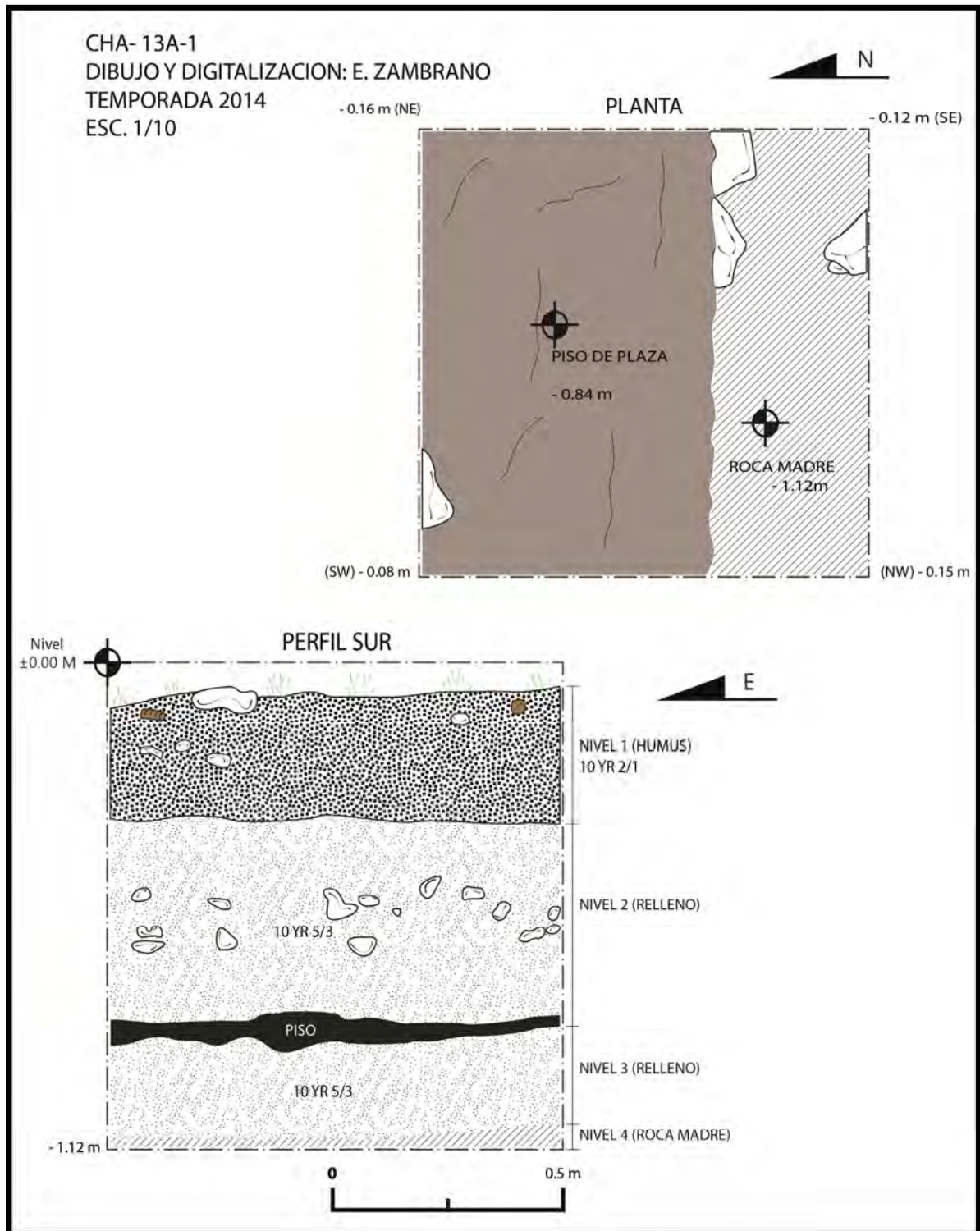


Fig. 13.3 CHA-13A-1: Planta y perfil

### **CHA-13A-5: Pozo en eje N/S en la parte superior de Estructura**

El pozo de 1 x 1 m, fue trazado al lado Este del Saqueo 1, de corte vertical que llegó a una profundidad de  $\pm 4.50$  m. La esquina S/O de la unidad fue la referencia de *datum*, para el control de niveles sub-divididos en lotes culturales y arbitrarios.

La recolección de artefactos procedentes del Saqueo 1, (en el interior de la estructura 13A), sirvieron para conocer la secuencia constructiva. Los perfiles de la Unidad CHA 13A-5 junto con el Saqueo 1 son presentados en la Fig. 13.4.

El Nivel 1 (0.43-0.70 m), correspondió al humus (10 YR 2/1), una mezcla de tierra suelta negra con material orgánico, aparentemente parecía ser escombros de una super-estructura, el cual fue depositado como producto del Saqueo 1. Al remover el humus, apareció el primer piso, denominado Piso A, estucado y expuesto únicamente en el perfil Oeste de la unidad 5. El Piso A tenía un estuco de 0.04 m de grosor, el cual corresponde a la última remodelación realizada a la estructura. Se recogieron tres muestras de estuco, procedentes del Piso A.

El Nivel 2 (0.75-0.94 m), debajo del Piso A, correspondió a una capa de relleno de tierra café (10 YR 6/3), de una textura arenosa y piedras dispersas de dimensiones entre 0.05 y 0.08 m. A pesar de ser un nivel de 0.20 m de grosor, se recolectó una cantidad muy numerosa de material arqueológico y también fueron tomadas 3 muestras de suelo.

El Nivel 3 (0.95-1.88 m) es una segunda capa de relleno debajo de Piso A, con una coloración café muy pálido (10 YR 8/2), su textura es arcillosa-granular y dejó expuestas, piedras amorfas de

distintas dimensiones y se evidenció el cambio de tierra. La cantidad de material arqueológico recolectado en este nivel, fue superior al Nivel 2.

Nivel 4 (1.88-2.26 m), es la tercera capa de relleno abajo del Piso A, compuesto de tierra de color café (10 YR 6/4), que al ser removido, dejó expuesto un segundo piso estucado (Piso B). Este relleno fino parece que fue preparado intencionalmente como una capa de recubrimiento de 0.38 m de grosor de tierra muy fina para conservar el Piso B, correspondiente a la parte superior de la sub-estructura, que puede observarse desde el Saqueo 1, a la cual se le denominó 13A-Sub 1.

Nivel 5 (2.26 - 2.30 m) fue el grosor de Piso B, piso superior de la 13A-sub 1. Este presentaba una compactación muy fuerte y al momento de ser fragmentado, fue evidente una coloración grisácea, tomándose muestras del suelo para análisis de composición del mismo, debido a que el color de este piso es muy diferente a otros pisos estucados recuperados en contextos de arquitectura mayor con sub-estructuras internas, en el sitio durante esta temporada.

A partir de 2.30 m de profundidad debajo de *datum*, el nivel 5 fue sub-dividido en lotes verticales y arbitrarios de 0.10 m en grosor (lote 6 al lote 25), y a continuación se describen los lotes donde fue notorio el cambio de coloración de relleno, y los que dejaron expuestos rasgos que facilitaron una mejor comprensión del interior de la sub-estructura. Lote 6 y 7 (2.30-2.46 m), relleno debajo del Piso B que corresponde a la Sub-estructura 1. Este relleno, compuesto de tierra de color café muy pálido (10 YR 7/4) y una textura fina-arcillosa.

De dicho relleno se tomaron 3 muestras para análisis de distintos tipos, en este lote fue notorio el cambio de coloración de tierra, por lo que se cambió el nivel.

Los lotes 8 a 18 (2.47-3.36 m), formaron parte de un relleno calizo, de tonalidad café muy pálido (10 YR 8/3), con una textura muy fina. En la esquina Suroeste del Lote 8 (2.47-2.56 m), se concentró tierra café (10 YR 5/3) con una textura muy arcillosa. Este relleno fue mucho más evidente en el interior del Saqueo 1 (ver Fig. 13.4) y parece indicar que los materiales para las remodelaciones realizadas a la estructura 13A, fueron extraídos de distintos lugares de la región. Mientras que en la esquina Noroeste, quedó expuesta una piedra amorfa de 0.30 m aprox. de diámetro.

En los lotes 10 al 12, a una profundidad de 2.68 a 2.89 m en el perfil Sur de unidad de excavación se recolectó una muestra de carbón orgánico. Entre 2.73 a 2.86 m de profundidad, quedaron expuestos 4 bloques de piedra caliza, concentrados en la esquina Noreste de la unidad 5 (Fig. 13.5/Planta1). Estas piedras posiblemente formaron parte de un muro de los cajones de contención del relleno. Es una técnica muy utilizada por los Mayas, en sus sistemas constructivos de arquitectura monumental en las Tierras Bajas Mayas (Muñoz y Vidal, 2004:741-743).

A partir del Lote 13 (2.86 m) el color del relleno continua siendo café muy pálido (10 YR 8/3), pero su consistencia pasó a ser muy compacta. A una profundidad de 3.27 m debajo de *datum*, se empezó a evidenciar material arqueológico. Entre los lotes 16 y 18 (3.40-3.67 m de profundidad) quedaron expuestos nuevamente dos bloques de

piedra caliza (ver Fig. 13.5/Planta 2), guardando una relación con los bloques evidenciados anteriormente. Se considera que los rasgos encontrados dentro de la sub-estructura, podrían también ser muros de cajones de contención. A la profundidad de 3.67 a 3.96 m, se hizo notable el cambio de tierra. El relleno cambio a una tonalidad café pálido (10 YR 6/3) con una textura arcillosa, donde el relleno al ser removido a la profundidad de 3.74 m en el perfil Norte de la Unidad y Nivel 5 en el lote 20, quedó expuesto el denominado Piso E de estuco de 0.05 m de grosor. Este piso corresponde al piso de plaza (Piso E), el cual está directamente asociado a la Estructura 13A-sub 1. Esto se confirmó, proyectando las profundidades en las que se encontraban cada piso dentro de la unidad 5 con las del Saqueo 1 (ver Fig. 13.4). En la esquina Sureste de la unidad, quedó expuesta una concentración de piedras amorfas de  $\pm 0.20$  m de diámetro. Dichas piedras forman parte del relleno de contención donde fue erigida la Estr. 13A-sub 1, debido a que a 4.34 m de profundidad debajo de *datum*, en el perfil Sur de la Unidad y Nivel 5 en el Lote 24, se encontró el denominado Piso F estucado, con un grosor de 0.04 m, Piso que correspondería a la parte superior de una plataforma denominada como Estr. 13A-Sub 2, sobre la cual fue erigida la Estr. 13A-Sub 1 (ver Fig. 13.4). Dentro del material recolectado, se encontró un fragmento de figurilla modelada, similares a las del Complejo Cerámico Ox del sitio arqueológico El Mirador. Y finalizó la excavación dentro de la Unidad 5 debajo del Piso F de la Estr. 13A-Sub 2, a una profundidad de 4.46 m, sin haber podido llegar al nivel de la posible roca madre.

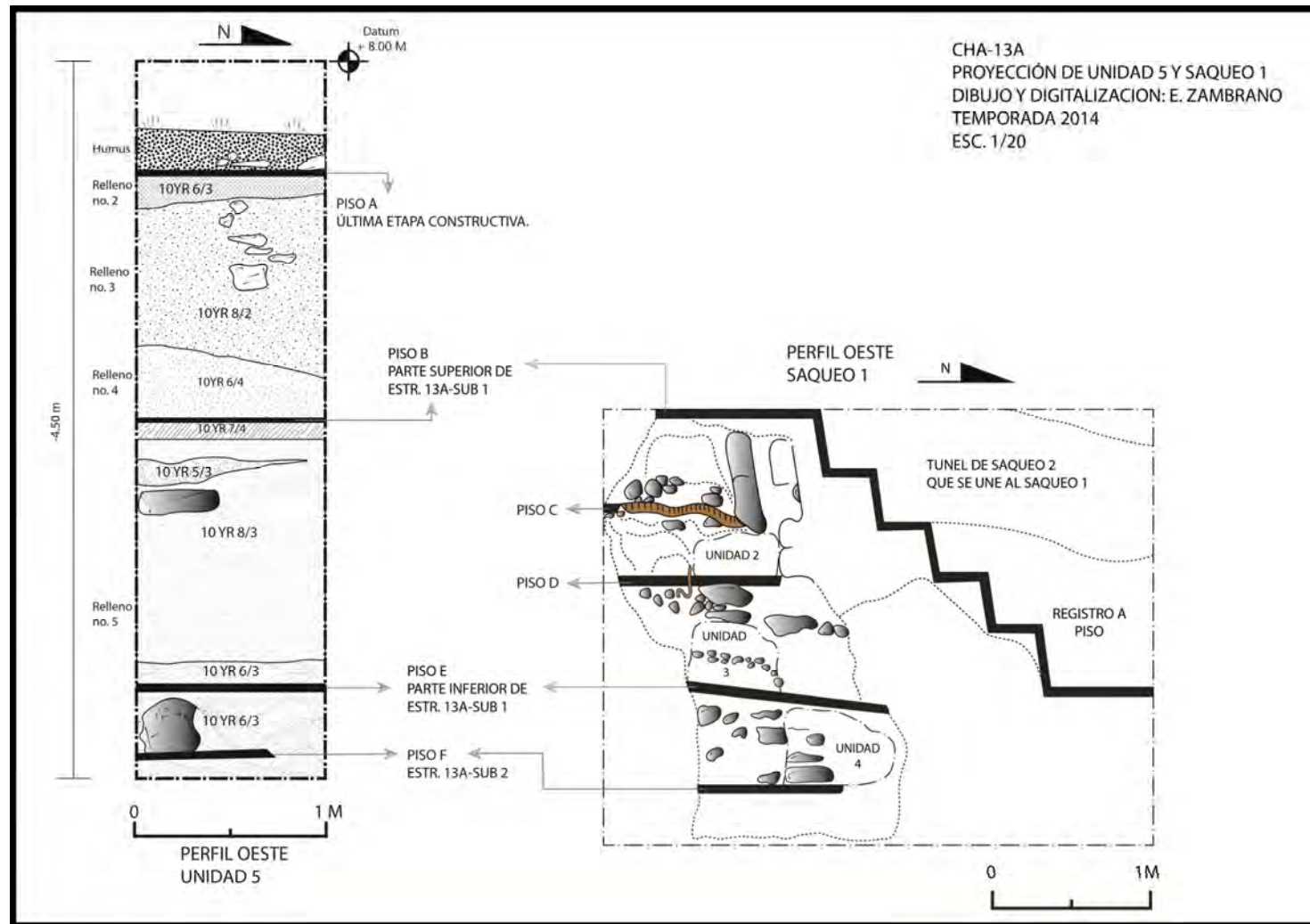


Fig. 13. 4 CHA-13A-5 y Proyección Saqueo 1 en eje de la Estructura 13

### **CHA-13A-2: Ventana de registro dentro Perfil Oeste del Saqueo 1**

Aprovechando el daño que ya presentaba la estructura, el cual dejó expuestos una secuencia de varios pisos de estuco en el interior de la 13A-sub 1, se realizaron unidades de registro para fechamiento entre uno y otro piso.

La Unidad 2 se ubicó a una profundidad de 2.90 a 3.30 m del *datum* (entre Piso C y D en Fig. 13.4). El corte se realizó de manera horizontal en dirección al oeste. Las dimensiones de la unidad fueron de 0.30 de alto x 0.50 m de ancho y con una profundidad de 0.70 m, y la distancia que existía entre ambos pisos era de 0.40 m.

El material de relleno consistía en tierra café claro (10 YR 6/2) con una textura arcillosa-granular, la remoción de la capa de tierra por momentos dejó expuestas algunas piedras irregulares que formaban parte del relleno.

En esta ventana de registro, se recolectó la cantidad de 28 tiestos cerámicos relacionados al Preclásico Medio por la presencia de cerámica Mamón, además de tres fragmentos de concha y dos de pedernal.

### **CHA-13A-3: Ventana de registro dentro del Perfil Oeste del Saqueo 1**

Ventana ubicada debajo de la unidad 2 (Ver Fig. 13.4) a una distancia  $\pm 0.30$  m, según *datum* a una profundidad de 3.45 a 3.80 m (entre Piso D y E).

El corte se realizó de manera horizontal, siempre en dirección al Oeste, las dimensiones de la unidad fueron 0.35 de alto x 0.60 m de ancho y una profundidad de 0.60 m.

El material de relleno consistía en tierra café (10 YR 5/3) con piedras pequeñas, y una textura arenosa. La cantidad de material recolectado fueron un fragmento de obsidiana, dos de pedernal, seis de concha y varios fragmentos de cerámica.

### **CHA-13A-4: Ventana de registro dentro del Perfil Oeste de Saqueo 1**

Ventana ubicada debajo y al lado derecho de la unidad 3 a una distancia  $\pm 0.15$  m, y según el *datum* a una profundidad de 3.90 a 4.30 m (entre Piso E y F). El corte se realizó de manera horizontal en dirección al Oeste, las dimensiones de la unidad fueron 0.40 de alto x 0.70 de ancho y a una profundidad de 0.50 m.

El material de relleno consistió en tierra café (10 YR 5/3) con una textura arcillosa-granular. En la esquina inferior izquierda se evidenció una concentración de bloques de piedra caliza  $\pm 0.25$  m de largo x  $\pm 0.10$  m de alto, formando parte de los muros de contención del material de relleno de la Estr. 13A-Sub 2.

La cantidad de material recolectado fue muy poco, 31 tiestos de cerámica y 3 fragmentos de pedernal.

Dentro del perfil de Saqueo 1, se recuperó cerámica Mamón del Período Preclásico Medio, en las Unidades CHA 13A-2, 3 y 4. También se evidenció una escalinata remetida, la cual sería el acceso principal a la parte superior de la Estr. 13A-Sub 1, pero esta fue destruida completamente por el Saqueo 2 (Túnel), ubicado en la Fachada Norte de la Estructura (Ver Foto no. 12.1).

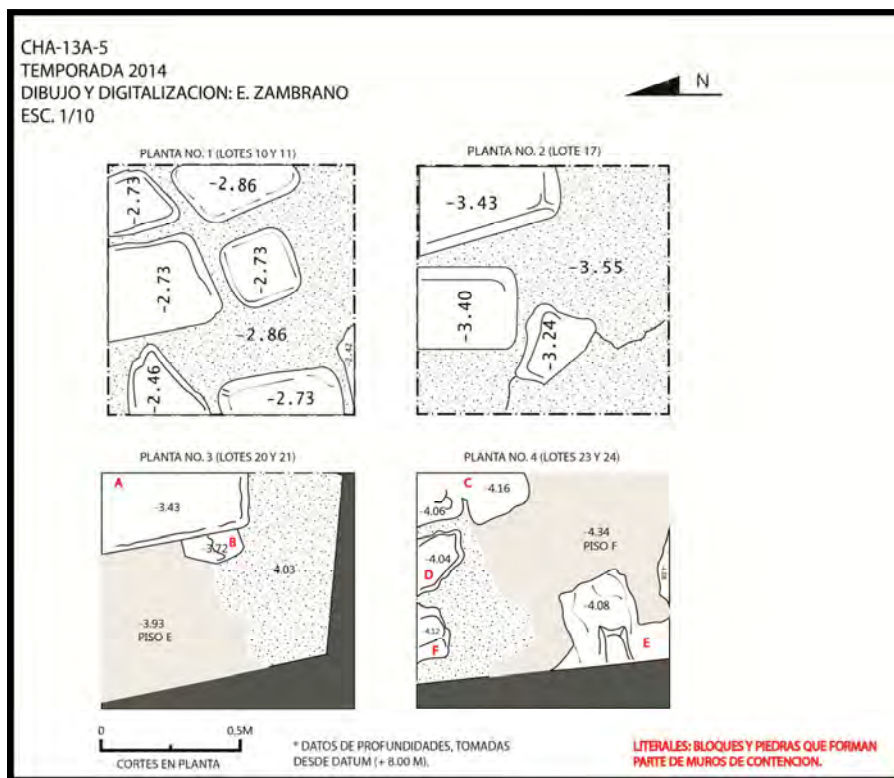


Fig. 13.5 CHA-13A-5 (Plantas)



Foto. 13.1 Saqueo 1 y ubicación de Escalinata Remetida

### **CHA-13A-6: pozo de sondeo en Fachada Sur de Estructura.**

Pozo de 1 x 1 m en eje N/S, con la intención de ubicar posibles basureros cerámicos. Únicamente se excavó un nivel con su respectivo lote, debido a restricciones de tiempo.

Se excavó un lote de humus hasta la profundidad de 0.36 m debajo de *datum* (esquina NW). El humus es tierra negra suelta (10 YR 2/1), con una textura granular y una alta concentración de raíces en descomposición. En este lote se recolectaron 25 tiestos de cerámica y 5 fragmentos de pedernal.

### **RESULTADOS**

Es difícil inferir la forma arquitectónica exacta de la Estructura 13A, dentro de las etapas constructivas que esta presentaba. Fueron muy pocas unidades de sondeos realizadas, pero estas revelaron detalles importantes permitiendo una comprensión mayor sobre las técnicas constructivas utilizadas por las Mayas de Chachaklu'um.

Esto se hace notar en la Unidad 1 (frente a la estructura), donde a una profundidad de 1.12 m se pudo observar como los antiguos mayas nivelaron las ondulaciones del terreno, para luego instalar plataformas, edificios, basamentos, estructuras, etc., siendo un patrón ampliamente conocido en la región. La Unidad 5 (sobre la estructura) dejó expuesta en primer lugar, a una profundidad aproximada de 0.70 m del *datum*, el denominado Piso A, el cual correspondía a la última remodelación de la estructura 13A.

Esta primera etapa constructiva, según el análisis previo del material, está asociada al Período Clásico Tardío.

En lo que respecta a los rellenos de colores oscuros, se puede decir con certeza que algunos se vieron afectados por procesos de lixiviación y mimetización por factores de erosión natural. Los rellenos de textura fina depositados encima de los pisos encontrados, son capas de recubrimiento intencional, evitando la destrucción del rasgo cultural y formando parte de la técnica de remodelación empleada. Las excavaciones indicaron también que los mayas antiguos estaban extrayendo material de relleno de distintos lugares de la región.

Debajo del piso A,  $\pm 1.50$  m, hubo una capa de un grueso relleno suelto mezclado con piedras de diversos tamaños y se recuperó una cantidad masiva de material arqueológico. Que al momento de ser extraído, dejó expuesto el denominado Piso B, correspondiendo a la parte superior de la denominada Estr. 13A-sub 1.

Debajo del Piso B, hubo también una capa gruesa de relleno, aproximadamente de un metro y medio donde fue más evidente la técnica utilizada para la remodelación correspondiente a la sub-estructura.

Al momento de ir extrayendo el relleno, fueron quedando expuestas varias concentraciones de bloques de piedra caliza, debidamente alineados en eje N/S y depositados uno encima de otro. Estos bloques formaron parte de muros de contención de un sistema constructivo de cajones, muy utilizado para arquitectura monumental en la zona.

A una profundidad de 1.50 m del Piso B, apareció otro piso, denominado

Piso E (ubicado en la unidad 4) y que correspondió a la parte inferior de la sub-estructura.

A una distancia de 0.34 m del piso E, se encontró el denominado Piso F (Sub 13A- 2), piso sobre el cual fue instalada la Sub-estructura 13A-sub-1 (Ver foto 12.2). Donde el material cerámico recolectado entre ambos pisos, parecen indicar una ocupación muy temprana para el sitio y área de excavación, posiblemente en el Período Preclásico Medio, por la presencia de cerámica tipo Mamón. En cuanto a la forma arquitectónica de la Sub-estructura 1, se puede decir con certeza, que está era una plataforma baja de dimensiones desconocidas, pero de una altura de 1.50 m con escalinatas remetidas al centro de la fachada Norte.

La poca presencia del material arqueológico podría deberse a que la

Estructura 13A, pudo haber sido una estructura administrativa que formaba parte del conjunto arquitectónico denominado Grupo E.

Por otro lado, la Unidad 6 fue ubicada en la fachada Sur de la estructura, con la intención de localizar posible basurero de ritual público, esto debido a la depresión natural de más de 15 m de declive. Pero por cuestiones de tiempo no se pudo seguir profundizando en la excavación, no se encontró basureros asociados.

Por último, se sugiere que a futuro pueda dedicarse una temporada más de excavación en esta área en donde se ubicaba la estructura 13A, estrechamente vinculada al Grupo E del sitio, en donde quedaron sin ser sondeadas la mayoría de estructuras.



**Fotografía 13.2 Saqueo 1 y ubicación 13A-Sub-1**

# CAPÍTULO 14

## OPERACIÓN CHA-14

### MONTÍCULO MAYOR AISLADO

Jeanette Castellanos

*Universidad de San Carlos de Guatemala*

#### INTRODUCCIÓN

La Operación CHA-14A, investigó una pequeña estructura sobre una muy amplia plataforma basal. La plataforma basal es bastante alta en conjunto con su estructura superior, que asemejan una pirámide, vistas en superficie y se encuentra aproximadamente a 300 m de la parte posterior de la Plataforma Este del Grupo E (Ver Fig. 14.1).

La plataforma basal, de planta cuadrada mide aproximadamente 30 m<sup>2</sup>, y en la parte superior, en el extremo Este, una pequeña estructura de 8 m<sup>2</sup> y 1 m de alto (véase Fig. 14.2). En esa misma dirección, detrás del montículo, desde la base de la plataforma hasta la cúspide

del montículo pequeño presentaba un gran saqueo.

#### METODOLOGÍA Y OBJETIVOS

La intervención arqueológica a este montículo, consistió en tres pozos de sondeo, uno al frente y sobre la plataforma que sostiene a la pequeña estructura, otro en la parte superior de la estructura y el último en la parte posterior de la plataforma a nivel de plaza, los objetivos de estas unidades de excavación fueron fechar el edificio y localizar un posible basurero.

Se siguió la misma metodología de excavación, registro y nomenclatura descrita para la Operación 11.



Fig. 14.1 Ubicación Operación CHA14-A Montículo Mayor Aislado (Tomado Kara 2014)

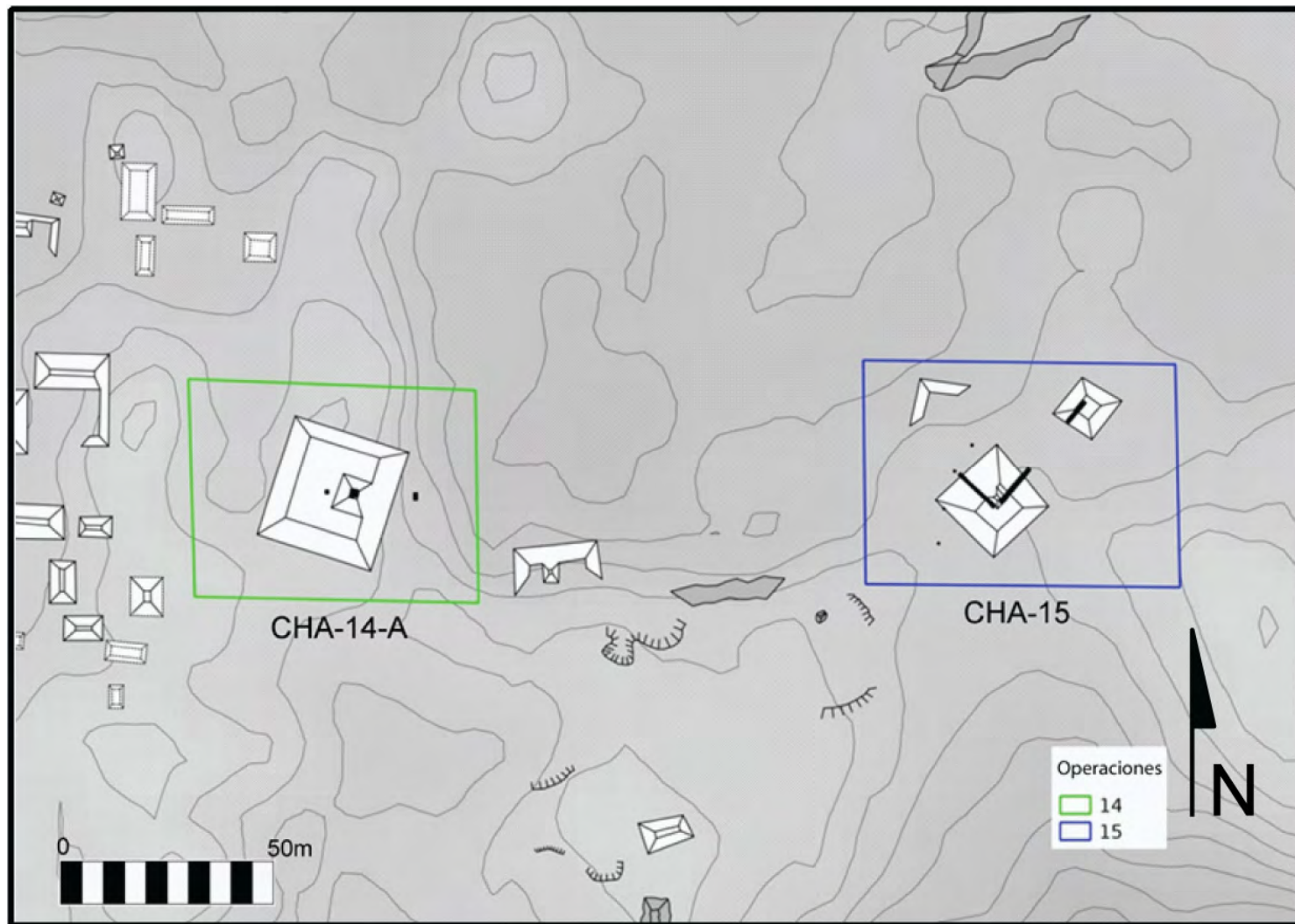


Fig. 14.2 Acercamiento CHA-14A Montículo Mayor Aislado (Tomado de Kara 2014)

### **CHA-14A-1 Sobre Plataforma Basal**

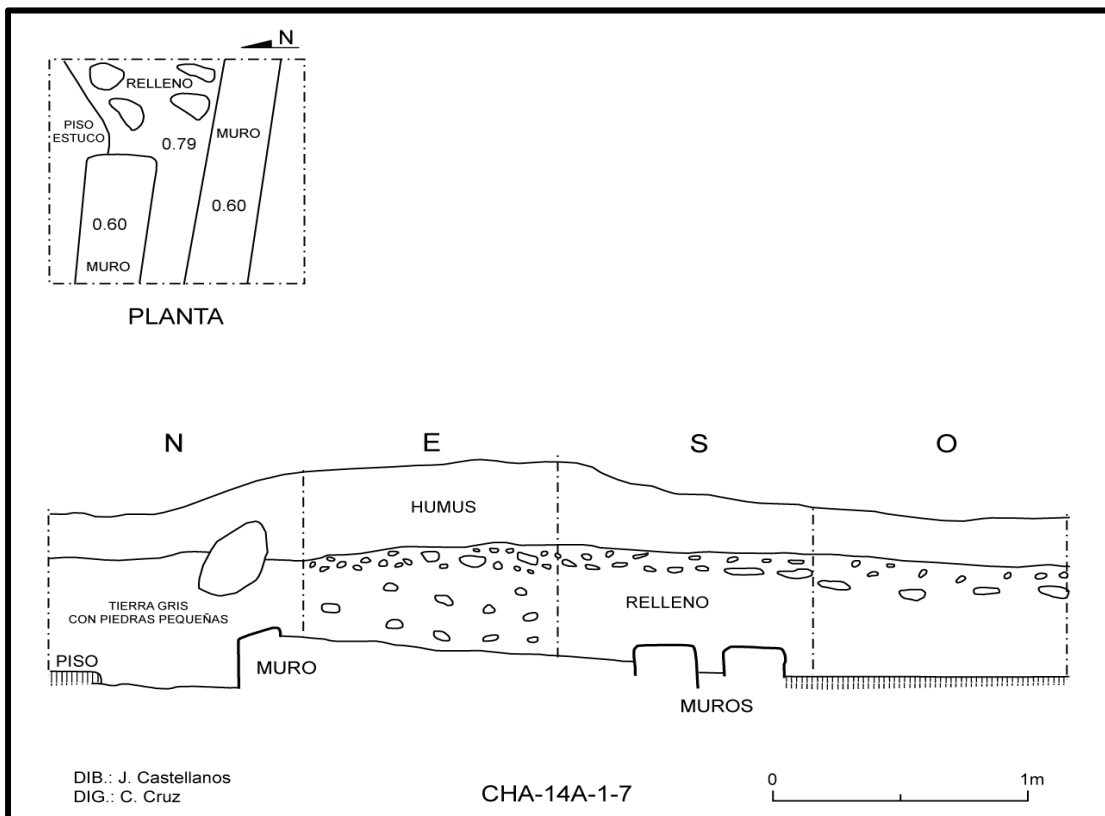
Esta unidad de 1 x 1 m se ubicó sobre la plataforma basal que sostiene el pequeño montículo superior, en eje E/O cerca de la base del edificio a nivel de la plaza, a través de 4 niveles:

Los niveles 1 y 2 (0.00-0.20 m) correspondieron al nivel de humus negro (7,5 YR 3/2) depositado sobre un posible piso empedrado, recuperándose cerca de 300 tiestos.

Debajo del empedrado (0.20-0.60 m, Niveles-Lotes 3-5) apareció un relleno de tierra amarillenta suelta (10 YR 7/6)

dentro del cual se recuperaron aproximadamente 150 tiestos (Fig. 14.3).

Este relleno cubría dos grandes bloques depositados en forma vertical casi al centro de la unidad de excavación (0.60-0.80 m, Nivel-Lote 6-6), excavándolos hasta su base, pero recuperando solo 30 tiestos y un fragmento de pedernal, por restricciones de tiempo no se continuó con la excavación, desconociéndose si estos dos grandes bloques fueron parte de un muro de contención de rellenos o parte de una subestructura.



**Fig. 14.3 Perfil y planta CHA-14A-1**

### **CHA-14A-2, 3 y 4 Sobre Estructura**

La unidad 2 fue instalada casi al centro y eje en la parte superior de pequeño montículo sobre la amplia plataforma basal. Después de retirar el humus negro (10YR 3/2) suelto con escaso material cerámico (0.00-0.20 m, Niveles-Lotes 1 y 2), aparentemente hubo un nivel de piso representado solo por *sascab*, pero en los perfiles de excavación no se observaron residuos de estuco, sellando un relleno arenoso café-grisáceo (10 YR 6/2) con escasos tiestos asociados (0.20-0.60 m, Niveles-Lotes 3-6), pero que expuso en el perfil Este de la unidad, una laja colocada horizontalmente, continuando con la excavación se notó un cambio en el relleno, por una tierra café-grisácea (10 YR 6/2) muy fina y suelta (0.60-0.70 m Nivel-Lote 7) procedente del perfil Este del pozo, recuperándose solo 7 tiestos y un fragmento de obsidiana.

Sospechando la presencia de una posible cista se trazó la Unidad 3, al Este de la unidad 2 y después de remover el humus suelto (0.00-0.40 m, Niveles-Lotes 1 y 2) se observaron 4 grandes lajas (0.45 m de largo x 0.20 ancho) dispuestas consecutivamente de Oeste a Este, casi al centro de la unidad de excavación, las cuales al ser removidas dejaron expuesto un muro de cista, cerca del perfil Sur de la unidad de excavación y restos óseos, por lo que se amplió la excavación con un pozo de 2 x 1 al Sur de las Unidades 2 y 3 y 0.60 m más al Este y entre las unidades 3 y 4 (Ver Fig. 14.4).

Continuando con la excavación dentro de la cista, de un tamaño aproximado de 1.80 m de largo x 0.40 m de ancho y 0.55 m de profundidad, pero

a 0.90 m del nivel de superficie del *datum*, ubicado en la Esquina S/E de la unidad de excavación CHA-11A-3, se retiró un relleno de tierra café grisácea muy fina (10 YR 6/2) (0.35-0.90 m, Niveles-Lotes 3 y 4) que cubrió al Entierro # 18, descrito a continuación.

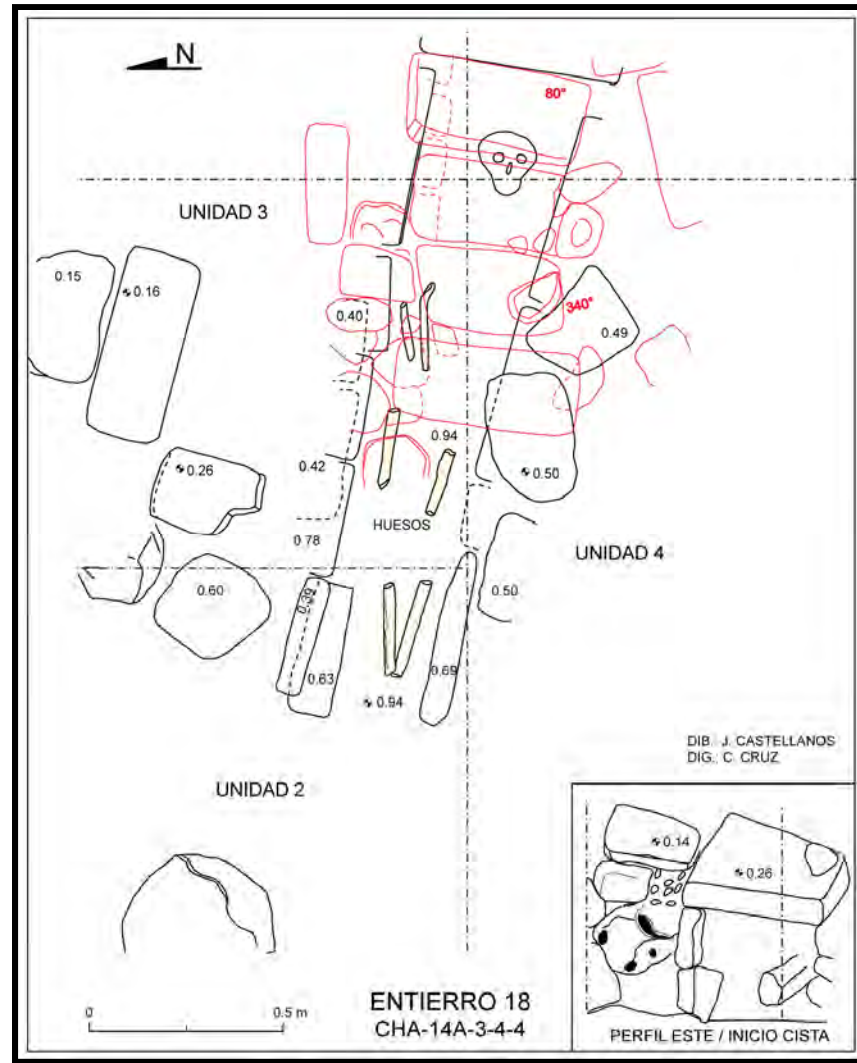
### **ENTIERRO # 18**

Entierro primario articulado incompleto por deterioro ambiental, orientado Este/Oeste, en decúbito dorsal extendido, con la cabeza en dirección Este, desconociéndose la dirección en que estaba orientada su cara.

Depositado dentro de una cista formal de bloques semi-canteados flanqueando el cuerpo al Norte y Sur, con tapa de por lo menos de 4 a 6 grandes lajas. Sin ofrenda, al momento de la excavación, pues fue depredada recientemente, pero según un informante (posiblemente el mismo depredador) hubo un cuenco y un vaso de color rojo, colocados cerca de donde se localizaba la cabeza del entierro, según el informante sacados a la superficie por las raíces de un árbol caído. Muy pocos tiestos de la esfera Chicanel fueron recuperados durante la excavación asociados con el entierro, por lo que las piezas depredadas pudieron haber sido de esa misma época (ver Fig. 14.4).

Está en un muy mal estado de conservación descartándose la identificación de su edad y sexo, o cambios patológicos, según Greenfelder (en este volumen).

Este entierro es candidato para efectuársele pruebas de AMS o C-14 a fin de fechar absolutamente su deposición en la cista.



**Fig. 14.4 Planta Entierro 18**

#### **CHA-14-5 Detrás Plataforma Basal**

El pozo trató de ubicarse en eje con el saqueo en la parte posterior de la estructura, con el objetivo de localizar un basurero, pero sin éxito, por restricciones de tiempo, solo se pudieron excavar 3 niveles: Los Niveles-Lotes 1 y 2 (0.00-0.10 m) compuestos por humus perturbado con materiales modernos provocados por la maquinaria que traza una calle al Sur de esta enorme plataforma, se recuperaron solamente 22 tuestos altamente erosionados y diminutos.

Debajo del humus, un relleno de tierra café mezclada con tierra arenosa amarillenta, posiblemente también perturbada aportó únicamente 20 tuestos más muy erosionados y pequeños.

El material cerámico procedente de estas excavaciones aún no ha sido fechado, pues están en lista de espera para su futuro análisis por el grado de erosión que presentan los tuestos que requieren de mayor atención para poder captar ciertos modos o pastas, que permitan un fechamiento aproximado.



# CAPÍTULO 15

## OPERACIÓN 15

### EXCAVACIONES EN LAS ESTRUCTURAS DE LA ZONA ESTE

Karen Mansilla y Juan Carlos Cotí  
*Universidad de San Carlos de Guatemala*

#### INTRODUCCIÓN

La Operación 15 corresponde a un grupo de plaza en forma abierta orientado, al Noreste de aproximadamente 50 x 60 m, compuesto por dos estructuras mayores (15A y 15B) y una menor (15D, sin excavar) que fueron sondeadas en Sub-operaciones diferentes (Fig. 15.1). Este grupo, estuvo ubicado aproximadamente a 150 m al Sureste del Grupo E del sitio, por lo que se pensó que, las dos estructuras mayores podrían haber sido un pequeño juego de pelota.

La Estructura 15A, es una estructura de forma rectangular que mide 15 m de largo por 12 m de ancho y 1.80 m de alto, ubicándose al N/E de la Plaza, excavada como Sub-operación 15A. La Estructura 15B de forma rectangular mide 20 m de largo por 15 m de ancho y 1.80 m de alto ubicándose al Sur de la plaza, excavada como Sub-operación 15B.

La Sub-operación 15C consistió en 4 pozos de sondeo de 0.50 x 0.50 m, excavados al Oeste de la Plaza. Finalmente, la Sub-operación 15D consistió en una plataforma baja (Estructura 15D) de 20 x 15 m, ubicada al Oeste de la plaza. Para estas investigaciones arqueológicas se contó con el apoyo del estudiante Juan Carlos Cotí.

#### METODOLOGÍA Y OBJETIVOS

La Estructura A (Sub-Op. 15A) fue sondeada mediante una trinchera de 7 x 1 m en eje Norte-Sur a partir del frente de la estructura (CHA 15 A-1) y la Estructura CHA-15B fue sondeada a través un pozo en plaza, y encima de la estructura, además de trincheras pequeñas encima del montículo orientadas N/S, E/O respectivamente. Estas excavaciones tuvieron como objetivo rescatar información de rasgos arquitectónicos y recuperación de material arqueológico.

#### SUB-OPERACIÓN CHA- 15A

##### CHA-15A-1: Trincherá enfrente de estructura

Esta Sub-operación constó solamente de una trinchera en eje N/S (Fig. 15.2) de 7 x 1 m, ubicada encima de la estructura. El objetivo de esta unidad fue localizar cuerpos de la estructura pero no se tuvo éxito, por restricciones de tiempo. Se removió solamente el humus, Nivel 1 (0.00-0.10 m), tierra negra (2.5 Y 2/1) suelta de textura arenosa, con abundantes raíces, pero sin presencia de materiales culturales arqueológicos.

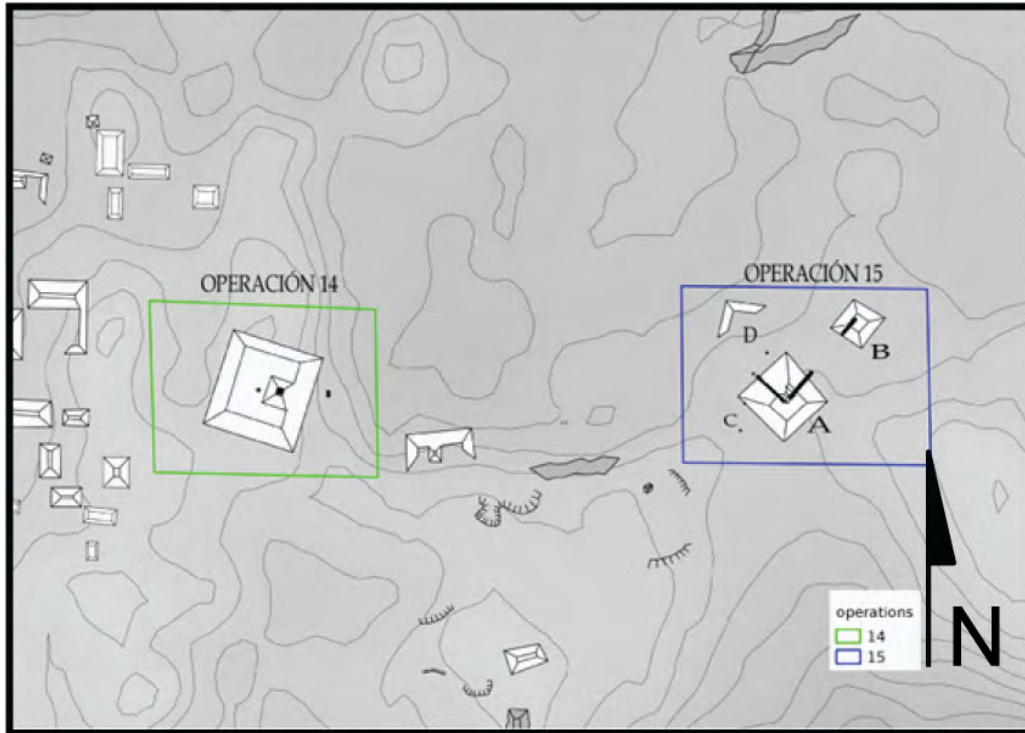


Fig. 15.1 Ubicación de la Operación 15 en relación a la Operación 14 en la zona Este del sitio (Mapa proporcionado por Alex Kara, Modificado por Mansilla)

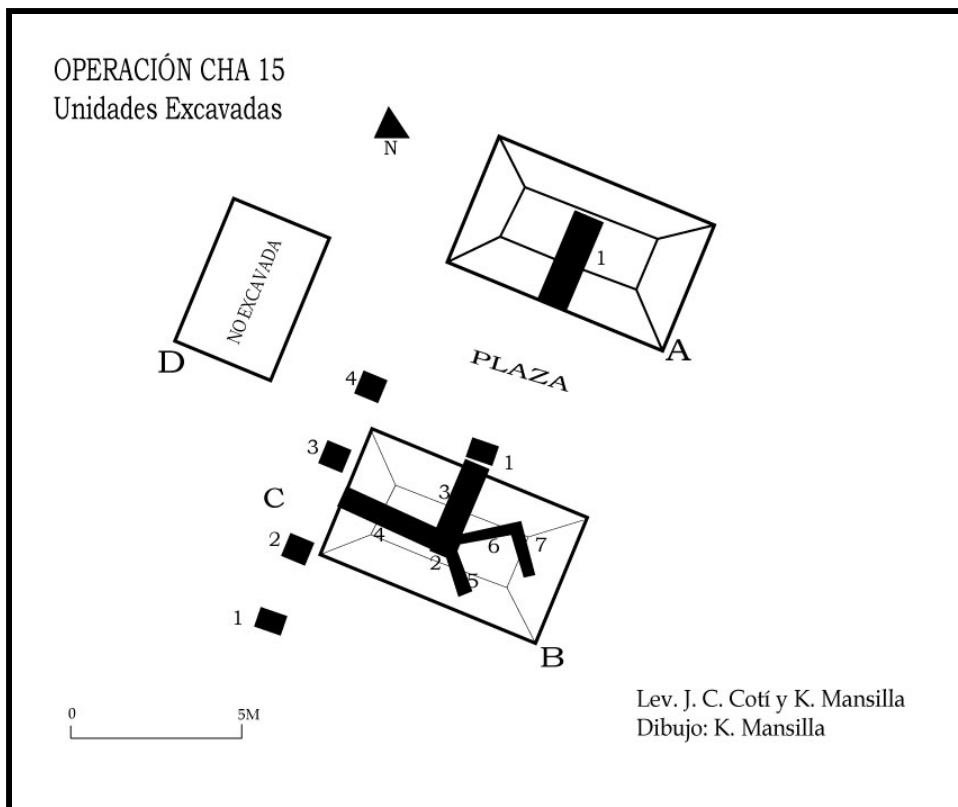


Fig. 15.2 Localización de unidades excavadas en Operación CHA 15

## **SUB-OPERACIÓN CHA 15B**

### **CHA 15B-1: Pozo en Plaza**

Correspondió a una unidad de 1 x 1 m, excavada a través de dos niveles:

Nivel 1 (0.00-0.15 m): capa de humus, tierra negra (2.5 Y 2/1) con abundante materia orgánica. Se recuperaron pocos fragmentos cerámicos y lascas de pedernal.

Nivel 2 (0.15-0.90 m): Capa de relleno compacto muy fino de color blanco rosáceo (7.5 YR 8/2) el cuál se encuentra sobre la roca madre. Se recuperaron fragmentos cerámicos, lascas de pedernal y un fragmento de obsidiana.

### **CHA 15B-2: Pozo encima de estructura**

Las dimensiones de esta unidad son de 1 x 1 m. Esta unidad se estableció encima de la estructura orientada al Noreste.

Nivel 1 (0.00-0.20 m) corresponde al humus, compuesto de materia orgánica, de textura arenosa y color negro (2.5 Y 2/1), a 0.05 m de profundidad se encontró parte de un piso empedrado, de la última etapa constructiva.

Nivel 2 (0.20-0.40 m) fue el piso empedrado y un relleno compacto de tierra café amarillento claro (10YR 6/8) mezclado con piedrín. Al seguir removiendo el relleno se encontró en esquina S/O de la unidad dos bloques de roca caliza de 0.40 x 0.20 m, que pueden ser parte de un muro constructivo. Se realizó una trinchera para el seguimiento de este rasgo, en dirección N/S y E/O – Unidades CHA 15B 5 al 7 (explicada infra).

Nivel 3 (0.40-0.60 m), correspondió a la capa de relleno de color café amarillento claro que yacía sobre roca madre. Dejando la excavación a 1 m de profundidad.

### **CHA 15B-3: Trinchera Norte encima de estructura**

Se estableció una trinchera encima de la estructura, de 12 m de largo por 1 m de ancho, orientada en eje N/S con el objetivo de buscar cuerpos de la estructura y de recolectar artefactos.

La pendiente natural del montículo permitió observar piedras colocadas irregularmente, que posiblemente fueron parte de la escalinata de la estructura, aunque no se evidenció ésta como se esperaba. Se recuperaron pocos fragmentos fechados para el Clásico Tardío.

### **CHA 15B-4: Trinchera lado Oeste encima de estructura**

Las dimensiones de la trinchera fueron de 10 x 1 m, trazada en eje Este/Oeste. Se ubicó al Oeste de unidad CHA 15B-2. Su objetivo fue encontrar rasgos arquitectónicos y recolección de material arqueológico. El único nivel excavado, Nivel 1 (0.00-0.10 m) correspondió a la capa de humus de tierra color negro (2.5 Y 2/1) con abundantes raíces. Por debajo de los 0.05 m se detectó parte del piso empedrado (como última etapa constructiva). Siguiendo el perfil de la estructura hacia el Oeste, se detectaron piedras colocadas irregularmente que indicaron 4 posibles cuerpos de la estructura, conforme se fue removiendo el humus. No se recuperó material arqueológico.

### **CHA 15B-5 al 7: Trinchera de seguimiento de Rasgos**

Tres trincheras de seguimiento del muro encontrado en unidad CHA 15B-2 se realizaron con el objetivo de exponer el muro de construcción: CHA 15B-5 hacia el Sur de la Unidad 2; CHA 15B-6 hacia el

Este de la Unidad 2; y la unidad CHA 15B-7 al Sureste de la Unidad 6 (Fig. 15.3). Las tres unidades fueron excavadas en un solo nivel (0.00-0.20 m), el humus. Al remover el humus, se pudo definir mejor las piedras calizas colocadas

de manera uniforme en dirección Este-Oeste y Norte-Sur, determinándose que formaban parte de un muro constructivo de la estructura. En estas excavaciones no se encontró ninguna evidencia de material arqueológico.

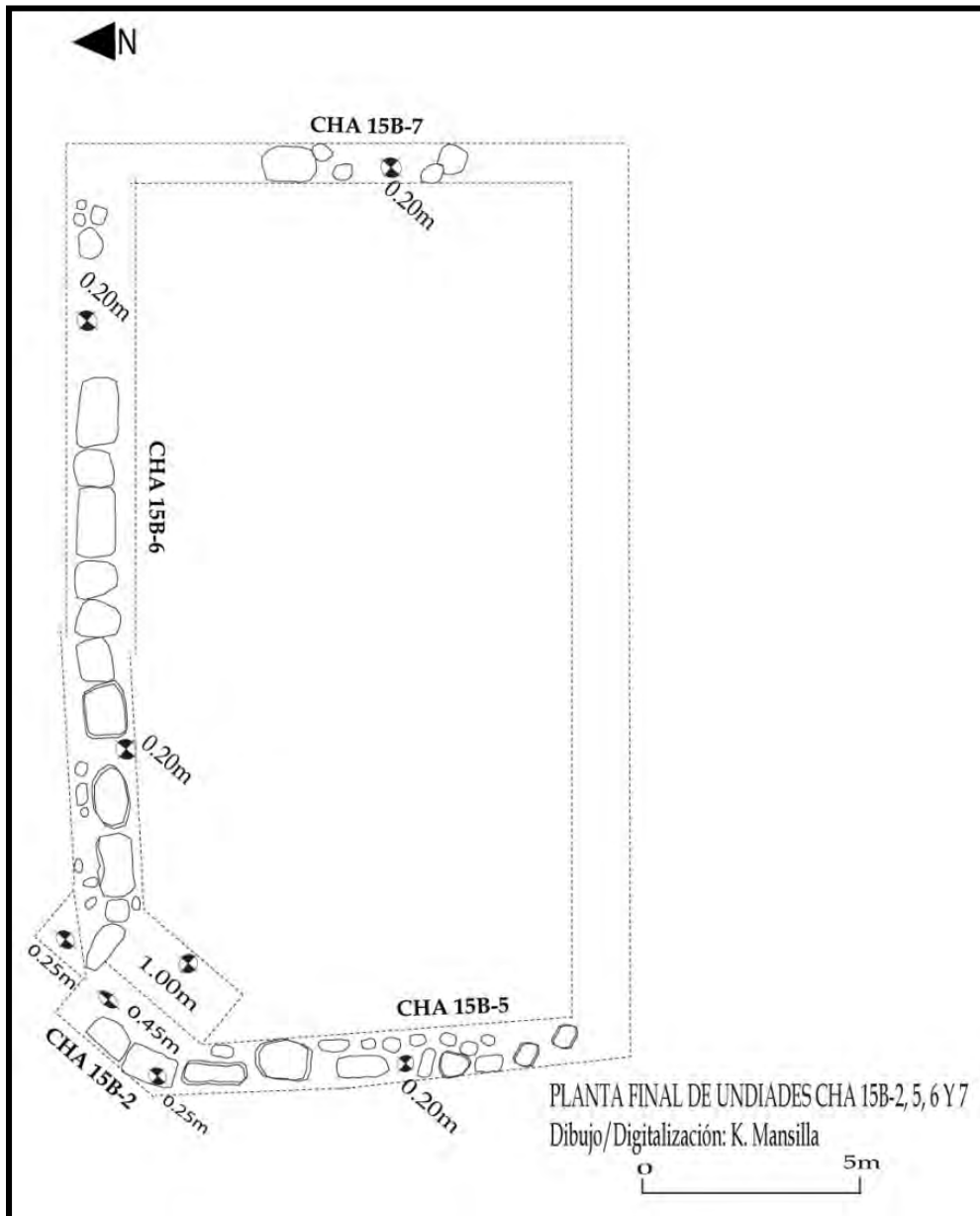


Fig. 15.3 Planta de la Estr. 15B y las unidades de excavación

### **SUB-OPERACIÓN CHA 15C**

La Sub-operación 15C consistió en 4 pozos de sondeo (CHA, 15C-1, 2, 3 y 4), siendo las dimensiones de estas unidades de 0.50 x 0.50 m, ubicados al Oeste de la Plaza con el objetivo de buscar basureros. Se excavó únicamente 2 niveles en cada uno de los pozos retirando el relleno de tierra arcillosa sin profundizar en la roca madre finalizando a 0.70 m de profundidad. Se recuperaron fragmentos cerámicos fechados para el Clásico Tardío así como pocas lascas de pedernal. Todas las unidades presentaron las mismas la misma estratigrafía: El Nivel 1, humus de 0.15 m de grosor, de color negro (2.5 YR 2/0) con textura arenosa. Por debajo continua el relleno correspondiente al Nivel 2 de 0.55 m de grosor de color gris claro (2.5 Y 7/1) de textura arcillosa-limosa, mezclado con piedrín.

### **SUB-OPERACIÓN CHA 15D**

Se denominó Sub-operación 15D a la plataforma baja de 20 x 15 m, ubicada al Oeste de la plaza. Únicamente se realizó levantamiento topográfico (Ver Fig. 15.2) de esta plataforma rectangular. Sin embargo, puede asociarse con las dos estructuras mayores (Estructuras A y B). Por limitaciones de tiempo no fue excavada.

Esta sub-operación presentó una plataforma baja, sin encontrar material arqueológico en la superficie de la plataforma. No se pudo definir la función de esta estructura. Se cree pudo haber formado parte de algún grupo cercano al

área, ya que alrededor pueden apreciarse grupos de estructuras mayores y otras plataformas bajas. Posiblemente, los mayas del Clásico utilizaban estas áreas dispersas para vivienda.

### **RESULTADOS**

Las investigaciones en la Operación 15, sondearon una plaza abierta, con tres estructuras, una al Norte y otra al Sur, de tamaño mediano, más una plataforma baja ubicada al Oeste.

Este patrón de asentamiento es disperso, con grupos habitacionales relativamente aislados con respecto a los otros grupos del sitio.

Se sugiere la posible relación con la cantera cercana y con los otros grupos domésticos del Clásico Tardío.

La recolección de material arqueológico fue escasa en esta zona, pero se identificó cerámica de Clásico Tardío, sin encontrar basureros.

Una posible explicación es que esta área no fue habitada por mucho tiempo ni hubo evidencia de actividad intensiva.

Sería importante ampliar estas excavaciones para confirmar esta hipótesis. Es posible que para el Clásico Tardío algunas áreas del sitio fueran abandonadas y que las nuevas unidades habitacionales se construyeran en áreas más cercanas a las fuentes de agua, tierra fértil, recursos de caliza, pedernal, entre otros. Por limitaciones de tiempo no se investigó otras estructuras cercanas al área excavada.



# CAPÍTULO 16

## OPERACIÓN CHA-16

### PIRÁMIDE OESTE DEL COMPLEJO GRUPO E

Jeanette Castellanos

*Universidad de San Carlos de Guatemala*

#### INTRODUCCIÓN

La Estructura CHA-16A, es un montículo de planta casi cuadrangular, de aproximadamente 30 m<sup>2</sup> y 6 m de alto y específicamente es la Estructura Oeste del Complejo Grupo E del sitio (ver Fig. 16.1). Presentaba una trinchera de saqueo en el lado Sur del montículo que por restricciones de tiempo no fue limpiada, ni dibujada. De hecho solo fue sondeada en su parte superior 2 días antes de finalizar la temporada de campo.

#### METODOLOGÍA Y OBJETIVOS

La intervención arqueológica a este montículo, consistió únicamente en 1 pozo de sondeo en la parte superior de la estructura, aparentemente sin evidencia de saqueo en ese sector, con el objetivo de fechar el edificio y sus etapas constructivas. Se siguió la misma metodología de excavación, registro y nomenclatura descrita para la Operación 11 (en este volumen).

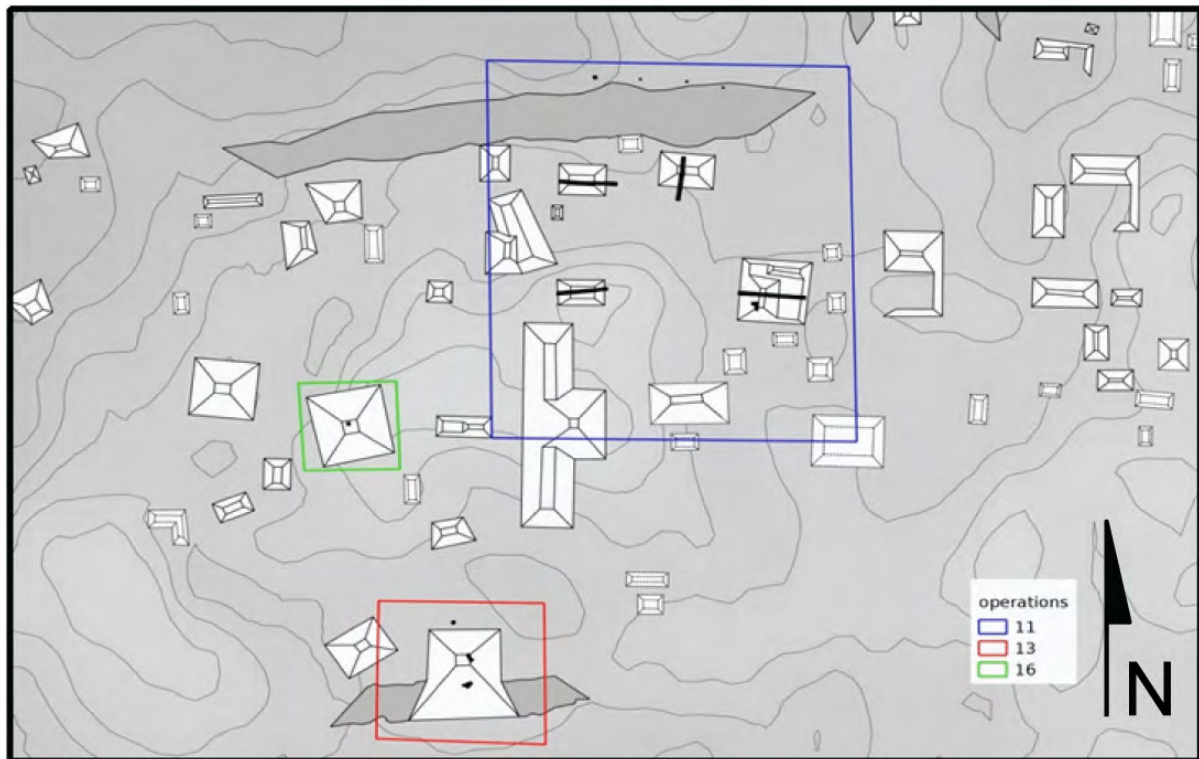


Fig. 16.1 Ubicación de la Estructura Oeste (Op. 16A) (Tomado de Kara 2014)

### **CHA-16A-1: Pozo sobre la estructura**

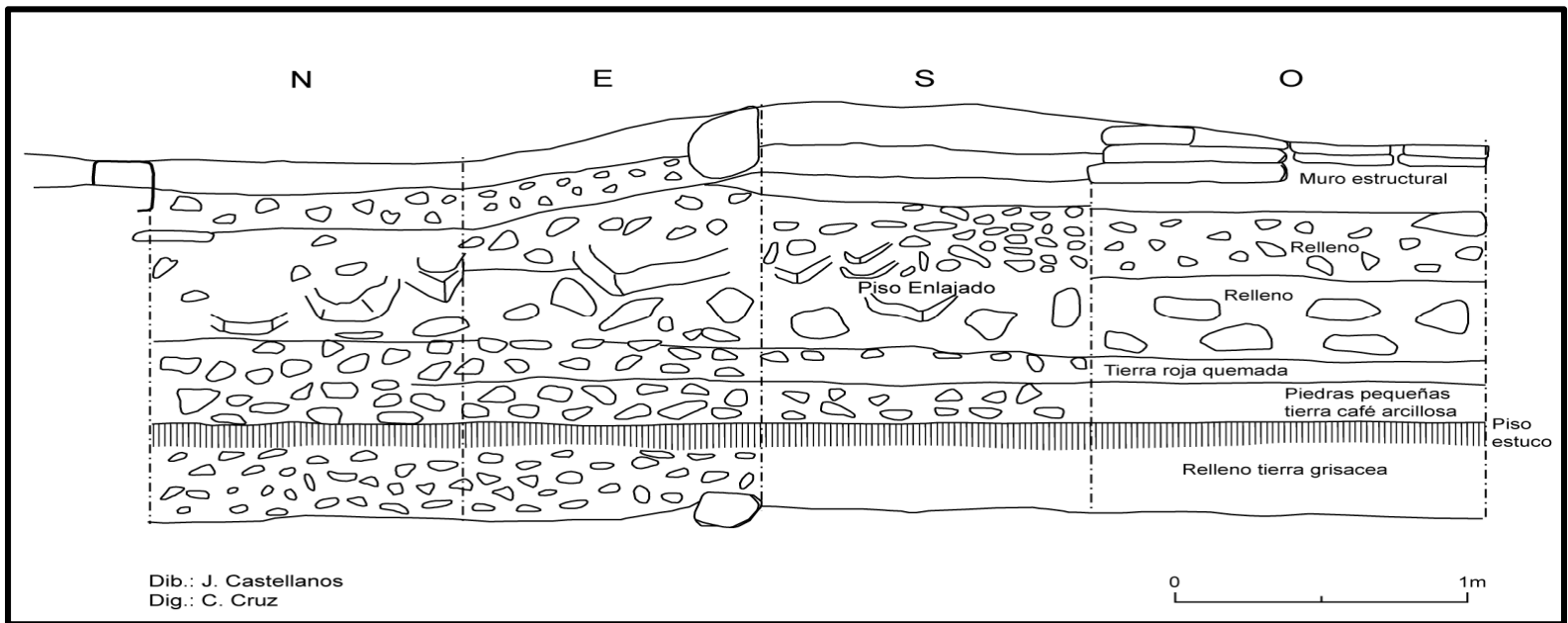
Una unidad de 1.50 m N/S x 1 m E/O fue trazada en la cima del montículo. Fueron excavados 11 niveles-lotes, que definieron 5 diferentes estratos (Fig. 16.2), sin haber llegado hasta la roca madre.

El Estrato 1 (0.00-0.20 m; Nivel 1-Lote 1) correspondió a una leve capa de humus negro suelto, que después de su remoción, expuso en el perfil Oeste del pozo tres hileras de lajas superpuestas, posiblemente de un muro de la última ocupación del edificio.

Inmediatamente debajo del cual apareció un relleno de piedras pequeñas dentro de una matriz de tierra café arenosa (5 YR 5/1), Estrato 2 (0.20 - 0.70 m); Niveles 2, 3, y 4-Lotes 2, 3 y 4) dentro del cual se recuperaron algunas lozas rectangulares amorfas, parecidas a pequeñas lajas estructurales, lajas similares se observaron en los perfiles Norte y Este del pozo, lo que sugirió la posibilidad de un piso enlajado, que podría representar una sub-estructura, pero no se observaron otros rasgos arquitectónicos asociados.

Debajo del supuesto piso enlajado, otro relleno de piedras, pero esta vez de tamaño mediano con abundante tierra café amarillenta, fue observado, el Estrato 3 (0.70-1.10 m; Nivel 7, Lote 7), depositado sobre lo que pareció un nivel de tierra roja suelta quemada, pero sin la certeza de que fuese un piso de barro quemado, alternativamente pudo tratarse de un evento de quema de la estructura.

Continuando la excavación vertical, debajo del apisonado quemado, otro relleno delgado de piedras pequeñas mezclado con tierra arcillosa café (10 YR 4/2), constituyó el Estrato 4 (1.10-1.50 m; Nivel 8, Lote 8), cuidadosamente superpuesto sobre un grueso piso de estuco blanco (10 YR 7/4) de 0.10 m de grosor, que se denominó Estrato 5 (1.50-1.60 m; Nivel 9-Lote 9), representando la parte superior de una sub-estructura (CHA-16A-1Sub), que selló un nuevo relleno) de piedras pequeñas con tierra grisácea (2.5 YR 5/2), dentro del cual solo se profundizó a 0.40 m más, Estrato 6 debido a la conclusión de la temporada de campo, dejando la excavación a 2 m sin haber alcanzado la roca madre.



**Fig. 16.2 Perfiles CHA-16A-1 Pozo en eje**

## RESULTADOS

Infortunadamente, no fue posible efectuar más que, sola una excavación en la Estructura Oeste de Complejo Grupo E del sitio, por restricciones de tiempo al estar a solo 2 días del final de la temporada de campo en Chachaklu'um. Muy pocos rasgos arquitectónicos fueron visibles a través de la trinchera de depredación en la parte Sur del montículo, por lo que se desconoce la técnica constructiva de la última etapa del edificio y tampoco la más temprana, representada por el piso estucado al interior de esta pequeña pirámide.

Pero a pesar de que los hallazgos expuestos en la única excavación en el edificio no son tan relevantes, creo que, lo más interesante es que, la Estructura 16A, corresponde a la Estructura Oeste de los Complejos Tipo Grupo E de las Tierras Bajas Mayas, compuestos por una estructura alargada de Norte a Sur en el lado Este de la plaza y una pirámide el lado Oeste de la Plaza. Ésta última en muchos ejemplares tuvo forma truncada con escalinatas en cada lado de la estructura.

Este tipo de Complejo Grupo E, por mucho tiempo se ha creído marca los solsticios y equinoccios, por lo que también son conocidos como Complejos de Conmemoración Astronómica y Complejos de Ritual Público. Aimers y Rice (2006: 79-96) han demostrado que, estos alineamientos fueron raramente exactos como observatorios y argumentan que los Grupos E fueron construidos y remodelados como lugares centrales conmemorativos para espectáculos rituales referidos a los ciclos anuales del sol y de la agricultura, quizá relacionados también con el juego de pelota y la geografía sagrada. Por su parte Valdés et al. (2008: 84) han sugerido que, en ellos se desarrollaron actividades ceremoniales y fueron utilizados por la élite para actividades públicas desde el Preclásico Medio hasta el Clásico Terminal en algunas regiones (Thomas 2006)

Por lo que se sugiere en futuras temporadas de campo, sería importante comprobar la forma radial o no, la orientación y la función de la estructura Oeste (Op. CHA16), como parte del supuesto observatorio y como supuesta estructura funeraria y ceremonial

# CAPITULO 17

## OPERACIONES KTL-21, 22, 23

### SONDEOS EN LAS PIRÁMIDES 2, 3 Y GRUPO AL NORTE DE LA PLAZA CENTRAL SITIO KANTE'T'U'UL /TIERRA BUENA

Carlos Cruz-Gómez

*Universidad de San Carlos de Guatemala*

#### **INTRODUCCIÓN**

Durante esta temporada de campo, se realizó un sondeo arqueológico en el sitio Kante't'u'ul/Finca Tierra Buena. Se excavaron las Pirámides 2 (Operación KTL 21) y 3 (KTL 22), y un grupo posiblemente de carácter ritual ubicado dirección Norte de la Plaza Central (KTL 23) (ver Fig. 17.1).

#### **OBJETIVOS**

Las excavaciones tuvieron como objetivo la recolección de material cerámico, para establecer cronología y posibles actividades rituales en esta sección del sitio.

#### **METODOLOGÍA**

Los grupos arquitectónicos excavados se denominaron Operaciones, mientras que las Sub-operaciones identificaron a cada una de las estructuras. Las Sub-operaciones se excavaron por estratos naturales hasta localizar la roca madre, a través de unidades de 1 x 1 m, ubicadas al frente de las pirámides y una unidad al centro del grupo. También se limpió una trinchera de saqueo en la pirámide 2.

La tierra de todas las excavaciones, fue cernida en un cedazo de 1/8". Se dibujaron los perfiles, de cada unidad a escala 1:20 y, se realizó un

registro fotográfico con una cámara Nikon D7000. Al finalizar las unidades, de excavación fueron rellenadas.

#### **SUBOPERACIÓN KTL-21A PIRÁMIDE 2**

La Pirámide 2 del sitio Kante't'u'ul/Finca Tierra Buena, tiene una altura aproximada de 4.60 m, se ubica aproximadamente a 1.10 km al Noroeste de la Plaza Central (*Kante't'u'ul/Finca Obando*), localizada sobre una colina natural, que forma junto con otras tres estructuras bajas, un pequeño grupo que comparten una misma plaza, sondeados como Operación KTL-21.

Esta Pirámide, se ubica al Este de la plaza y se le denominó KTL-21A, la Estructura Norte, se le denominó 21D y las estructuras hacia el Sur y Sur-Este como 21C y 21B, respectivamente. La Pirámide 2, presentaba daños por depredación en la parte frontal, se observaron bloques colapsados de la fachada y en la parte posterior presentaba una gran trinchera de saqueo, que casi atravesó la estructura hasta su parte frontal. Este saqueo alcanzó una profundidad horizontal de 7 m desde el nivel de la entrada. Se excavaron las Unidades 21A-1 (al frente de la Pirámide y del saqueo) y 21A-2 (al centro del grupo) (ver Fig. 17.1).

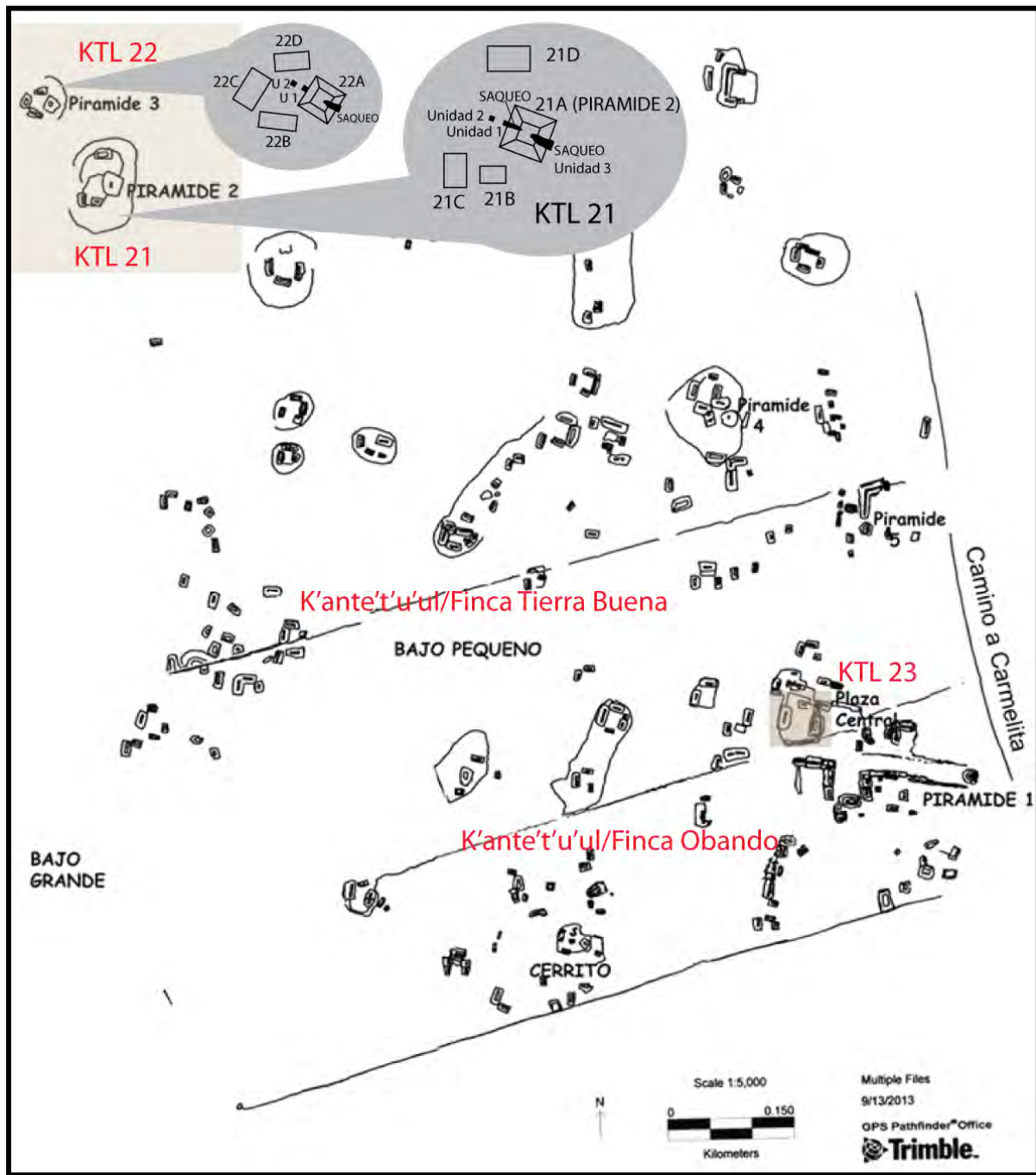


Fig. 17.1 Mapa del sitio Kante't'u'ul, operaciones 21, 22 y 23 (Finca Tierra Buena) (Tomado de Foias, 2013:3)

### **KTL-21A-1 y 2: Frente a Pirámide 2 y al centro del grupo**

En la Unidad KTL-21A-1 se excavaron dos niveles. Se localizaron tres pisos de estuco: el Nivel 1 (0.00-0.25 m) que corresponde al Piso 1 y su relleno de textura arenosa (10 YR 5/2), este piso se encontraba altamente destruido por el saqueo de la estructura. Se localizó material cerámico (120 tiestos), entre ellos varios policromos erosionados; Nivel 2 (0.25-0.52 m), se descubrió el Piso 2 visible en los perfiles Sur y Este de la Unidad, así como dos bloques labrados ubicados en el perfil Oeste (de una posible etapa constructiva anterior a 21A), después de remover el relleno de textura margosa-arenosa con color (10 YR 4/2) conteniendo 101 tiestos, se descubrió el Piso 3, ubicado sobre la roca madre (ver Fig. 17.2).

La unidad KTL-21A-2 (ver Fig. 17.1) ubicada al centro del grupo, únicamente presentó un Nivel estratigráfico (0.00-0.53 m), que corresponde a un relleno de tonalidad café (10 YR 3/1) y de textura arenosa con mezcla piedras pequeñas.

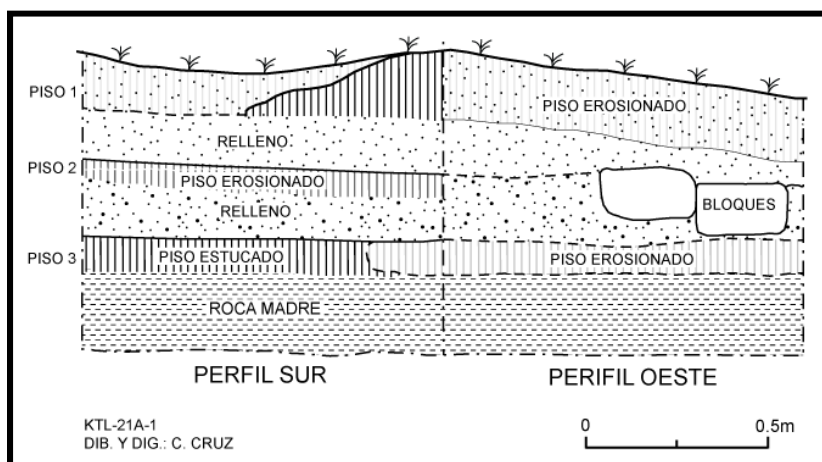
Localizándose inmediatamente la roca madre a 0.34 m en la parte central

de la unidad. Se recuperaron más de 300 tiestos, varios de gran tamaño que corresponden a vajillas utilitarias del Clásico Tardío.

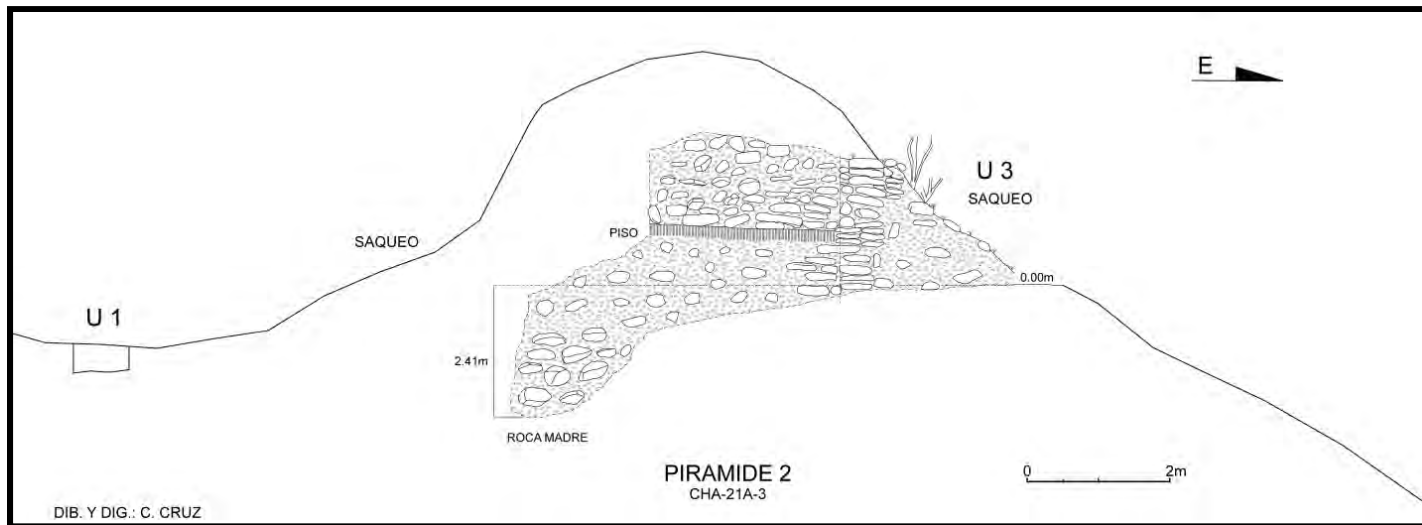
### **KTL-21A- 3: Trinchera de saqueo**

La unidad KTL-23A-3 corresponde a la trinchera de saqueo, ubicada en la fachada Este de la estructura. La trinchera medía 7 m en dirección Este-Oeste, el acceso tenía 2.07 m de alto x 1.20 m de ancho, descendía hasta alcanzar una profundidad de 2.41 m con respecto al nivel del acceso. Se realizó una limpieza parcial del saqueo (denominado Nivel 1), entre el material colapsado se encontraron varios bloques labrados de grandes dimensiones (0.60 m). Se observó un amplio espacio dentro de la pirámide, lo que podría indicar que la Pirámide 2, posiblemente contuvo un elaborado entierro, pero, debido a la destrucción provocada por los saqueadores es difícil asegurarlo.

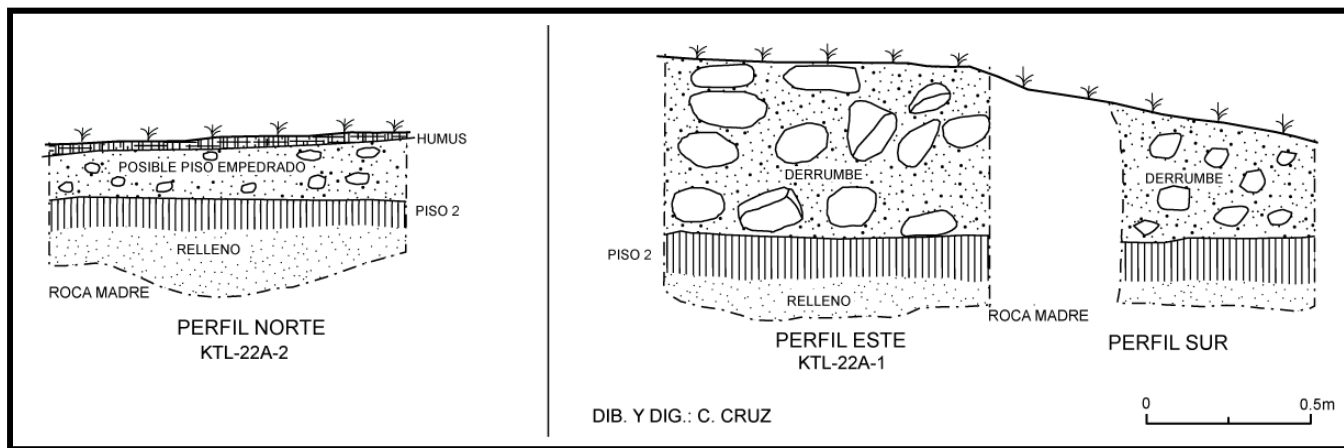
Se observó un piso de estuco de 0.18 m de grosor, dentro de la pirámide que correspondería a una sub-estructura anterior a 23A denominada Sub-1. Se recuperaron pocos tiestos cerámicos (Fig. 17.1 y Fig. 17.3).



**Fig. 17.2 KTL-21-A-1, Perfiles Sur y Oeste**



**Fig. 17.3 Pirámide 2, Perfil Este-Oeste**



**Fig. 17.4 KTL-22A-1 y 2, perfil Norte, Este y Sur**

### **SUB-OPERACIÓN KTL-2A PIRÁMIDE 3**

La Pirámide 3, del sitio Kante't'u'ul/Finca Tierra Buena, tiene una altura de 2.00 m aprox., se localiza sobre una colina, al Noroeste de la Pirámide 2, siguiendo un patrón similar al de la Operación KTL-21, con estructuras distribuidas al Norte (22D), Oeste (22C), Sur (22B) y al Este la Pirámide 3 (22A). La Pirámide 3 presentaba, una trinchera de saqueo que había destruido la fachada Este, pero no hubo tiempo para registrar el saqueo. Se realizaron únicamente 2 Unidades de sondeo al frente de la Pirámide y al centro del grupo (Fig. 17.4).

#### **KTL-22A-1 y 2: Al frente de Pirámide 3 y al centro del grupo**

Las unidades 1 y 2 poseen tres estratos naturales similares en ambas: Nivel 1 (0.00-0.05 m) capa de humus (10 YR 3/1) de textura arenosa-arcillosa; sobre el Nivel 2 (Unidad 1 0.05-0.58 m; Unidad 2 0.05-0.20 m), empedrado (piso 1) y suelo de tonalidad café (10 YR 4/3), al finalizar el nivel se localizó un piso estucado (Piso 2), de la última ocupación del sitio. El cual se encontró únicamente en la parte Sur y Este de la Unidad 1; Nivel 3, en la unidad 1, de 0.58 -0.80 m; y la unidad 2, de 0.20-0.50 m, ambas con un relleno de tonalidad amarillo (10 YR 7/3) y de textura arenosa, aplicado sobre la roca madre para nivelarla. Se recuperó poco material cultural, tiestos muy erosionados posiblemente del Clásico Tardío (Fig. 17.4)

### **SUB-OPERACIÓN KTL-23C GRUPO AL NORTE DE LA PLAZA CENTRAL**

Al Norte de la Plaza Central de Kante't'u'ul/Finca Obando, se localiza un pequeño grupo de plaza cerrada, conformado por 6 estructuras, al Norte, 23A y 23B, al Este, 23C, al Sur, 23E. Esta última no fue mapeada en la temporada 2013. Al Oeste la estructura 23D y una pequeña plataforma (posible altar) dentro del patio (23F) de 3.10 x 1.70 m. Este grupo se encuentra bien preservado, solamente la Estr. 23D presentó daños por saqueos. Este grupo es el más grande en la cercanía de la Plaza Central, y por la forma de las estructuras se infiere que fueron residencias de elite de rango alto (Fig. 17.5).

La Sub-operación 23C, fue excavada durante esta temporada, con dimensiones de 24 x 13 m aprox., y una altura de 2.40 m y orientada Norte-Sur, presentó un pequeño altar rectangular de 3 x 2 m al frente y en su esquina N/O una pequeña estructura adicional Estr. 23F.

Se excavaron 5 unidades de sondeo de 1 x 1 m, exceptuando la unidad 23C-2 de 0.50 x 0.50 m.

#### **KTL-23C-1, 2, 4, 5: Unidades frente y Esg. Sureste**

La Unidad 1, se ubicó sobre el posible altar, frente a 23C. Se excavaron 3 estratos naturales y se localizó un piso estucado (Piso 1): Nivel 1 (0.00-0.15 m) humus (10YR 3/1); Nivel 2 (0.15-0.48 m) relleno margoso-arenoso de tonalidad café-oscuro (10 YR 2/1) y mezcla de piedras de tamaño regular (posible material constructivo de la pequeña plataforma-altar); el Nivel 3 (0.48-0.96 m), localizó un piso estucado (Piso 1) muy

bien preservado de 0.12 m de grosor debajo del piso se localizó un relleno de piedra que cubría la roca madre. A partir de la Unidad 23C-1 se realizó una trinchera en la facha Oeste (Unidad 23C-5) de 4 x 1 m, se removió el humus. Cerca de la esquina Suroeste de la Unidad 5 se expuso material de colapso de la fachada. Recuperándose varios fragmentos de figurillas y un borde tipo Tinaja Rojo del Clásico Tardío (ver Fig. 17.5 y 17.6).

Las Unidades 23C-2 (ubicada en la esquina Suroeste de 23C) y 23C-4 (Ubicada al frente) (ver Fig. 17.6) se excavó hasta localizar la roca madre: Nivel 1 (Unidad 2 0.00-0.20 m; Unidad 4 0.00-0.14 m) remoción de humus (10 YR 3/1); Nivel 2 (Unidad 2 0.20-0.46 m; Unidad 4 0.14-0.30 m), relleno arenoso (de tonalidad café 10 YR 4/2) y de pedrín aplicado para la nivelación de la roca madre.

### **KTL-23C-3: Unidad sobre eje central de Estructura**

La Unidad KTL-23C-3 registró cinco rellenos constructivos, un piso empedrado y tres pisos de estuco y tres sub-estructuras (Sub-1, 2, y 3).

Nivel 1 (0.00-0.15 m) capa de humus (10 YR 3/1); el Nivel 2 (0.15-0.38 m) fue un empedrado (Piso 1), de la última etapa constructiva de 23C; Nivel 3 (0.38-0.82 m) un relleno (7.5 YR 6/1) de

textura arenosa mezclada con piedras, que cubrió la Sub-estructura 1 (Sub-1); Nivel 4 (0.82-94 m) corresponde al piso estucado (Piso 2), correspondiendo a la Sub-1; en el Nivel 5 (0.94-1.43 m) se encontraron dos rellenos distintos (10 YR 7/3 y 10 YR 8/4), de textura parecida a la caliza pulverizada, en el que se localizaron algunos bloques de gran tamaño, posible material constructivo de Sub-1; Nivel 6 (1.43-2.00 m) relleno de tonalidad beige (10 YR 8/3) con piedras; Nivel 7 (2.00-2.47 m) relleno de textura arenosa-margosa de tonalidad café-amarillo claro (10 YR 6/4) con mezcla de piedras.

En la esquina Suroeste se localizaron varios fragmentos de estuco modelado entre los que se encontraba una espiga con el glifo "Ahu", el estuco presentaba pintura roja y verde, motivo por el cual se realizó un registro (KTL-23C-3-7-11) de 0.50 x 0.50 m en el perfil Sur, recuperando más fragmentos de estuco así como un borde tipo Tinaja Rojo; Nivel 8 (2.47.-2.54 m) Piso 3 de estuco bien preservado, con un grosor de 0.08 m, que corresponde a la denominada Sub-2; Nivel 9 (2.54-2.76 m) relleno de textura margosa-arenosa de tonalidad café-grisáceo (10 YR 5/1) sobre piso estucado (Piso 4), nivel al que finalizó la unidad sin poder encontrar la roca madre (Fig. 17.6).

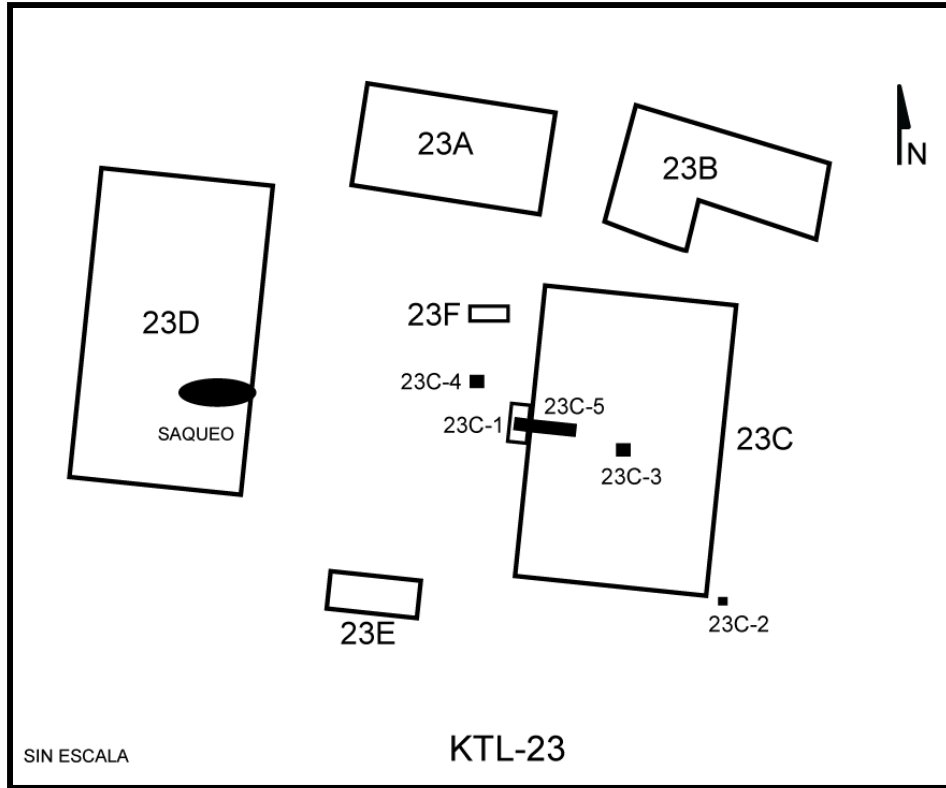


Fig. 17.5 Operación KTL-23, ubicación de unidades

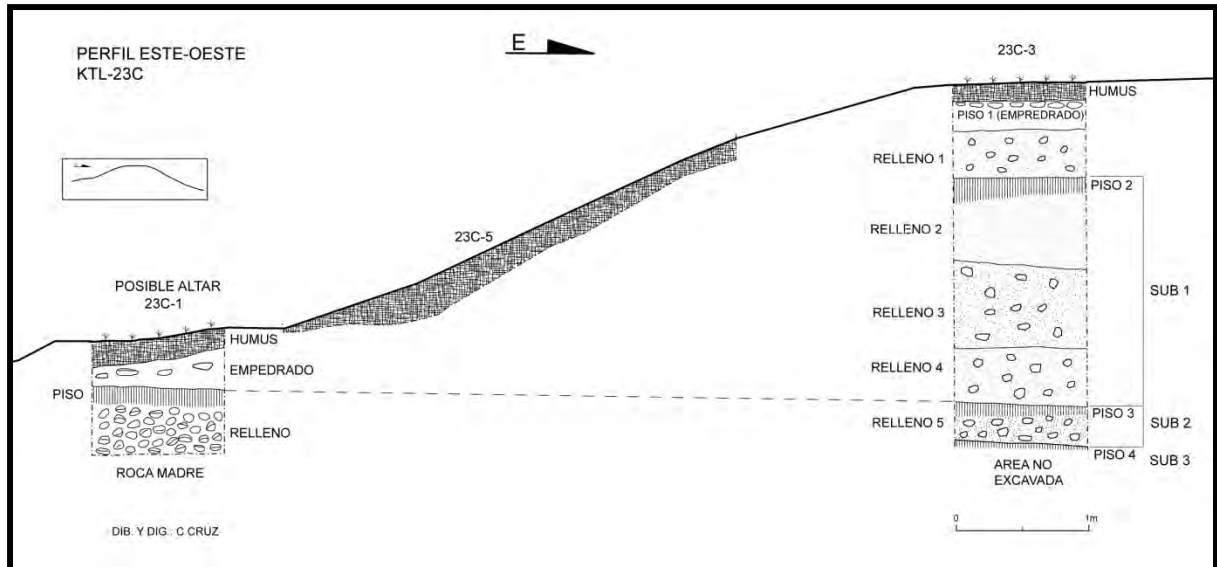


Fig. 17.6 Perfil Este-Oeste, Unidades 23C-1 y 23C-3

## RESULTADOS

Las excavaciones de sondeos en las Operaciones 21A, 22A y 23C permitieron establecer una cronología preliminar para las Pirámides 2 y 3 y del grupo al Norte de la Plaza Central, así como poder determinar las distintas etapas constructivas y sus posibles funciones.

La Pirámide 2, recuperó material que indican una ocupación para el Clásico Tardío, por los tiestos policromos. Los cuales pueden pertenecer a una sola vasija (posible ofrenda). En el caso de la Pirámide 3, el material recuperado, posiblemente pertenezca a tipos del Clásico Tardío. Para la operación 23C presenta una ocupación para el periodo Clásico Tardío, lo cual podrá confirmarse con el análisis del material cerámico, y esto concuerda con parte de la cronología de la Plaza Central.

Con respecto a las etapas y técnicas constructivas, en el caso de la Pirámide 2, la unidad 21A-1 descubrió tres pisos de estuco, Pisos 1 y 2, que pertenecen a la última etapa constructiva de la Pirámide 2 y el piso 3, correspondió a la subestructura 21A-Sub-1, la cual se evidenció a través del piso estucado, observado en los perfiles del saqueo de la unidad 21A-3. Por cuestión de tiempo solo se realizó una limpieza parcial en 21A-3. Es probable que la Pirámide 2 contuviera un entierro muy bien elaborado, pero esto es difícil de confirmarlo por la destrucción ocasionada por la depredación de la pirámide, se observaron grandes bloques calizos de 0.60 m muy bien labrados dentro del mismo, incluso en la parte superior se observó un gran bloque que nos hace pensar en un caballete (cierre de bóveda).

Para la Pirámide 3, en las unidades 22A-1 y 22A-2 se evidenció un piso estucado debajo de una leve capa de humus y de un relleno de piedra (material de la fachada de la pirámide), el piso se encontraba sobre otro relleno, el cual fue aplicado para nivelar la roca madre. Al igual que la Pirámide 2, la Pirámide 3 y las estructuras que conforman el grupo fueron edificadas sobre una elevación natural de roca caliza.

La Operación KTL-23 y la Unidad 23C-3, en el grupo al Norte de la Plaza Central evidenciaron tres Sub-estructuras, a través de los Pisos estucados. Los rellenos en las diferentes remodelaciones fueron muy similares. La Unidad 23C-1 descubrió un piso sobre un relleno de piedra que nivelaba la roca madre. Este piso de la unidad 23C-1 correspondería al Piso 3. En el relleno colocado sobre el Piso 3, el hallazgo más relevante fue el de varios fragmentos de estuco modelado y decorado con franjas de pintura roja y verde, además de una espiga con el glifo *Ahau*, estos elementos decorativos posiblemente adornaron la fachada de una de las Sub-estructuras de 23C, o pudieron provenir de otra estructura. La función del grupo no pudo determinarse, pero se propone una función de tipo ritual/privado para la elite del sitio, debido a la distribución espacial del grupo, así como a las pequeñas plataformas (o posibles altares) que se vinculan a 23C y por su cercanía con la Plaza Central del sitio.

Los trabajos de excavación en el sitio Kante't'u'ul/*Finca* Tierra Buena se realizaron en un periodo muy breve para obtener información más contundente, pero los datos recabados nos permitirán seguir ampliando nuestro horizonte de conocimientos del Periodo Clásico Tardío en la región de Motul de San José.

# CAPITULO 18

## ENTIERROS Y RESTOS HUMANOS

Megan Greenfelder

*Texas A&M University*

*Traducción Silvia Aquino*

### INTRODUCCIÓN

La temporada de campo 2014, del Proyecto Arqueológico Periferia Motul de San José, excavó el sitio de Chachaklu'um. Durante esta temporada se recuperaron veinte entierros humanos. Se presentan a continuación los datos osteológicos preliminares y el resumen en la Tabla 18.1. La edad y el sexo se estimaron siguiendo las normas bioarqueológicas que indican Buikstra y Ubelaker (1994). La patología se evaluó con referencia a Ortner (2003).

### Entierro CHA-2014-1A

Se compone de restos muy fragmentados recuperados dentro de una cista que parece seguir el largo del axis de la Estr. CHA-4A.

Se encontraba saqueada y originalmente parece estuvo orientada Este-Oeste (Ver Cruz, en este volumen). No se pudo determinar la colocación del cuerpo, pero la presencia de huesos de la mano y pie así como de fragmentos de cada región del cuerpo indicó que fue un entierro primario. El número mínimo de individuos (MNI) fue de uno. Los fragmentos más significativos, incluyeron, una apófisis de mastoides izquierda, muy grácil y se anotó como 1, siguiendo la clasificación Buikstra y Ubelaker (1994), significando un grado de desarrollo asociado comúnmente a las mujeres. Sin embargo, este no es definitivo debido a la ausencia de otras características femeninas.

Se recuperaron varios dientes desarticulados, que incluyó el tercer molar izquierdo del maxilar, que indica un individuo adulto, con un bajo nivel de desgaste en los dientes en general, lo cual sugiere un adulto joven (Buikstra y Ubelaker 1994).

El incisivo central superior izquierdo, el incisivo lateral superior derecho y el canino inferior derecho fueron recuperados también. El incisivo central ha sido modificado con una ranura horizontal de aprox. 1.5 mm de ancho a través de la superficie labial y situado a unos 3 mm de la unión cemento-esmalte (CEJ, en adelante por sus siglas en ingles). La altura de la corona del diente es de sólo 6 mm en total, mientras que un incisivo central no modificado, aunque con desgaste, normalmente tiene una corona de altura de aproximadamente 10 mm. La modificación de este diente es similar al patrón Romero VI 5 (Buikstra y Ubelaker 1994), pero con una modificación más al extremo del borde del diente incisivo, como en el patrón de I 4. Pero ni el incisivo lateral ni, el canino mostraron ninguna evidencia de modificación.

No se observaron cambios patológicos en cualquiera de los huesos recuperados. La salud dental del individuo es buena, porque presentó únicamente una sola caríe (cavidad) de los ocho dientes recuperados.

Los dientes, en su mayoría presentaron una acumulación de placa, pero el alvéolo de la mandíbula y del maxilar no se conservó para evaluar la presencia de periodontitis (enfermedad de las encías).

Se notó hipoplasia del esmalte en un diente que consiste en una ranura lineal y horizontal situada a unos 4 mm de la CEJ en el canino inferior derecho. Tales lesiones como esta hipoplasia generalmente se interpretan como indicadores de estrés biológico, causado por la escasez de nutrición o enfermedades graves que duran de unas semanas a meses, durante la formación del diente (Hillson 1992; Buikstra y Ubelaker 1994; Ortner 2003).

La corona de los caninos se forma entre 4 meses y 7 años de edad (Ash y Nelson 2003), así que la ubicación de la hipoplasia en relación con la altura total de la corona se utilizó para estimar que el evento de estrés más probable ocurrió en algún momento entre las edades de 2 y 4 años.

### **Entierro CHA 2014-1B**

El Entierro 1B contó con fragmentos de hueso largo no identificados y un diente, el incisivo central superior izquierdo. Los restos fueron recuperados de un pozo de prueba dentro de la estructura 4A, pero no fueron asociados directamente con la cista saqueada, pero cerca de la dicha cista (Ver Cruz, Op. 4 en este volumen).

Es posible que la cista se haya utilizado para múltiples entierros en el transcurso de la ocupación, ya que los restos del Entierro 1B, representan un entierro anterior al Entierro 1A. Debido a que el incisivo central superior izquierdo fue identificado tanto para 1A, como 1B.

Se puede asegurar que, los dos individuos fueron enterrados en la Estructura 4A. Debido a que los restos provienen de diferentes contextos (1A del Nivel 1 y 1B del Nivel 3), fueron designados y analizados de forma independiente.

Para el entierro 1B, el MNI es de un individuo y no es posible estimar el sexo o la orientación inicial del cuerpo. El diente recuperado se ha modificado, lo que podría ser considerado que pertenecía a un adulto, debido a que se cree que la modificación dental no se practicaba en niños menores a 15 años (Tiesler 1999). Sin embargo, como el diente es un incisivo, uno de los primeros dientes permanentes, al estar quebrado no ayuda a reducir el rango de edad de la persona.

La modificación del diente es similar a la descrita en 1A, una línea horizontal de aprox. 3 mm de la CEJ, pero el borde del diente, en lugar de ser afilado plano, tiene una proyección en el esmalte (aprox. de 2 x 2 mm) en la esquina distal de la superficie oclusal. Esto es diferente a los patrones regularizados descritos por Romero y es el opuesto al patrón del borde tipo II 4 de Romero (Buikstra y Ubelaker 1994). No hay cambios patológicos en el diente o en los fragmentos de hueso recuperados en este entierro.

### **Entierro CHA-2014-2**

Entierro 2 se encuentra en la Estr. 6A, en una capa de relleno de piedras sueltas (de 0.05-0.20 m de diámetro), sin suelo, entre dos fases constructivas (Ver Cantoral y Aquino, en este volumen) y no hubo una preparación formal del depósito funerario (ver Fig. 18.1).

Los restos se encontraron mal preservados, no se localizaron huesos largos identificables, a pesar de haberse observado fragmentos de una tibia o de un fémur en el campo durante la excavación. Varios huesos de la muñeca (escafoides izquierdo, escafoides derecho, multi-angular menor izquierdo o trapezoide) están fuertemente descalcificados, muy probablemente debido al alto nivel de drenaje de agua estacional a través de este relleno.

La presencia de numerosos huesos (costillas), frag. de huesos largos y pequeños indican un entierro primario y la relación general de los fragmentos se utilizaron para estimar la orientación y posición del cuerpo que se estima que fue puesto en un eje Noreste-Suroeste, en posición flexionada y con la cabeza en el Noreste con vista hacia el Sureste.

La mayor parte de la dentadura superior estaba dañada (quebrada o degradada) para evaluar una posible modificación dental, pero, hubo ausencia de modificación en un solo incisivo central inferior intacto y una posible modificación en el incisivo central superior izquierdo. Esta modificación potencial podría ser del tipo II 4 de Romero (porque una esquina del borde oclusal del diente fue eliminada mediante muescas de borde), pero dado el estado de degradación del diente, es imposible determinar si el daño fue intencional o si se produjo durante alguno de los procesos post-mortem (Buikstra y Ubelaker 1994).

Los fragmentos óseos recuperados del entierro fueron evaluados para patología. Se observaron perforaciones minúsculas en varios fragmentos de la bóveda del cráneo (que cubren 35 cm<sup>2</sup>, o aproximadamente un

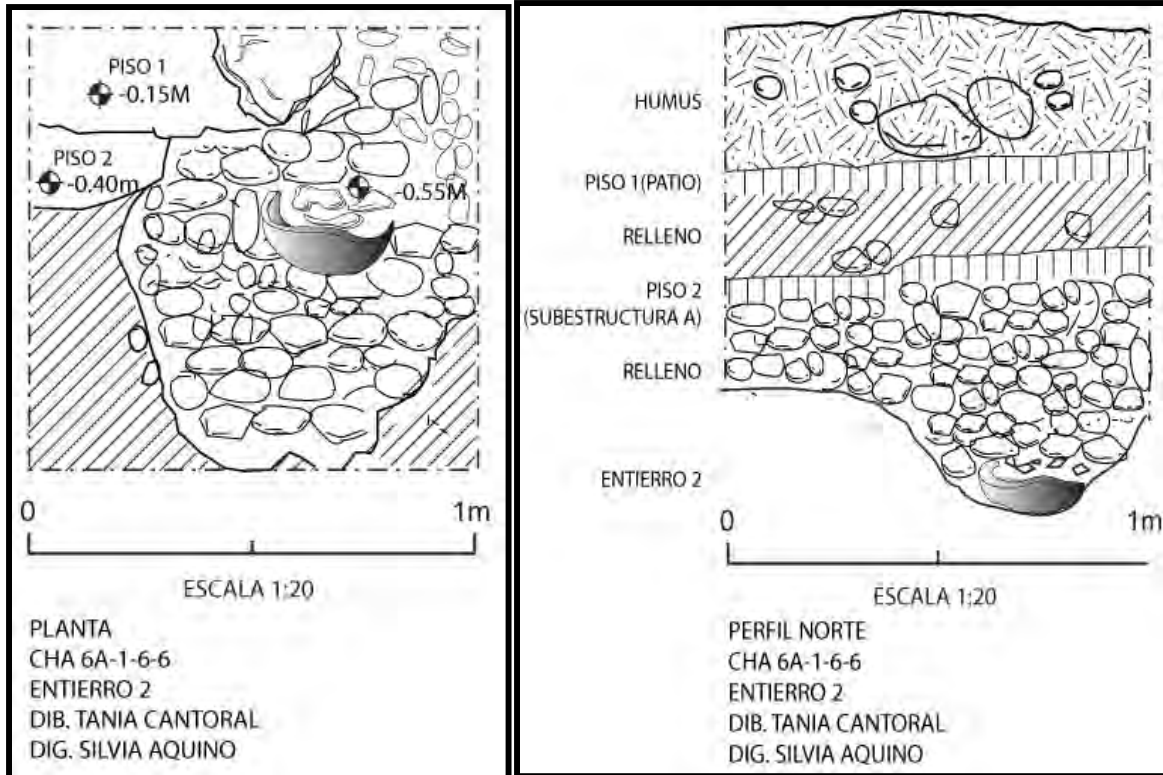
quinto de la superficie de la bóveda del cráneo) y en la articulación temporo-mandibular. Este tipo de perforaciones están asociado con un nivel mínimo de hiper-vascularidad que resulta de reacciones del Periostio, Hiperostosis porótica y la Enfermedad Degenerativa de las Articulaciones (EDA en adelante).

La mayoría de las perforaciones de la bóveda del cráneo apareció en el parietal derecho y es más probable que indique Hiperostosis porótica, o una expansión de la diploe del cráneo en respuesta a la necesidad de aumentar la producción de glóbulos rojos. Esta condición se asocia generalmente con Anemia crónica infantil, que a su vez puede tener varias causas, como insuficiencia de hierro en la dieta o enfermedades infecciosas (Ortner 2003).

Las perforaciones en la articulación temporo-mandibular es más probablemente asociada con la Enfermedad Degenerativa de las Articulaciones (Artritis) que indica una edad relativamente avanzada del individuo enterrado (Ortner 2003).

Junto con el grado de desgaste de los molares (moderado para la población) y la cúspide de los terceros molares completa, sugiere que el individuo probablemente era un adulto de mediana edad, de 35 años o más (Buikstra y Ubelaker1994).

La salud oral de la persona parece haber sido buena, con sólo una posible cavidad observada en el diente No. 19 y el individuo presenta un remanente leve de cálculo dental. No hay fragmentos alveolares preservados para evaluar la Periodontitis y no hubo hipoplasias de esmalte en los cinco dientes para evaluar esta patología.



**Fig. 18.1 Izquierda: Planta; Derecha: Perfil norte del Entierro 2**

### **Entierro CHA-2014-3**

El Entierro 3 se localizó en una pequeña cista (aproximadamente de 0.20 x 0.80 m) con orientación Norte-Sur, debajo de las gradas en la entrada a la Estructura 10A (ver Hruby y Presti, en este volumen). La cista se ubicó en la línea central de la estructura en lo que fue interpretado en campo como un escalón frontal. El cráneo estaba en el extremo Norte de la cista, mirando hacia el Este, con los huesos largos paralelos entre sí y extendiéndose hacia el Sur desde el cráneo (ver Fig. 18.2).

El tamaño de la cista, la orientación lineal de los huesos largos y la falta de fragmentos torácicos (costillas, vértebras), indican un entierro secundario. Los elementos presentes incluyen el cráneo (muy fragmentado, pero se pudo fotografiar en el campo) y los huesos largos (todos identificados en el campo),

ocho diáfisis del metacarpiano, pero no hay huesos del carpo, tarso, metatarso, o falanges. Varios fragmentos fueron identificados como potencialmente pertenecientes a la pelvis, pero no hubo superficies conservadas den información sobre el sexo o la edad de la persona. El MNI fue de uno. La edad se estimó entre un adulto de edad media hasta un adulto mayor, con base en el grado de desgaste de los molares (extremo entre los entierros de este sitio) y en el extremo de la cúspide de los terceros molares (ibíd.).

Dos dientes, el canino superior izquierdo y el incisivo central superior izquierdo tuvieron modificaciones. El canino siguió el patrón de Romero tipo III 3 (ambas esquinas removidos por muescas en el borde) y el incisivo siguió el patrón tipo VII 4 de Romero (ambas esquinas removidas por muescas en el borde y una sola incrustación central)

(ibíd.). Curiosamente, el canino superior derecho no muestra signos de modificación, posiblemente debido al desarrollo de las caries, asociadas con las dos modificaciones presentes, o posiblemente debido a prácticas de modificación asimétricas (véase también el Entierro 17, *infra*). La incrustación del incisivo se perdió probablemente pre-mortem, debido a que una cavidad parece haberse desarrollado en la depresión de la incrustación. Se observó un surco interproximal entre los segundos y terceros molares mandibulares izquierdos. Esto puede deberse a la actividad de limpieza entre los dientes o al uso de los dientes como algún tipo de herramienta no identificada. La primera explicación parece más probable porque normalmente son los dientes superiores usados como herramientas. El daño tafonómico en la superficie cortical del cráneo y en los huesos largos ha impedido la evaluación patológica. Donde la superficie de los huesos está presente, no mostró ninguna patología. En la dentadura se observó caries en 7 de los 28 dientes preservados y las caries estuvieron presentes en todos los molares con excepción de los dientes con modificación dental.

Los procesos alveolares se preservaron únicamente en la región que rodea el segundo y tercer molar inferior derecho; no se observó una reacción periodontal. Se presentó hipoplasia en el esmalte, en el canino inferior y superior derecho. El canino superior izquierdo estaba roto, sin poder observarse mejor. El canino superior derecho tuvo una ranura lineal y horizontal a 4 mm de la CEJ, el canino inferior izquierdo tenía ranuras horizontales lineales a 3 mm y 5 mm de la CEJ, y el canino inferior derecho tenía

ranuras horizontales lineales a los 3, 5 y 6mm de la CEJ.

Los caninos mandibulares se desarrollan poco antes que los caninos maxilares, por lo que la hipoplasia en el canino superior probablemente se formó al mismo tiempo que aquellos a 5mm en los caninos mandibulares. La formación general de hipoplasias sugiere tensiones recurrentes durante la infancia del individuo entre las edades 1 a 5 años) (Ash y Nelson 2003).

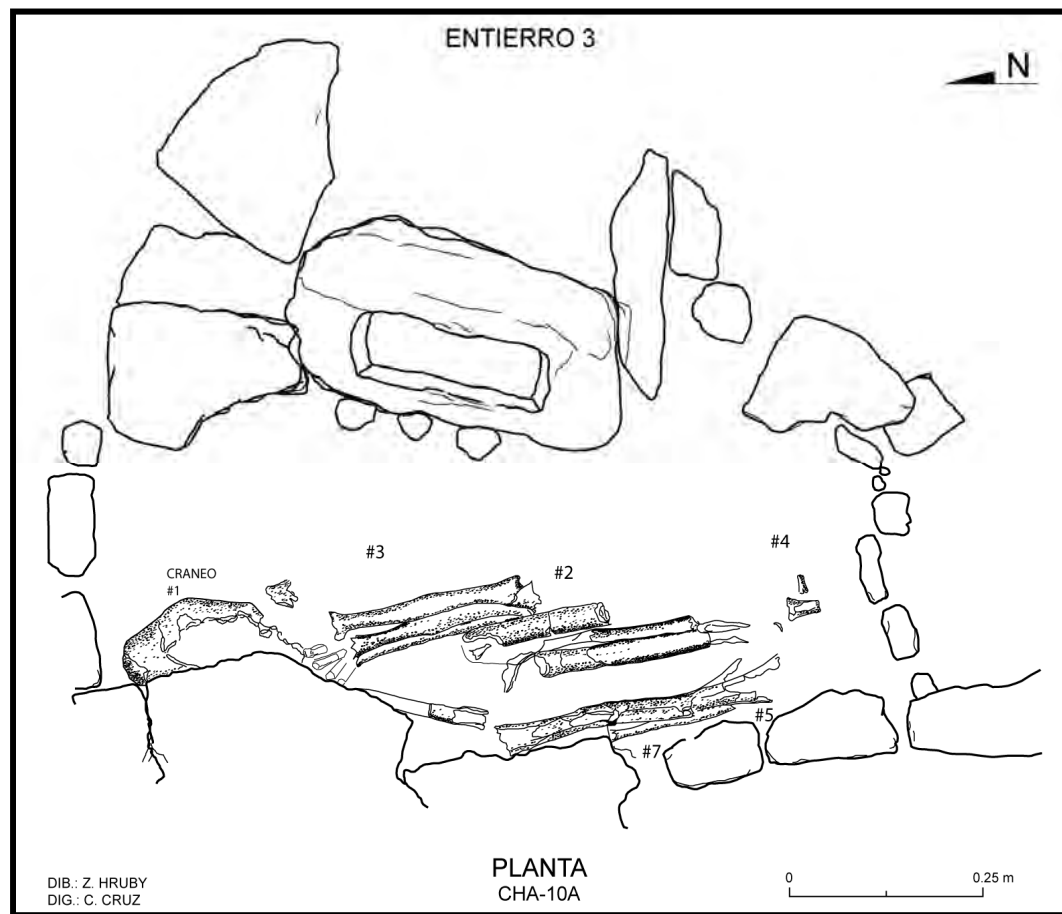
#### **Entierro CHA-2014-4**

El Entierro 4 se encuentra en un espacio poco definido directamente debajo Entierro 3 frente a la Estructura 10A. El individuo no parece haber sido enterrado en una fosa formal o cista, pero el entierro parece estar asociado con la construcción más temprana de la estructura, directamente en el relleno sobre la roca madre. Es un entierro flexionado, orientado Norte-Sur con la cabeza hacia el Norte. El esqueleto parece haber sido colocado sobre su espalda con los brazos cruzados debajo de las piernas flexionadas y la cabeza encima de una vasija-ofrenda, mirando hacia arriba. Colocado al Norte y Oeste de la cista del Entierro 3, ligeramente más al Norte de la línea media estimada de la estructura (ver Foto17.1).

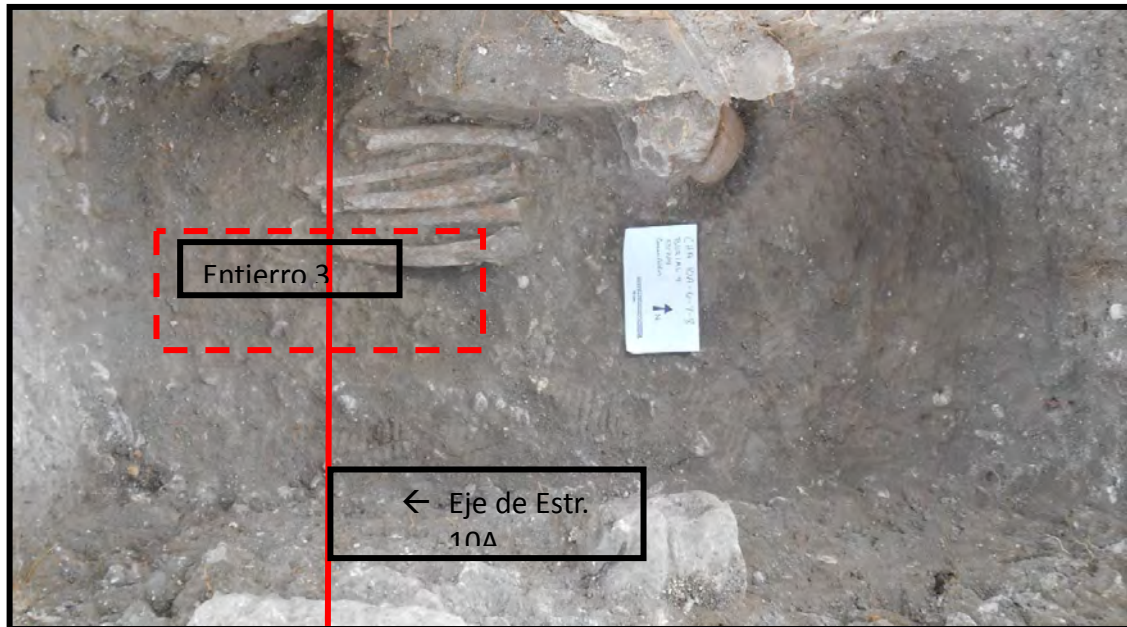
La superficie total del esqueleto y el tamaño mínimo, de la tumba es de aproximadamente 0.40 x 1 m. Aunque se recuperaron pocos elementos torácicos, la presencia de ambas falanges de manos y pies y ambos tarsos derecho e izquierdo en su posición anatómica relativa a los huesos largos sugiere que el entierro fue primario. Ninguna patología fue notada para el cráneo o los huesos largos,

aunque unos cambios degenerativos menores (llamados labios) probablemente debidos a artritis fueron notados en la primera y segunda vértebra, particularmente cerca del Axis (C2) y su articulación con C1 (Ortner 2003). No se recuperaron dientes y ningún elemento identificable de la pelvis fue preservado. Ninguna característica de dimorfismo

sexual del cráneo fue preservado. El tamaño total de los huesos largos y el cierre de las suturas craneales indica que el individuo era un adulto, pero una evaluación adicional de la edad es imposible debido a los daños tafonómicos de la superficie externa del cráneo y las epífisis de los huesos largos.



**Fig. 18.2 Entierro 3 vista de planta**



**Foto 18.1 Entierro 4 visto en relación al Entierro 3 y el eje central de la Estr. 10A**

#### **Entierro CHA-2014-5**

El Entierro 5 se encuentra en la Estructura 3A en una cista intrusiva excavada a través de un piso más temprano. La cista midió 0.50 x 1 m, orientada de Sur a Norte, El cuerpo fue colocado en una posición flexionada con la cabeza al Sur, con vista hacia el Oeste. Los restos estaban bien conservados, pero la superficie de los huesos fue dañada por la intemperie. El único indicador que podría ser utilizado para estimar el sexo del individuo fue la protuberancia del mentón (forma del mentón) que se anotó como 2, siguiendo a Buikstra y Ubelaker (1994), posiblemente de una mujer. Al igual que con el Entierro 1A, el uso de un indicador por sí solo no puede confirmar el sexo de la persona (ver Fig. 18.3).

La edad del individuo se estimó a partir del desarrollo dental y el desgaste, al ser un adulto, de aproximadamente 35 años de edad o más (Buikstra y Ubelaker

1994). El ápice de los tercer molares fue completo y el desgaste fue suave en comparación a los otros entierros de este sitio. Hubo, sin embargo, un desarrollo degenerativo, un desgaste sistemático debido a crecimientos en los bordes de la columna vertebral (llamados labios), lo que sugiere que el individuo pudo haber sido mayor o estar involucrado en un trabajo repetitivo que tensa la espalda (Ortner 2003).

Los caninos e incisivos laterales maxilares fueron modificados en este individuo. Los incisivos muestran un patrón similar al de tipo I 4 de Romero, (ambas esquinas del borde fueron removidas), mientras que los caninos siguieron un patrón similar al tipo II 5 de Romero (una esquina removida y una ranura en la superficie del diente de la misma esquina) (Buikstra y Ubelaker 1994). Debido a que los caninos son naturalmente algo puntiagudos en comparación con los incisivos, es posible

que la esquina en realidad no hubiera sido afilada, sólo que la ranura en la superficie fue extendida desde la esquina, por los efectos acumulados de desgaste o por la modificación. Hubo también pequeñas muescas en los bordes anteriores de las superficies oclusales de la dentición mandibular (1 mm). No está claro si se trataba de modificaciones intencionales.

No se observó patología en el cráneo y en los huesos largos, donde la superficie cortical era observable. En las vértebras, C2 tiene crecimiento de un labio menor en la faceta articular inferior; C6 o 7 tiene un crecimiento moderado de labios en las superficies articulares del cuerpo vertebral y un osteolito de 2 mm en la apófisis articular derecha; todos los fragmentos de los cuerpos vertebrales torácicos y lumbares que conservan superficies articulares también preservan un crecimiento moderado de labios. Estos cambios son consistentes con la artritis debido al envejecimiento o la mano de obra (Ortner 2003). Las clavículas son bastante gráciles, mientras que las falanges manuales muestran inserciones musculares fuertes. La salud dental fue de moderada a buena. No hubo caries en cualquiera de los dientes, pero hubo evidencia de reacciones periodontal, asociada a la gingivitis (Ortner 2003), en casi todos los alvéolos conservados, especialmente en la dentición mandibular anterior. Los dientes asociados a estas regiones de la arcada dental tienen correspondientes depósitos de cálculos dentales (sarro). No hubo hipoplasias dentales en cualquiera de los dientes observables.

#### **Entierro CHA-2014-6**

El Entierro 6 estaba en la parte posterior de la Estructura saqueada 3B (véase Solís en este volumen). Varios fragmentos de hueso se recuperaron del contexto saqueado y perturbado, incluyendo: Dos fragmentos de la bóveda craneal, un frag, de vértebra altamente erosionada, posiblemente una vértebra lumbar por su tamaño, un posible arco vertebral y un fragmento de hueso largo, quizá de peroné. Estos restos no pudieron ser evaluados por su orientación original, posición, sexo, edad y no se observó ninguna patología.

#### **Entierro CHA-2014-7**

El Entierro 7 contuvo 3 dientes y aprox. 175 fragmentos de diáfisis de hueso largos dentro de la capa de humus que cubrió la Estructura 7B (ver Foias et al., Operación CHA7, en este volumen). No había ninguna cista o fosa o piedras encima de los huesos. De los fragmentos de huesos largos, 9 fueron identificados como partes del húmero y 23 como partes de otros huesos, pero la unión no fue posible. Basado en las diferencias del tamaño del diámetro de los fragmentos, parece que ambos huesos del brazo y pierna están representados. Los tres dientes presentes son el canino superior derecho, el primer molar inferior izquierdo y el cuarto premolar superior derecho. No fue posible evaluar la edad o el sexo a partir de los elementos presentes, y ninguno de los huesos pudo ser identificado hasta el nivel necesario para determinar la orientación original del entierro.

### **Entierro CHA 2014-8A**

El Entierro 8a se encuentra sobre la roca madre, asociado a la Plataforma 6C (ver Aquino, en este mismo volumen). El entierro fue colocado en una posición flexionada, lateral derecho, orientado Sur-Norte con la vista hacia el Este (Fig. 18.4). El cráneo fue aplastado y los huesos largos muy fragmentado. El hueso esponjoso incluyendo en las regiones de la epífisis de los huesos largos, vértebras, huesos del carpo, tarso y en mucho de la pelvis fue destruida o estuvieron ausentes. Ninguna característica que indique el sexo o edad fue preservado, pero el grado de desgaste de los dientes (extremo entre los entierros del sitio) sugiere que el individuo puede haber sido un adulto mayor (Buikstra y Ubelaker 1994).

Aproximadamente el 50% de la bóveda craneal estaba presente, aunque debido a los daños tafonómico, sólo aproximadamente el 30% de la bóveda puede ser evaluada para las lesiones patológicas, sin observarse alguna. No se recuperaron los huesos faciales. No se presentó evidencia de ninguna patología en los fragmentos de hueso poscraneanos. El canino superior derecho parece afilado a lo largo del borde oclusal y distal, en comparación con el canino superior izquierdo, aunque no está claro si esto es intencional o un efecto de los patrones irregulares de uso y desgaste. Huellas de importantes depósitos de cálculos dentales eran visibles en todos los dientes recuperados: RC1, LC1, RM2, M1 (lado indeterminado), M3 lado indeterminado), I2 (arco indeterminado)

debido a la acumulación de sarro; pero el alveolo no se preservó, por lo que la evaluación de la reacción periódica no era posible. Se observó una caríe en el segundo molar superior derecho. El esmalte de todos los dientes fue inobservable debido a los depósitos de cálculo acumulados o degradación tafonómico.

### **Entierro CHA-2014-8B**

El Entierro 8B estuvo asociado con el Entierro 8A (ver Aquino, este volumen). A pesar de la designación como un mismo entierro, los Entierros 8A y 8B fueron dos eventos separados.

El Entierro 8B, fue localizado en el nivel de humus, adentro de un posible basurero. El cuerpo fue puesto en una posición flexionada, orientado Norte-Sur, pero el daño tafonómico no permite determinar más detalles de la posición del cuerpo. Solamente elementos de los huesos largos y un único incisivo central superior (lado indeterminado) fue recuperado, pero el descubrimiento de metacarpos en posición anatómica sugiere que el entierro es primario. Ningún rasgo indicativo de sexo o edad fue preservado. El nivel de desgaste en el diente (extremo para los entierros de este sitio) sugiere que, el individuo fue un adulto mayor, pero como el único diente era un incisivo, esto puede reflejar una modificación intencional similar a la vista en Entierro 1A y se debe considerar la estimación de edad con precaución. Todos los elementos recuperados se encontraban dañados.

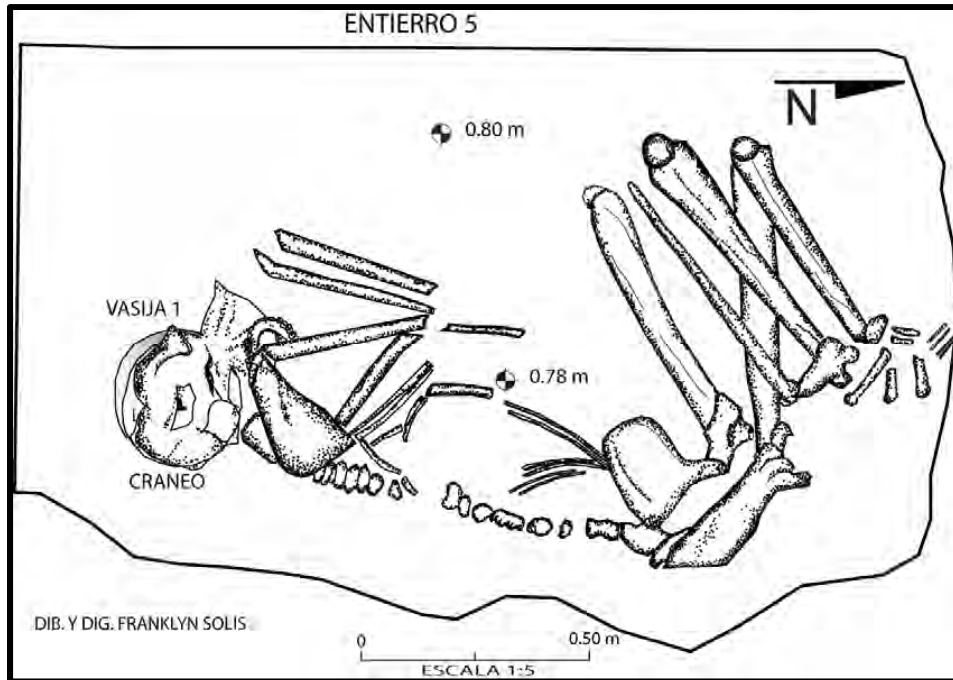


Fig. 18.3 Entierro 5, vista de planta y bajo los fragmentos de cráneo una ofrenda

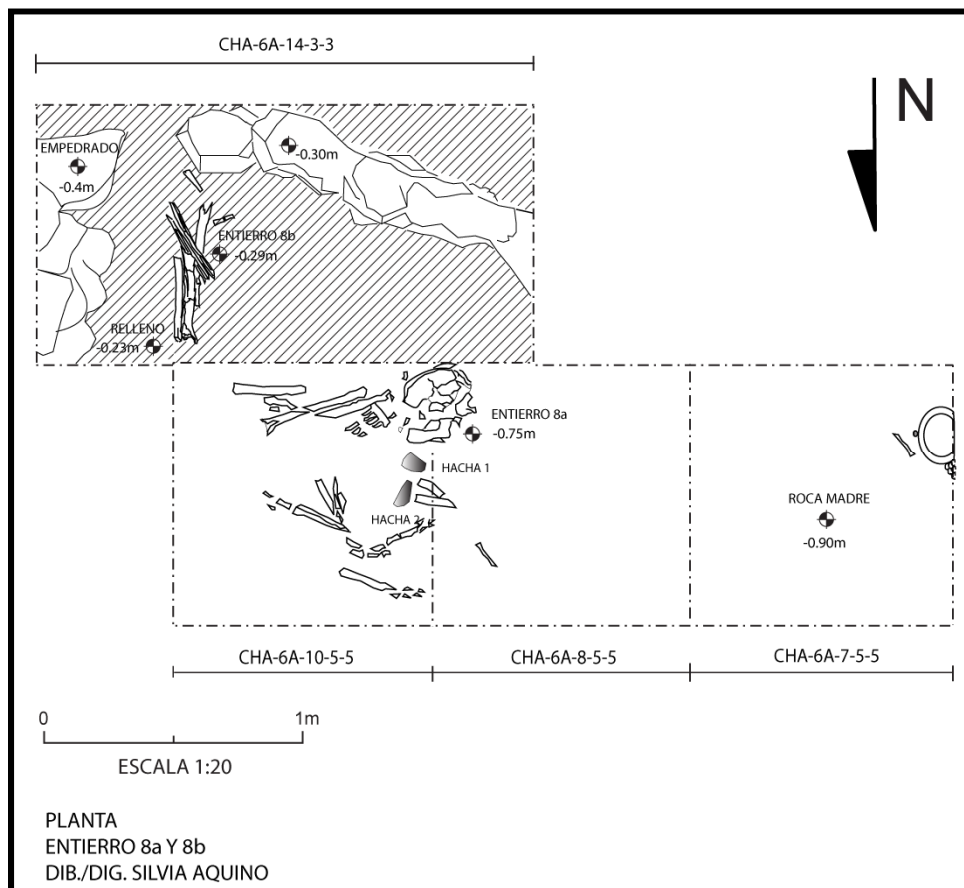


Fig. 18.4 Entierros 8a y 8b, en relleno constructivo de la Plataforma "E"

### **Entierro CHA-2014-9**

El Entierro 9 está representado por un solo cráneo, depositado en la Estructura 3B en una capa de relleno suelto entre dos fases de construcción (Ver Solís, este volumen). El cráneo estaba bien conservado, con gran parte de la bóveda craneal y los huesos faciales intactos. La porción basilar del cráneo incluyendo los temporales, sin embargo, no se conservaron. La glabella era relativamente grácil, pero, como se mencionó anteriormente, con un solo indicador no se considera positivo para ser indicativo del sexo. Por lo tanto, el sexo de este individuo se considera indeterminado. Pero la edad es de un joven adulto basado en la presencia de un tercer molar fragmentado con formación del ápice radicular incompleto, aproximadamente entre 18 y 35 años de edad (Buikstra y Ubelaker 1994).

El cráneo fue deformado deliberadamente, por aplicación de presión en los huesos frontal y posiblemente en el occipital, resultando en una expansión medio-lateral y superior de los parietales. La forma es consistente con la representada por Neumann, como deformación fronto-occipital (Neumann 1942).

No hubo evidencia de modificaciones dentales, aunque los incisivos centrales no se preservaron. La salud dental en general fue de moderada a pobre, basado en la dentición maxilar. No se observaron caries, pero el incisivo central y lateral izquierdo y el incisivo central derecho se perdieron antes de morir y había importantes depósitos de cálculo (sarro) dental en los molares y premolares izquierdos, con trazas presentes en todos los dientes recuperados. El alvéolo no mostró signos

de reacción periodontal, excepto en la región anterior, donde se habían caído los incisivos. Esto puede estar relacionado con la resorción del alvéolo, en lugar de a la infección gingival. Aunque en la mayoría de los dientes no se pudieron verificar hipoplasias, pero en los bien preservados, no se observaron defectos hipoplásicos.

### **Entierro CHA 2014-10**

El Entierro 10, fue localizado en la Estructura 5B (ver Mansilla en este volumen), debajo de la grada en la entrada de la estructura, muy similar al Entierro 3, pero de semejante a este, el Entierro 10 no tenía claramente definidos los límites de su cista. El Entierro 10 estuvo orientado de Norte-Sur, con la vista hacia el Oeste, en decúbito dorsal, aunque levemente hacia la derecha. La edad del individuo se estima cerca de 6 +/- 2 años con base en los patrones de la erupción dental.

Porque el sexo sólo puede estimarse después de que un individuo llega a la pubertad, el sexo de este individuo es indeterminado (ver Fig. 18.5). Los elementos presentes incluyen la mayor parte de la bóveda craneal (muy fragmentado), aproximadamente 75% son de la mandíbula, todas las diáfisis de los huesos largos, varios arcos vertebrales, muchos fragmentos de costillas, aproximadamente 75% de los metatarsianos y metacarpianos y 50% de los mediales y proximales de las falanges de mano.

El entierro es posiblemente primario. Los huesos craneales no se pudieron evaluar eficazmente por cambios patológicos a causa de una combinación del daño tafonómico y del carbonato de calcio acumulado en los

huesos. Es posible que hay una ligera perforación del lado izquierdo del hueso frontal, pero sin expansión de la diploe: el espesor de los huesos de la bóveda es de entre 2 y 3 mm. No se observaron cambios patológicos en el material postcraneal. No hubo indicios de modificación craneal intencional, aunque esto puede deberse a que el cráneo presento una alta fragmentación.

El estado de salud dental fue moderado. Se observaron 8 caries en 6 de los 24 dientes erupcionados, todo en dientes deciduos. Los niveles de desgaste fueron relativamente bajos, y sólo se observaron rastros de cálculo en la dentición posterior. No hubo evidencia de reacción periodontal, ni defectos de hipoplasia en los dientes erupcionados o en desarrollo.

#### **Entierro CHA-2014-11**

El Entierro 11, consta de 5 dientes y unos pocos fragmentos de huesos largos y planos no identificados, ubicados en la estructura 4D (Ver Cruz, Operación CHA4, este volumen). Los dientes indican que los restos son de humano, pero ninguna evaluación se puede hacer en cuanto a la edad, el sexo o la orientación inicial de los restos.

Los fragmentos óseos no muestran ningún signo de patología. Los dientes no presentan caries, y un desgaste relativamente ligero. Sólo el diente (RI2) muestra indicios de cálculo dental. Un incisivo central mandibular muestra una modificación similar al tipo VI 1, de Romero (muesca curvada en el centro del borde oclusal) (Buikstra y Ubelaker 1994). Se observaron dos defectos Hipoplásicos, uno en el segundo molar mandibular izquierdo, de aproximadamente 30 mm de la unión

cemento-esmalte y otro en el cuarto premolar mandibular izquierdo, aproximadamente 20 mm de la unión cemento-esmalte. Las longitudes de la corona para estos dientes son de 7 mm y 8 mm, respectivamente, ambos defectos toman la forma de una ranura horizontal lineal.

Los tiempos de formación de estos dientes varían considerablemente, por lo que es posible que los defectos graban un único evento de estrés, pero es más probable que registre dos eventos, un evento que ocurrió en algún momento entre 3.1 y 3.7 años y un segundo evento que ocurrió entre 4.1 y 5.2 años de edad (Ash y Nelson 2003). Como se discutió anteriormente, dichos defectos pueden deberse a una amplia gama de factores de tensión, y es imposible definir su causa exacta.

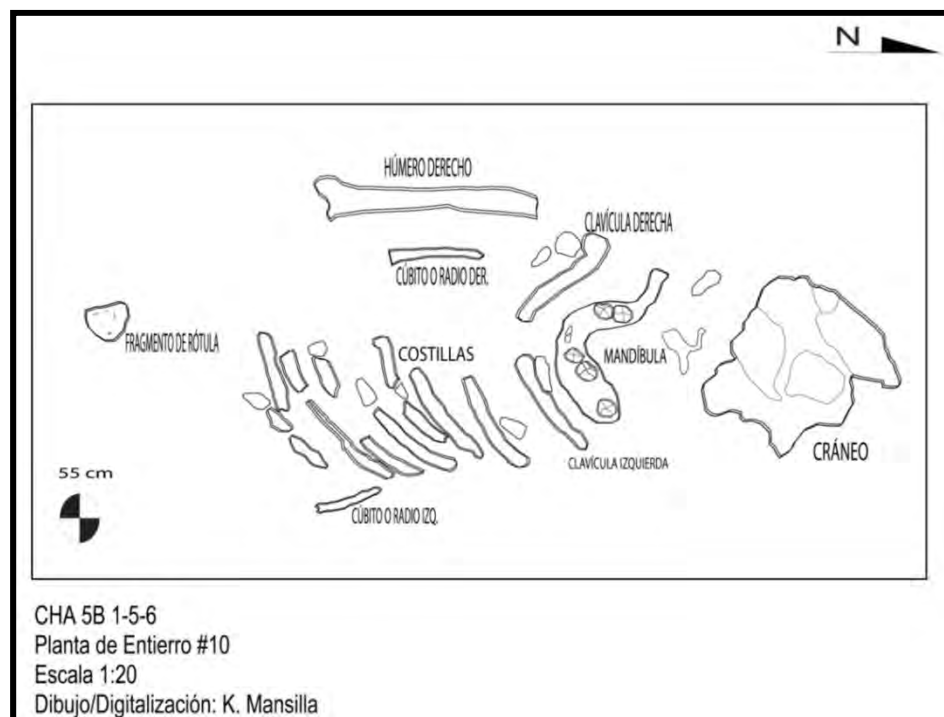
#### **Entierro CHA-2014-12**

El Entierro 12, se encuentra en la Estructura 3B, en la misma capa de relleno entre las fases constructivas al igual que el Entierro 9 (véase Solís en este volumen). A diferencia del Entierro 9, este consta de los elementos craneales y poscraneos. Las apófisis mastoides son relativamente gráciles, anotando un 2 sobre 5 (Buikstra y Ubelaker 1994), pero sin otro indicador del sexo preservado, se considera este individuo de sexo indeterminado. Con base en el nivel avanzado del desgaste dental y en la pérdida de algunos dientes pre-mortem, el individuo se considera tentativamente como un adulto mayor.

No hubo evidencia de modificación intencional del cráneo o de la dentición, aunque esta es una conclusión tentativa, ya que el cráneo estaba muy fragmentado, con sólo fragmentos de los

parietales y occipitales de la bóveda craneal y no se recuperaron incisivos centrales o superiores mandibulares, en los cuales uno esperaría algún tipo de modificación (ver Fig. 18.6). Hubo evidencia de hiperostosis porótica en el parietal derecho y también en el occipital superior, por encima de las líneas entre el cráneo y el cuello. El resultado de la hiperostosis porótica en el occipital fue más robusta y podría ser clasificado como "leve", mientras que en el parietal muestra solamente "perforación". Como se discutió previamente, la hiperostosis porótica está asociada comúnmente con la anemia, pero recientemente se ha asociado con la deficiencia de vitamina B12 y anemia en sí puede tener múltiples causas, que van desde la deficiencia de hierro en la dieta a una defensa inmune contra una infección bacteriana. La expansión de la diploe que crea las lesiones visibles en el cráneo es sólo

posible en la infancia; por lo tanto, la presencia de las lesiones poróticas, indica un ambiente general de la niñez bajo una tensión biológica. Se formó una pequeña lesión perióstica erosiva en una de las diáfisis femoral (no laterales) cerca de la metáfisis proximal. La etiología de esta lesión es desconocida. Ninguna otra patología se observó en el esqueleto, aunque la tuberosidad radial derecha, en la unión para el músculo bíceps estaba muy desarrollada. La salud dental en general era buena, con solo una carie en los tres dientes observados, sin cálculos dentales y sin reacciones periodontales donde el alvéolo pudo ser observado. No hubo defectos de hipoplasia en los dientes observados (canino superior izquierdo, incisivo lateral izquierdo el maxilar, cuarto premolar derecho mandibular).



**Fig. 18.5 Entierro 10, vista de planta**

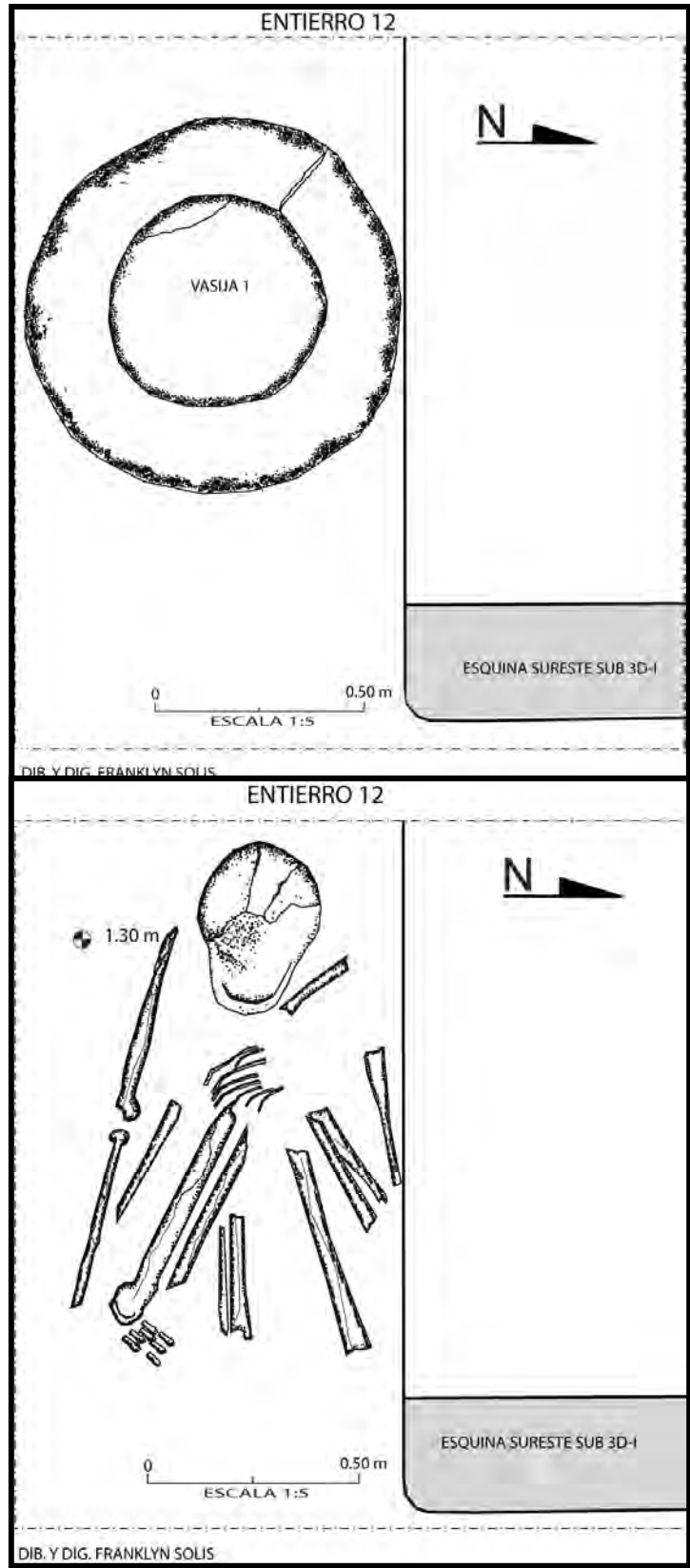


Fig. 18.6 Arriba: vasija Chicanel; Abajo: Vista de planta Entierro 12

### **Entierro CHA-2014-13**

Entierro 13, se localizó en la Estructura 3B, en el mismo relleno constructivo que el Entierro 12 y 9 (véase Solís en este volumen). Este entierro estuvo relativamente mal conservado, con fragmentos no identificables del cráneo y la mayor parte de los huesos largos. Varios fragmentos posiblemente pertenecientes a la pelvis, vértebras, costillas y extremidades también fueron recuperados. El sexo fue imposible de estimar, aunque la edad se estimó provisionalmente para un adulto mayor con base en una amplia pérdida de dientes pre-mortem. Ninguna patología fue identificada en los fragmentos de huesos recuperados y no recuperaron dientes. El punto de unión en el esqueleto para el glúteo mayor en la diáfisis femoral izquierda fue notablemente robusto, indicativo de un fuerte desarrollo y uso muscular (ver Fig. 18.7).

### **Entierro CHA-2014-14**

El entierro 14, consistió en 30 fragmentos de hueso craneal y post-craneal, ninguno que pudiera ser identificado para una parte específica del esqueleto, así como 7 dientes. Los restos fueron localizados en las excavaciones asociados con la Estructura 11A (Ver Castellanos, este volumen). Los dientes indican un número mínimo de dos individuos. La primera persona tiene una edad estimada de 6 +/- 2 años y está representada por un primer molar permanente izquierdo (erupción), un primer molar izquierdo (erupción), un segundo molar permanente mandibular izquierdo (no entró en erupción), un primer molar mandibular derecho y un incisivo lateral mandibular derecho caducifolio. El segundo individuo es

representado por un incisivo central maxilar izquierdo y un incisivo lateral permanente que no pudo ser identificado a cual arco pertenece. El segundo individuo fue más probablemente un adulto, con base en el grado de desgaste de los incisivos. El primer individuo mostró una buena salud dental en general, sin caries y sin cálculos. No se observaron hipoplasias en el esmalte. El incisivo central de la segunda persona fue modificado identificado como de Tipo VII 11 de Romero (Buikstra y Ubelaker 1994), con una sola incrustación de brillante jadeíta de color verde. No se observaron caries o hipoplasias en este individuo, aunque había rastros de cálculo en el incisivo lateral.

### **Entierro CHA-2014-15**

El Entierro 15, se encontró en las excavaciones asociados con la Estructura 8B (véase Mansilla, CHA8, este volumen). El individuo fue un adulto, con base en el desarrollo dental y el tamaño general de los huesos, pero el cráneo estuvo demasiado fragmentado para estimar el sexo y los fragmentos de la pelvis que fueron recuperados son imposibles de identificar, no permitiendo estimar el sexo.

El vértice de la raíz del tercer molar no había completado su crecimiento, unido con el bajo nivel de desgaste dental, sugiere un adulto joven (ver Fig. 18.8). No hay modificaciones intencionales en los dientes o cráneo de este individuo, pero vale la pena mencionar, que el cráneo está muy fragmentado y ningún incisivo central fue recuperado, por lo que la ausencia de modificaciones puede ser simplemente por falta de evidencia. Varios fragmentos de la bóveda craneal, mostrando el periostio interno, en el caso del cráneo

esto sugiere una inflamación de las membranas meníngeas y los fragmentos de un fémur o tibia (no pudieron ser identificados, pero su diámetro sugiere pertenecer a uno de los mayores huesos del cuerpo), los largos fragmentos de diáfisis óseas, sugiere una infección de la cavidad medular (Ortner 2003). El esmalte de los dientes se degradó en todos los casos, demasiado como para evaluar la presencia o ausencia de hipoplasias, sin observar caries o cálculo.

#### **Entierro CHA-2014-16**

El Entierro 16, se encontró en la Estructura 3B, en la misma capa de relleno de las fases constructivas en donde se encontraron los entierros 9, 12 y 13 (ver Solís en este volumen). Se recuperaron elementos de la bóveda craneal, cavidad torácica, hueso largo, vertebras y los fragmentos mandibulares, ningún hueso pudo identificarse fehacientemente, con excepción de la mandíbula y porción petrosa del hueso temporal derecho. No se observó ninguna patología en los huesos. Los elementos recuperados también incluyeron 16 dientes pertenecientes a un infante, un incisivo muy degradado de otro individuo adulto. La cantidad de desgaste dental y el desarrollo de las raíces del incisivo son incompatibles con el resto de los elementos recuperados. Para el infante la edad se estima en 1 año  $\pm 4$  meses basado en el desarrollo dental. Sólo hay una carie en el incisivo caducifolio lateral derecho mandibular, y no hay evidencia de cálculo acumulado o defectos hipoplásicos.

#### **Entierro CHA-2014-17**

El Entierro 17, se encontró en excavaciones asociadas con la Estructura 3A (véase Solís en este volumen), orientado en un eje de Este a Oeste, viendo hacia el Oeste. El diámetro de la cabeza femoral derecha es de 40.45 mm, medida intermedia para ambos sexos reportado por Dittrick y Suchey (1986) y el desarrollo mastoideo es indeterminado.

La robustez general de los huesos largos, eminencia craneal, líneas entre cráneo y cuello, el grado de eversión gonial y un ángulo mandibular de aproximadamente 110° sugieren un individuo masculino (Buikstra y Ubelaker 1994; Bass 1995). La estrecha escotadura ciática mayor, del coxal apoya esta estimación. El individuo era un adulto, de mediana a mayor edad, con base en el grado del desgaste dental que fue moderado en comparación a los otros entierros del sitio y por los cambios del proceso de osteoartritis.

El cráneo se modificó de manera similar al entierro 9, por la aplicación de presión sobre el hueso frontal y occipital. Tres dientes (incisivos centrales maxilares y un canino superior derecho) fueron modificados siguiendo el patrón descrito por tipo 4 II de Romero (esquinas distales con muescas) (Buikstra y Ubelaker 1994) (ver Fig. 18.9).

Se observaron varias lesiones patológicas o potenciales lesiones patológicas en los restos del Entierro 17. Había un pequeño (10 x 10 mm) parche de hueso esclerótico en el occipital derecha, a aproximadamente a 20 mm arriba al punto cronométrico lambda, por la evidencia de un golpe que sano en la parte posterior de la cabeza (Ortner 2003). El acromion de la escápula izquierda era porosa y la fosa glenoidea

de la escápula derecha mostró cierto crecimiento (llamado labio), causado por osteoartritis (Ortner 2003). Labios similares, así como crecimientos osteofíticos (hasta 2 mm) se observaron en uno de las acetábulos (pelvis, fragmentada y sin lado definido). Los huesos del carpo mostraron una degeneración articular leve con porosidad y algunos crecimientos (llamados labios). Varios de los huesos del carpo (trapecio izquierdo, trapecio derecho, los metacarpos de la mano derecha y hueso piramidal derecho) mostraron una compresión lateral inusual de sus proporciones generales.

Había un pequeño parche producto de una reacción perióstica en la diáfisis del peroné izquierdo, sugerente de una infección localizada o lesión traumática. Las vértebras se vieron afectadas sistemáticamente por cambios artríticos. La vértebra C1 mostró un crecimiento o reborde/labio moderado de la faceta odontoides. C2 mostró un crecimiento de labio moderado a severo, y osteofitos en cada faceta. Debido a la magnitud de los cambios patológicos, muchas vértebras no eran identificables, pero al menos dos cervicales adicionales, ocho torácicas y tres vértebras lumbares demostraron el crecimiento de labios y osteofitos de leve a muy grave, tanto en los arcos y los cuerpos vertebrales. Otras cuatro vértebras torácicas se fusionaron en parejas por crecimientos óseos. Dos en el rango C7-T3 se fusionaron a la derecha pre/post-zigapófisis y dos identificados como potencialmente T9 y T10 se fusionaron tanto en el arco y el cuerpo.

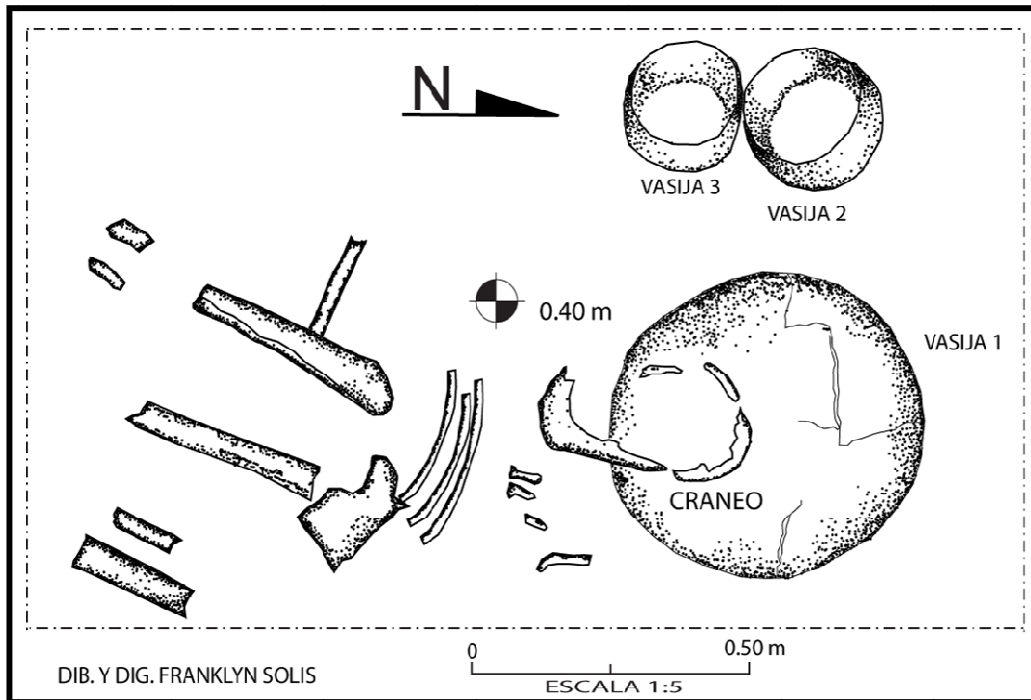
La naturaleza de las estructuras óseas indica que este proceso de osteoartritis provocó que las vertebras en

este caso, se sometieran a la remodelación del tejido de hueso esclerótico. Los marcadores de tensión musculo-esqueléticos en todos los huesos largos estaban muy bien desarrollados, lo que sugiere un estilo de vida muy activo físicamente, potencialmente implicando un trabajo manual. La longitud máxima de la radio era 0.22 m. Este fue el único hueso largo que pudo ser medido en su longitud máxima, para estimar la estatura de la persona según el procedimiento indicado por Bass (1995). Según Bass el individuo tuvo una altura de aproximadamente de 160 +/- 0.46 m. La salud dental del individuo fue deficiente, con 8 caries en 7 de los 21 dientes observados. Al menos cuatro dientes definitivamente se perdieron pre-mortem, como se indica por la resorción alveolar. Hubo pruebas de al menos trazas de cálculo dental en casi todos los dientes observados y de reacciones periodontales, tanto en el maxilar superior como en la mandíbula (más severa en la dentición superior, extendiéndose hasta los premolares y un área separada asociada con el tercer molar derecho). El tercer molar mandibular derecho se vio afectado y un absceso se había formado alrededor de los dientes, pero no había perforado el corpus mandibular. No se observaron defectos hipoplásicos.

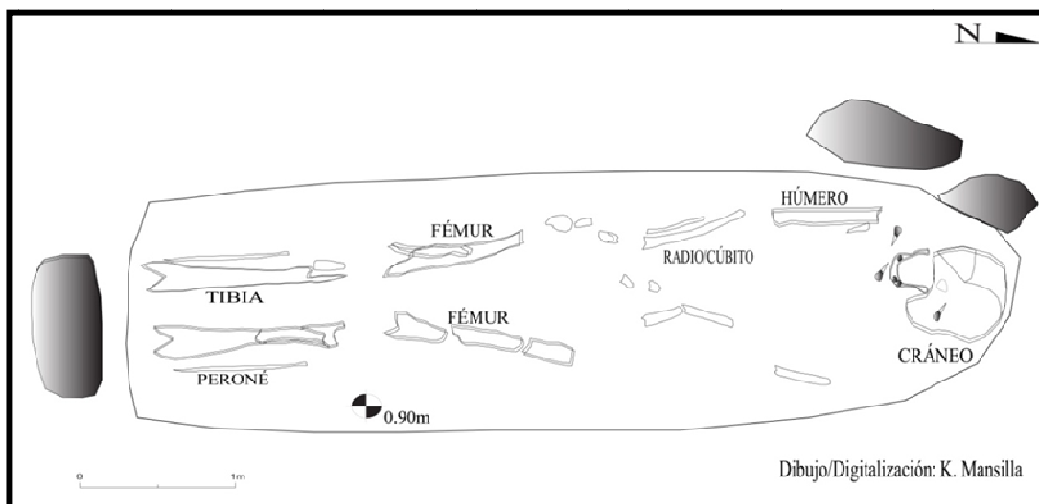
### **Entierro CHA-2014-18**

El Entierro 18 se encontró en las excavaciones asociados con la Estructura 14A (ver Castellanos, este volumen). El entierro estaba orientado en un eje Este-Oeste y la dirección de la vista no fue posible determinarla debido al deterioro. Su mal estado de conservación, no

permitió la evaluación de los cambios patológicos, ni la identificación de los huesos del lado del esqueleto que representan, aunque varios de ellos fueron separados en función de su posición relativa en el campo. Ningún indicador de sexo o edad se conservó (ver Fig. 18.10).



**Fig. 18.7 Planta Entierro 13**



**Fig. 18.8 Planta Entierro 15**

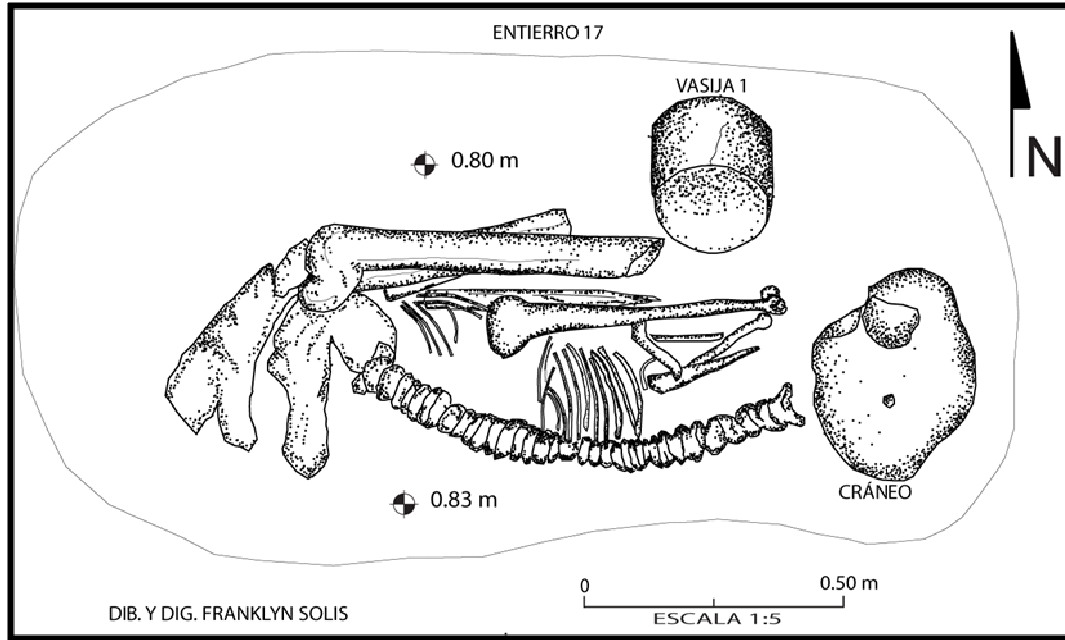


Fig. 18.9 Planta Entierro 17

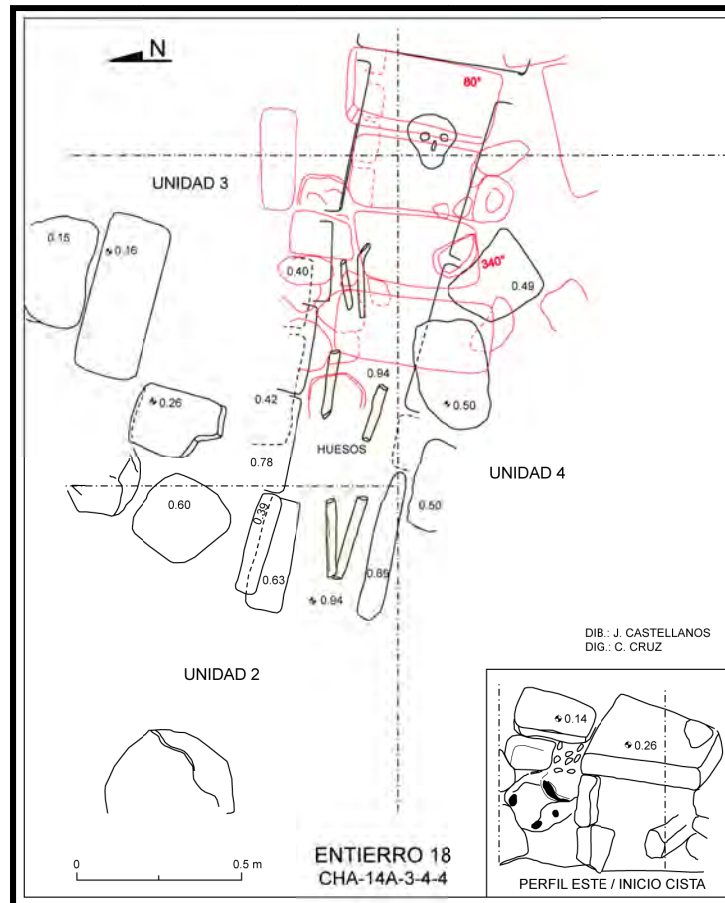


Fig. 18.10 Planta Entierro 18

ENTIERRO	UBICACIÓN	CONDICIÓN	TIPO DE ENTIERRO	TIPO DE SEPULTURA	EDAD	SEXO	CONFORMACIÓN CRANEAL	MODIFICACIÓN DENTAL	PATOLOGÍA DEL ESQUELETO	PATOLOGÍA DENTAL
2014-1A	CHA 4A-1-1-1	Muy pobre	Primario Saqueado	Cista	Joven adulto	F?	N/A	Si	Ninguna	Caries, hypoplasia
2014-1B	CHA 4A-1-3-3	Frg.	Ind., Intact	Ind.	Adulto	Ind.	N/A	Si	Ninguna	Ninguna
2014-2	CHA-6A-1-7-7	Pobre	Primario, intacto	Relleno constructivo	Adulto edad media	Ind.	N/A	Posible	Perforada	una carie, calculus (sarro)
2014-3	CHA 10A-2-7-9	Pobre	Secundario, intacto	Cista	Mediados de edad adulta	Ind.	N/A	Si	Ninguna	Caries, hypoplasia
2014-4	CHA 10A-6-7-8	Pobre	Primario, intacto	Ind.	Adulto	Ind.	No	N/A	Leve DJD (artritis)	N/A
2014-5	CHA 3A-10-4-4	Moderado	Primario, intacto	Cista	Adulto medio	Ind.	N/A	Si	Leve DJD	Periodontitis
2014-6	CHA 3B-1-2-2	Frg.	Ind., saqueado	Cista	Ind.	Ind.	N/A	N/A	Ninguna	Ninguna
2014-7	CHA 7B-9-2-2	Muy pobre	Ind.	Ind.	Ind.	Ind.	N/A	N/A	Ninguna	Ninguna
2014-8A	CHA 6C-10-5-5	Pobre	Primario, intacto	Ind.	Adulto mayor	Ind.	N/A	Posible	Ninguna	Calculos, una carie
2014-8B	CHA 6C-14-3-3	Muy pobre	Primario, intacto	Ind.	Ind.	Ind.	N/A	Posible	N/A	N/A
2014-9	CHA 3B-1-3-3	Moderado	Secundario, intacto	Relleno constructivo	Joven adulto	Ind.	Fronto-occipital	No	N/A	Perdida de dientes, calculo
2014-10	CHA 5B-1-5-6	Pobre	Primario, intacto	Ind.	6 +/- 2 años	Ind.	N/A	No	Ninguna	Caries
2014-11	CHA 4D-1-3-3	Frg.	Ind., intacto	Ind.	Ind.	Ind.	N/A	Si	N/A	Hypoplasia
2014-12	CHA 3B-6-4-4	Pobre	Primario, intacto	Relleno constructivo	Adulto mayor	Ind.	N/A	N/A	Hiperostosis porótica	Ninguna
2014-13	CHA 3B-7-3-3	Frg.	Primario, intacto	Relleno constructivo	Adulto mayor	Ind.	N/A	N/A	Ninguna	N/A
2014-14	CHA 11A-4-5	Frg.	Ind., intact	Ind.	6 +/- 2 años	Ind.	N/A	N/A	Ninguna	Ninguna
	CHA 11A-4-5	Frg.	Ind., Intacto	Ind.	Adulto ?	Ind.	N/A	Si	Ninguna	Ninguna
2014-15	CHA 8B-6-3-3	Frg.	Ind., intacto	Indeterminat e	Joven adulto	Ind.	N/A	N/A	Reacciones internas	Ninguna
2014-16	CHA 3B-9-3-3	Frg.	Ind., Intacto	Ind.	1 yr.+/- 4 meses.	Ind.	N/A	No	N/A	Una carie
	CHA 3B-9-3-3	Un diente	Ind., Intacto	Ind.	Adulto ?	Ind.	N/A	No	N/A	Ninguna
2014-17	CHA 3A-16-4-4	Moderada	Primario, intacto	Relleno constructivo	Adulto de edad media	M	Fronto-occipital	Si	E.A.D., Herida sanada en la cabeza	Caries, impacto de M3, cálculo, periodontitis
2014-18	CHA 14A-3-4-4	Muy mal estado	Primario, intacto	desconocida	Ind.	Ind.	N/A	N/A	Ninguna	Ninguna

**Tabla 18.1 Resumen de entierros y restos humanos**

# CAPITULO 19

## LAS VASIJAS DE LOS ENTIERROS EN EL SITIO CHACHAKLU'UM, 2014

Franklyn Solis

*Universidad de San Carlos de Guatemala*

### INTRODUCCIÓN

Durante la temporada 2014, en el sitio Chachaklu'um se localizaron un total de 20 entierros (ver. Greenfelder en este volumen), varios de ellos con ofrenda funeraria, esta depende del nivel jerárquico de la persona inhumada, ya que a mayor rango mayor ofrenda, según Ichikawa y Wataru (2011). Lo que indicaría el porqué algunos entierros no poseían ninguna ofrenda o en algunos casos contaron hasta con tres vasijas asociadas a un mismo individuo.

El objetivo primordial de este documento es registrar las 14 vasijas procedentes de los entierros recuperados en Chachaklu'um, a fin de entender su posición cronológica en los diferentes contextos y su posible afiliación cerámica y cuando los ejemplares lo permitieron su iconografía e idiosincrasia tanto de los productores como de los propietarios. A fin inferir la evolución y/o cambios en el patrón funerario de Chachaklu'um, con una ocupación inicial durante el Preclásico Medio a Tardío y posteriormente una segunda ocupación durante el Clásico Tardío y/o Terminal (comunicación personal A. Foias 2014).

Dentro de la cosmovisión Maya la muerte es sólo una parte dentro del ciclo de la vida, vida muerte-resurrección-. Cuando un personaje muere, de acuerdo a Erik Velásquez, las entidades anímicas que componen al ser físico, es el “alma corazón” la que trasciende, no perdiendo la identidad del ser. Es por ello que, la ofrenda dentro de las vasijas que acompañaban a los enterramientos, cobró una gran importancia, pues parte de ella acompañaría al personaje inhumado al más allá. Los Mayas se enfocaron en la preparación del entierro y paso por el inframundo más que cualquier otra cultura mesoamericana. Cada elemento estructural, cada imagen representada, y cada objeto colocado, evocaban a su cosmovisión. La preparación del recinto y el tiempo invertido para su elaboración dependió de la importancia del individuo, de la época y del auge del centro ceremonial (Martínez, 2012).

### VASIJAS PRECLÁSICAS EN ENTIERROS

Durante esta temporada se localizaron seis vasijas completas en entierros pertenecientes a este período, las cuales serán descritas a continuación, para una mejor comprensión:



**FOTO. 19.1 VASIJA 2 / ENTIERRO 3**  
 CHA10A – 6 – 7 – 8  
 REG. IDAEH 17.7.115.2

**Tipo Sierra Rojo / Chicanel**  
 Plato localizado como ofrenda en el Entierro 3 depositado en una Estructura Baja, posiblemente doméstica. Este tipo de vasija es utilitaria y común en el periodo Preclásico Tardío (300 AC-175 DC) (Pellecer, 2006; Arroyave 2010). Sin ninguna iconografía, denotando el bajo rango del individuo al que acompañaba.



**FOTO. 19.2 VASIJA 9 / ENTIERRO 12**  
 CHA3B – 6 – 4 – 4  
 REG. IDAEH 17.7.115.9

**Tipo Laguna Verde Inciso**  
**V. acanalado**  
 Localizado dentro del relleno que cubría la Sub-3D1, colocada a manera de ofrenda de cierre del edificio. Por su forma, acabado y decoración podría tratarse de una vasija elitista manufacturada especialmente para este evento, ya que no posee huellas de uso.



**FOTO.19.3 VASIJA 5 / ENTIERRO 6**  
 CHA3B – 1 – 2 – 2  
 REG. IDAEH 17.7.115.5

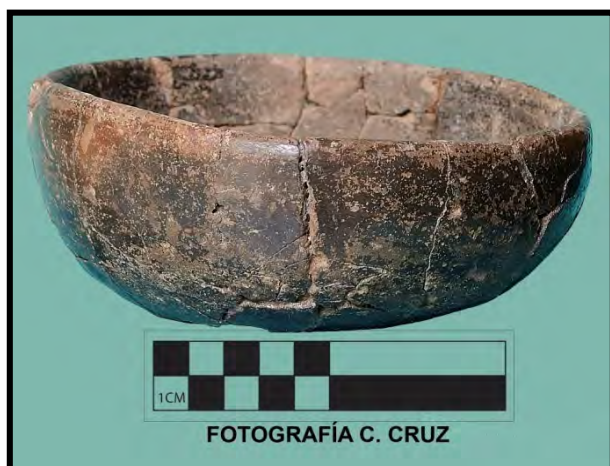
**Tipo Sierra Rojo / Protoclásico**  
 Procedente de un entierro saqueado dentro del relleno que cubría la Sub-3D-1. En algunos estudios se le llama vasija chocolatera y podría estar relacionada con el cacao, una bebida elitista que necesita un recipiente diseñado para su preparación y servicio y está asociada a 3 vasijas más, denotando probablemente el alto rango del individuo enterrado con ellas.



**FOTO. 19.4 VASIJA 6 / ENTIERRO 6**

CHA3B – 1 – 2 – 2

REG. IDAEH 17.7.115.6



**FOTO. 19.5 VASIJA 7 / ENTIERRO 6**

CHA3B – 1 – 2 – 2

REG. IDAEH 17.7.115.7



**FOTO. 19.6 VASIJA 8 / ENTIERRO 6**

CHA3B – 1 – 2 – 2

REG. IDAEH 17.7.115.8

***Tipo Sierra Rojo / Protoclásico***

Asociada con la vasija anteriormente descrita y con las dos descritas infra, quizá manufacturada especialmente para formar parte de este ajuar funerario. Sin huella de uso.

***Tipo Sierra Rojo / Protoclásico***

Cuenco engobado rojo ahumado, con huellas de uso, utilizado probablemente en el tiempo de vida de su propietario. Probablemente adicionado a las otras vasijas para formar un patrón de cuatro vasijas de acompañamiento funerario, común en la época posterior.

***Tipo Sierra Rojo / Protoclásico***

La vasija estaba mutilada, con huella de 4 soportes. En su interior se recuperaron 2 conchas marinas perforadas, como pendientes, quizá objetos suntuarios marcadores de rango y prestigio.

Por su forma, decoración y contextos en ofrendas constructivas y enterramientos, las vasijas tuvieron amplia representatividad durante el Preclásico, cuando toda la tradición cultural parece estar unificada por nexos socio-políticos.

## VASIJAS CLÁSICO TEMPRANO EN LOS ENTIERROS

Es interesante encontrar una posible vasija del Clásico Temprano dentro del relleno del Basamento del gran Montículo Cívico Oeste en un contexto funerario, ya que en el sitio, la presencia del Clásico Temprano, es muy escasa



**FOTO. 19.7: VASIJA 1 / ENTIERRO 2**

CHA6A – 1 – 7 – 7  
REG. IDAEH 17.7.115.1

(comunicación personal A. Foias 2014), y no se sabe si es efecto de reducción de la población, despoblamiento o reacomodo de las comunidades. Otra posibilidad es que se trate de una vasija transicional, pues la forma parece de la esfera Tzakol, pero su acabado de superficie es aun cerosa del período anterior.

### ***Tipo Dos Hermanos / Tzakol 1***

Vasija asociada al Entierro 2 en el relleno del Basamento del Grupo 3 del sitio, posiblemente intrusiva.

Se definió esta vasija dentro del Clásico Temprano, debido a su acabo de superficie y por la forma, la cual no es similar a las formas de Chicanel que vimos anteriormente. Se piensa que en ciertas ocasiones encontraremos decoraciones o formas que permean al periodo que le sigue (es decir por ejemplo del Preclásico Tardío al Período Clásico Temprano), sin embargo como en este caso, aunque la decoración es parecida a simple vista a las de Sierra, esta forma ya no corresponde a ese tipo (comunicación personal J, Castellanos 2014).

## VASIJAS CLÁSICO TARDÍO Y/O TERMINAL EN LOS ENTIERROS

Durante esta temporada se logró recuperar siete vasijas del Clásico Tardío de las cuales tres corresponden a la sub fase cerámica Tepeu 1 y cuatro de ellas a la sub fase cerámica Tepeu 2, se cree que estas pertenecen a la última ocupación en el sitio, ya que los entierros

de donde proceden estas vasijas son intrusivos (ver Solís y Greenfelder en este mismo tomo).

Es importante mencionar que estas vasijas corresponden al mismo período en el que Motul de San José tuvo su mayor apogeo, lo cual podría sugerir interrelación directa con el sitio rector del área (comunicación personal A. Foias).

### *Policromo eros. / Tepeu 1*

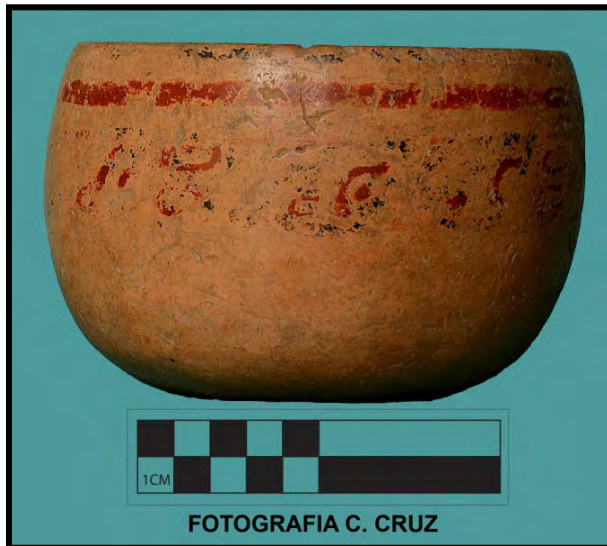


**TO. 19.8 VASIJA 10 / ENTIERRO 13**

CHA3B – 7 – 3 – 3

REG. IDAEH 17.7.115.10

Plato Policromo erosionado Tepeu 1. Entierro intrusivo primario, en el relleno de CHA-Sub 3D-1. Asociado con las vasijas infra descritas, marcador elitista del individuo enterrado con él.



**FOTO. 19.9 VASIJA 11 / ENTIERRO 13**

CHA3B – 7 – 3 – 3

REG. IDAEH 17.7.115.11

### *Sibal Ante Policromo / Tepeu 1*

Cuenco de paredes y base redondeada con una banda circunferencial en el cuerpo con puntos y manchas zoomorfas de jaguar, posiblemente asociado al Inframundo, marca la continuidad en la ocupación del sitio y en la importancia cívico ritual del gran basamento del Grupo 3.



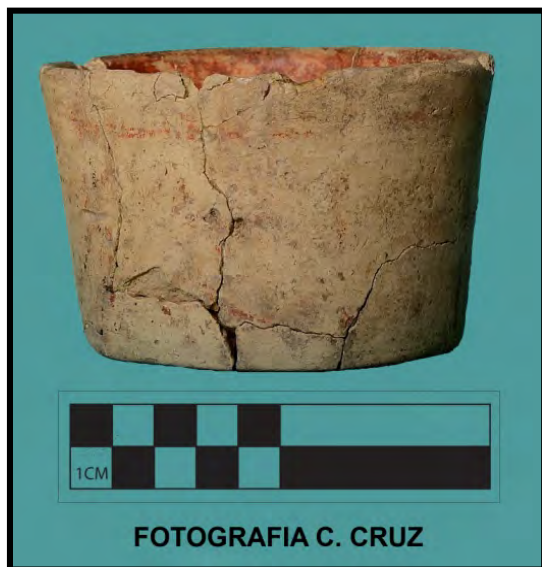
**FOTO 19.10 VASIJA 12 / ENTIERRO 13**  
 CHA3B – 7 – 3 – 3  
 REG. IDAEH 17.7.115.12

***Policromo eros. / Tepeu 1***  
 Cuenco de base y paredes redondeadas, recuperada al lado de Vasija 11 como parte del Entierro elitista 13, marcando que Chachaklu'um estuvo inmerso en las redes de patrocinio e intercambio de policromos desde el Clásico Tardío/Temprano.



**FOTO 19.11 VASIJA 3 / ENTIERRO 4**  
 CHA10A – 6 – 7 – 8  
 REG. IDAEH 17.7.115.3

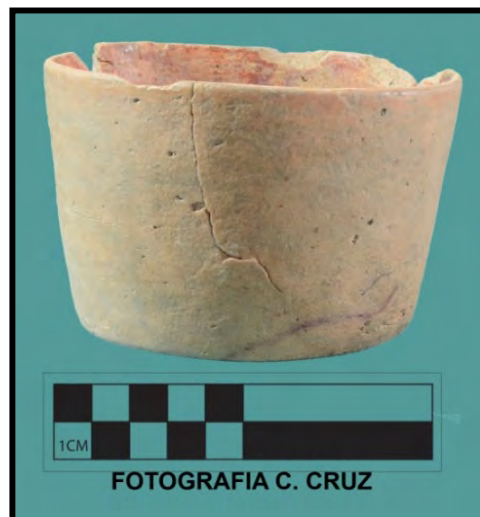
***Policromo eros. / Tepeu 2***  
 Cuenco policromo erosionado, de base redondeada. Entierro intrusivo dentro de la escalinata de estructura doméstica en el Grupo 10.



**FOTO. 19.12 VASIJA 4 / ENTIERRO 5**  
 CHA3A – 10 – 4 – 4  
 REG. IDAEH 17.7.115.4

***Policromo eros. / Tepeu 2***

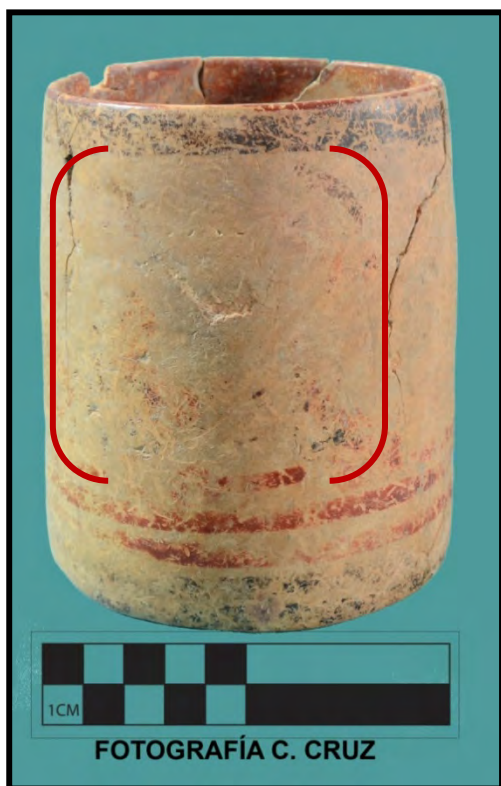
El Entierro 5, es intrusivo en la escalinata frontal de la Estructura 3A del Grupo 3, tiene varias similitudes al estilo Policromo Ik' manufacturado en Motul de San José durante el Clásico Tardío.



**FOTO. 19.13 VASIJA 13 / ENTIERRO 17**  
 CHA3A – 16 – 4 – 4  
 REG. IDAEH 17.7.115.13

***Policromo eros. / Tepeu 2***

Aunque se encuentra erosionada, aun es visible algunas partes de engobe, similar a la Vasija 4, del Entierro 5, ambas son dos vasos poco profundos con paredes recto-divergentes parecidas a algunos cuencos del Estilo *Ik'*, que retratan a los dos reyes más famosos de Motul de San José, Yajawte' K'inich y K'inich Lamaw Ek' (Foias y Castellanos, en este volumen Capítulo 24)



**FOTO. 19.14 VASIJA 14 / ENTIERRO 17**  
CHA3A – 16 – 4 – 4  
REG. IDAEH 17.7.115.14

### **Comentarios**

Hemos observado que las vasijas en los ajuares funerarios, han evolucionado en cada uno de los períodos del sitio, donde es evidente que los habitantes del sitio Chachaku'um, cambiaron su ideología de la muerte, reflejada, ya que de la cerámica utilitaria

### ***Policromo eros. / Tepeu 2***

Aunque se encuentra erosionada, se aprecian en la vasija (parte encerrada entre corchetes), la figura de dos personajes, sentados con las piernas cruzadas uno frente al otro con el torso completamente de perfil, lo cual parece evocar una escena tipo palaciega entre personajes de rango menor.

asociada a los entierros Preclásicos, pasamos a las ofrendas policromas del Clásico Tardío, lo cual es un indicativo de estatus (ver Solís, en este volumen), ya que la asociación de este tipo de vasijas que parecen ser más especializadas esa asociada con niveles jerárquicos de mayor rango.

# CAPITULO 20

## RESUMEN ANALÍTICO DE LAS FIGURILLAS RECUPERADAS EN KANTE'T'U'UL Y CHACHAKLU'UM, 2014

Silvia Aquino

*Universidad de San Carlos de Guatemala*

### INTRODUCCIÓN

Las excavaciones llevadas a cabo en el sitio Chachaklu'um, recuperaron 75 fragmentos de figurillas cerámicas (Véase Tabla 20.1). El análisis mostró un amplio rango temporal en la elaboración de las figurillas, que abarca desde el período Preclásico Medio y Preclásico Tardío al período Clásico Tardío, según los siguientes indicadores: Técnica de manufactura, acabado de superficie, elementos que constituyen un motivo iconográfico (en caso de ser posible identificarlo). Por último, se comparó esta muestra, metodológicamente, con el "Catálogo de figurillas del Sitio Kante't'u'ul/ Finca Obando" 2013.

Sin embargo, la muestra recuperada en Chachaklu'um no presentó un número significativo de cabezas, tocados o cabezas con tocados, para la elaboración de un catálogo. Por lo cual, se prefirió el siguiente resumen analítico utilizando los ejemplares más sobresalientes para un análisis comparativo.

### FIGURILLAS DEL PERÍODO PRECLÁSICO EN CHACHAKLU'UM

De la muestra total de 75 fragmentos, únicamente 22 fragmentos son fechados para el Periodo Preclásico, las muestras recuperadas provenían de los niveles constructivos más profundos.

Aparentemente las figurillas fueron elaboradas mediante la técnica de **modelado burdo**, ya que carecen de rasgos faciales detallados, con proporciones irreales en sus extremidades (Halperin; 2005:755).

Se encontró un único ejemplar de una cabeza de figurilla, dentro de un relleno con cerámica fechada tentativamente para la fase Chicanel (véase Foto 20.1) (Ver Aquino y Cantoral, en este mismo volumen). Este fragmento de figurilla presentó un modelado burdo, con los iris perforados, mediante la técnica de punzón, fechando la para el período Preclásico (Foias, comunicación personal, 2014). Presenta un acabado de superficie burdo y deformación craneana, lo cual sugiere una representación iconográfica temprana del "Dios del Maíz" (véase Foto. 20.1). Puede compararse con otros ejemplares encontrados en Cuello fechado para el 400 a.C., finales del Preclásico Medio e inicios del Preclásico Tardío (Hammond, 2008:156). Otro ejemplo similar fechado para el Preclásico Medio proviene de Holmul (Véase Estrada-Belli; 2007 Fig. en la portada).

Las figurillas recuperadas durante la temporada de campo que fueron fechadas para el periodo Preclásico, poseen el cabello elaborado mediante incisiones y los ojos punzonados (indicadores Preclásicos, utilizados por Linares, 2008; 12) y utilizados en otras

clasificaciones para identificar figurillas Preclásicas (Véase las cabezas de Chachaklu'um Foto. 20.1, izquierda y derecha). Mientras que las extremidades inferiores recuperadas, poseen una constitución corporal gruesa hasta gradualmente llegar a unos pequeños pies, fisionomía que da como resultado una apariencia "robusta" a los personajes (Véase Foto. 20.2, izquierda). Estas fueron elaboradas por medio de la técnica de modelado que da como resultado fragmentos sólidos y más pesados, que en otras figurillas de Chachaklu'um fechadas para el Clásico Tardío.

Las figurillas identificadas para el período Preclásico Temprano o Tardío poseen un mayor tamaño, en comparación a las figurillas fechadas para el período Clásico Tardío (véase Foto. 20.2) además de su nivel estratigráfico, el cual es más profundo que el descrito a continuación para las figurillas del período Clásico Tardío.

### **FIGURILLAS DEL PERIODO CLÁSICO TARDÍO EN CHACHAKLU'UM**

La muestra de figurillas de este período se recolectó en la superficie (Nivel 0), dentro del humus (Nivel 1) y sobre un primer piso en algunos casos.

En este momento, se infiere que estos niveles revelan un contexto que fecha para el período Clásico Tardío.

De las técnicas descritas por Halperin (2005) dos técnicas pertenecen a figurillas del período Clásico Tardío:

**Moldeadas:** Producidas con moldes, siendo huecas al ser aerófonos de tipo ocarina o silbatos y pueden poseer partes modeladas (Halperin; 2005:754) (Véase Foto. 20.4, izquierda).

**Parcialmente modelada:** Es la técnica de cabezas moldeadas utilizando ya sea una base plana en la cabeza para encajarla en un cuerpo modelado (Véase Foto. 20.6).

Y el **modelado fino:** Con el uso de una espiga en la base del cuello y un agujero en el cuerpo modelado para encajar ambos (Halperin, 2005:755) (véase Foto 20.3 y 20.4, derecha).

Al encontrarse pocos ejemplares de cabezas, que muestran las técnicas descritas para el Clásico Tardío por Halperin (2005), no se puede describir una técnica predominante. Por lo cual se dice más adelante los motivos iconográficos predominantes durante el Clásico Tardío-Terminal.

Sobresale un ejemplar único, que parece ser un rostro femenino, el cual es vacío posiblemente parte de una ocarina (véase foto 20.4).

Se encontró una gran muestra de fragmentos de cuerpos moldeados y vacíos asociándolos a aerófonos, además de varias boquillas de tipo "cola corta" o "boca" pertenecientes específicamente a ocarinas (véase Stockli; 2000:544).

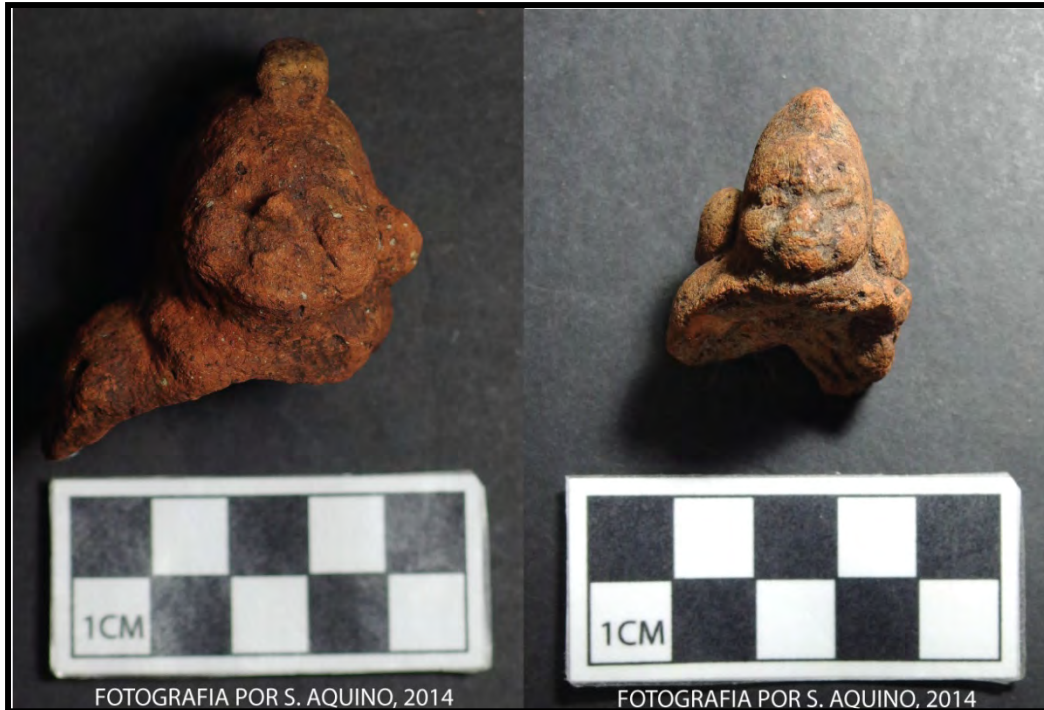
Finalmente se concluye que los sitios de Kante't'u'ul y Chachaklu'um comparten los mismos motivos iconográficos, compartidos a su vez con el sitio rector Motul de San José. Sobresale el ejemplo del motivo iconográfico denominado "Dios Gordo" (Halperin 2007; Fig. 30b. MSJ 2A-3-9-1b) el cual se encuentra en Kante't'u'ul (Aquino; 2013: 177, Fotografía: 10.1), y que en Chachaklu'um se recuperó un "dios gordo" en la superficie (véase Foto. 20.3).



**FOTO 20.1** Figurillas Preclásicas,  
Izquierda; “Dios del maíz” CHA-6C-10-3-3  
y Derecha; cabezas antropomorfas CHA-9A-8-3-5 y CHA-6A-13-6-6



**FOTO 20.2** Figurillas del Periodo Preclásico, Izquierda; Extremidades  
Inferiores CHA-6C-14-3-3 y CHA-6A-6-7-7. Derecha; extremidades inferiores  
de ocarinas CHA-9B-1-5-7, CHA-11A-1-16-16, CHA-6C-7-5-5



**FOTO 20.3** Figurillas del Periodo Clásico Tardío. Izquierda: “Dios gordo” CHA-6A-19-1-1. Derecha: Rostro antropomorfo, proporciones “mof letudas” de posible persona pequeña o “enano” CHA-4B-5-1-1



**FOTO 20.4** Izquierda: Rostro antropomorfo en parte de ocarina CHA-3A-7-2-2. Derecha: Cabeza antropomorfa con espiga CHA-10A-4-1-2

### **FIGURILLAS DEL PERIODO CLÁSICO TARDÍO-TERMINAL EN KANTE'T'U'UL Y CHACHAKLU'UM**

Las últimas excavaciones llevadas a cabo en Kante't'u'ul dieron como resultado la recuperación de 25 fragmentos de figurillas antropomorfas pertenecientes al período Clásico Tardío-Terminal (contextos KTL-23-5-1-1 y KTL-23C-5-3-3 y KTL-12A-2-1-1) es decir, en la superficie o humus (véase Tabla 19.1). Estas figurillas se asocian al período Clásico Tardío por presentar las siguientes características:

Se presenta el motivo iconográfico de un personaje masculino, vistiendo un atavió posiblemente de Guerra (véase Foto. 20.5 y 20.6). Con la misma pasta y en el mismo contexto, se recuperaron dos cabezas antropomorfas masculinas, elaboradas con la técnica de modelado parcial al no poseer espiga, cinco extremidades superiores modeladas y solidas, de las cuales dos ejemplares poseen cabello sobre el hombro y dos presentaron en sus antebrazos la adición modelada de un escudo redondo y plano. Cinco ejemplares de extremidades inferiores varían en forma y estilo: extremidades inferiores en forma cónica que brindan un punto de apoyo en su parte más angosta. Otras extremidades inferiores son moldeadas pero en una

representación más naturalista presentando detalle en los dedos de los pies. Y un solo ejemplar de extremidades inferiores moldeadas y vacías como parte de una ocarina que presenta un motivo iconográfico asociado a una figura femenina. Esto se debe al estar en una posición sedente y por su vestimenta que cubre toda su parte inferior. Este último ejemplo puede comparece con la muestra del período Clásico Tardío "Torsos y bustos femeninos moldeados" de las figurillas excavadas en Kante't'u'ul en 2013 (Aquino; 2013: 183, Fotografía 10.20).

Por otro lado, un torso presenta vestimenta de un faldón, mediante la adición de partes modeladas en la cual posee un acabado de superficie con un mejor acabado, más fino, y presentando engobe rojo y un pigmento azul. Todos los fragmentos fueron recuperados de los contextos de humus mencionados anteriormente, poseen una pigmentación azul, la cual debe ser estudiada posteriormente, para definir sí, se trata del pigmento llamado "azul maya" como se observa en la Fotografía incluida aquí (véase Foto 20.5 y 20.6). Puede compararse con otras figurillas del periodo Clásico Tardío-Terminal con rastro de pintura azul en (Laporte; 2004, Cat. F-127 y F-14: 357-360).



**FOTO 20.5** Extremidades del Clásico Tardío. Izquierda: CHA-6E-24-1-1, CHA-7E-5-2-5 y KTL-23C-5-1-1. Derecha: KTL-23C-5-1-1. (Notar la pintura azul en ambos ejemplos, del lado derecho)



**FOTO 20.6** Figurillas del Clásico Tardío: Rostros antropomorfos y faldón con extremidad inferior KTL-23-5-1-1

**TABLA 20.1 LISTADO DE FIGURILLAS TEMPORADA 2014**

SITIO	OP.	SUB- OP.	UNIDAD	NIVEL	LOTE	# CAJA	# FRAGMENTOS
CHA	2	C	1	3	3	32	1
CHA	2	D	5	1	1	32	1
CHA	3	A	7	2	2	32	1
CHA	3	A	10	1	1	32	1
CHA	3	A	12	1	1	32	1
CHA	3	A	12	2	2	32	2
CHA	3	A	14	2	2	32	1
CHA	3	A	16	1	1	32	1
CHA	3	A	16	2	2	32	1
CHA	3	B	13	2	2	32	3
CHA	3	C	3	1	1	32	1
CHA	3	C	4	3	3	32	1
CHA	4	B	5	1	1	32	1
CHA	4	B	9	1	1	32	1
CHA	4	D	2	2	2	32	1
CHA	5	0	0	0	0	32	2
CHA	5	A	0	0	0	32	2
CHA	5	A	11	1	1	32	1
CHA	5	B	1	1	1	32	1
CHA	5	B	5	1	1	32	3
CHA	6	A	1	7	7	32	1
CHA	6	A	6	7	7	32	1
CHA	6	A	13	4	4	32	1
CHA	6	A	13	6	6	32	1
CHA	6	A	19	1	1	32	1
CHA	6	B	7	4	8	32	1
CHA	6	B	17	1	1	32	1
CHA	6	B	27	4	8	32	1
CHA	6	C	7	4	4	32	1
CHA	6	C	7	5	5	32	1
CHA	6	C	10	3	3	32	1
CHA	6	C	14	3	3	32	1
CHA	6	E	21	1	1	32	1
CHA	6	E	24	1	1	32	1
CHA	6	E	26	1	1	32	1
CHA	6	E	26	2	2	32	1
CHA	7	A	12	1	1	32	1
CHA	7	A	12	2	3	32	1
CHA	7	A	12	2	4	32	1
CHA	7	A	12	7	2	32	1
SITIO	OP.	SUB- OP.	UNIDAD	NIVEL	LOTE	#	#

		OP.			CAJA		FRAGMENTOS
CHA	7	E	3	2	5	32	1
CHA	7	E	4	1	2	32	2
CHA	7	E	5	2	5	32	1
CHA	9	A	4	2	3	32	1
CHA	9	A	8	3	4	32	1
CHA	9	A	8	3	5	32	1
CHA	9	B	1	5	7	32	1
CHA	9	B	10	1	1	32	1
CHA	9	C	4	3	5	32	1
CHA	9	C	7	2	2	32	1
CHA	10	A	2	4	5	32	1
CHA	10	A	3	1	3	32	1
CHA	10	A	4	1	2	32	1
CHA	11	A	1	3	3	32	2
CHA	11	A	2	3	4	32	1
CHA	11	A	1	16	16	32	1
CHA	11	A	7	3	4	32	1
CHA	11	A	7	9	11	32	1
CHA	11	A	7	17	19	32	1
CHA	11	A	13	1	1	32	1
CHA	11	A	19	2	2	32	2
CHA	11	A	15	1	1	32	1
CHA	13	A	5	5	23	32	1
KTL	21	A	2	1	1	23	2
KTL	23	C	5	1	1	23	21
KTL	23	C	5	3	3	23	1
KTL	23	C	3	3	3	23	1
						<b>TOTAL</b>	<b>100</b>

# CAPITULO 21

## RECONOCIMIENTO REGIONAL DE RECURSOS NATURALES EN LA ENTIDAD POLÍTICA DE MOTUL DE SAN JOSÉ, TEMPORADA 2014

Kitty Emery

*Florida Museum History Natural, Gainesville-Florida*  
*Traducción Jeanette Castellanos*

El Reconocimiento Regional de Recursos del Proyecto Eco-Arqueológico Periferia de Motul de San José, continua explorando cuestiones sobre la ubicación de los recursos y sus características. Como ha discutido Emery y sus colegas en 2013, nuestra comprensión de las interrelaciones económicas y políticas entre los sitios de la entidad política de Motul depende de un preciso entendimiento de los recursos que estuvieron disponibles en y alrededor de la entidad política de Motul de San José, a escala regional y de la extensión en la cual ellos fueron utilizados por los residentes de varios sitios.

Durante la temporada del 2014, como en la del 2013, nuestro objetivo primario fue reconocer los recursos de agua. Nuestro hallazgo en la Temporada de Campo del 2013 aclaró la complejidad de los sistemas hidrológicos subyacentes en la región de Motul y la extensión de ellos y como fueron impactados por patrones climatológicos temporales a gran escala, así como también, por las actividades humanas sobre el paisaje (agricultura, construcción, etc.). Este año se tomó gran ventaja de la presencia única de Don Jorge Arturo Zac V'itzil, nuestro especialista en conocimientos tradicionales ecológicos de la zona y sobre los residentes de la aldea Itzá de San José, Petén. En particular, se exploró el concepto de mapeo

experimental, basado en su historia personal e historia aprendida sobre el ambiente que él ha explorado por años, desarrollando un mapa detallado de las fuentes de agua en la región de Motul. Este mapa de Don Jorge Zac, incorpora más que datos sobre el espacio tridimensional, también la historia de uso y significado de la ubicación, a través de los ojos de un residente (De nardi 2014).

Nosotros nos enfocamos particularmente en el complejo de “antiguas” aguadas, que fueron nombradas por Don Jorge y las cuales también se registraron. Estas son aguadas que han sido nombradas de generación en generación por toda la comunidad. Estas “antiguas” aguadas son bien distinguidas por los residentes locales de otras aguadas “modernas” (las cuales a menudo son tenidas en baja estima y son consideradas ejemplos de pobre manejo de recursos).

Las fuentes de agua nombradas fueron mapeadas por Don Jorge en su plano de la comunidad (Foto. 21.1) y son verdaderamente consideradas sitios sagrados o de gran importancia y utilidad para la comunidad, pero propiedad de familias individuales, quienes se encargan de su mantenimiento, quizá linajes – como en los documentos históricos describiendo linajes de propietarios y de mantenimiento de los Cenotes en Yucatán (Véase Alexander 2012).

Como Don Jorge Zac nos aclarara, estas fuentes de agua han sido cuidadosamente mantenidas por generaciones a través de un selecto paisaje y manejo de agro-forestería del área, directamente alrededor de las aguadas y con sus presuntos drenajes. Las aguadas están rodeadas por grandes árboles de sombra, con grandes raíces, que producen retención del suelo y la mayoría fueron plantados como árboles frutales de gran antigüedad. La historia de cada aguada fue conocida y descrita por Don Jorge Zac, algunas con gran placer (particularmente aquellas vinculadas a su propia familia) y otras descritas con angustia por el estado en el cual se encuentran actualmente, modificadas inapropiadamente por el manejo comunitario (en un caso recubierta y convertida en otra cosa), otras sobre utilizadas con insuficiente atención para su mantenimiento o en completo abandono.

Desde una perspectiva personal, estas aguadas fueron oasis extraordinarios en el corazón de las milpas en proceso de limpieza, ocupadas por comunidades y algunas veces cercadas por vegetación secundaria. Cada una fue significativamente fría y refrescante para los alrededores, cada una invitando a la relajación y contemplación.

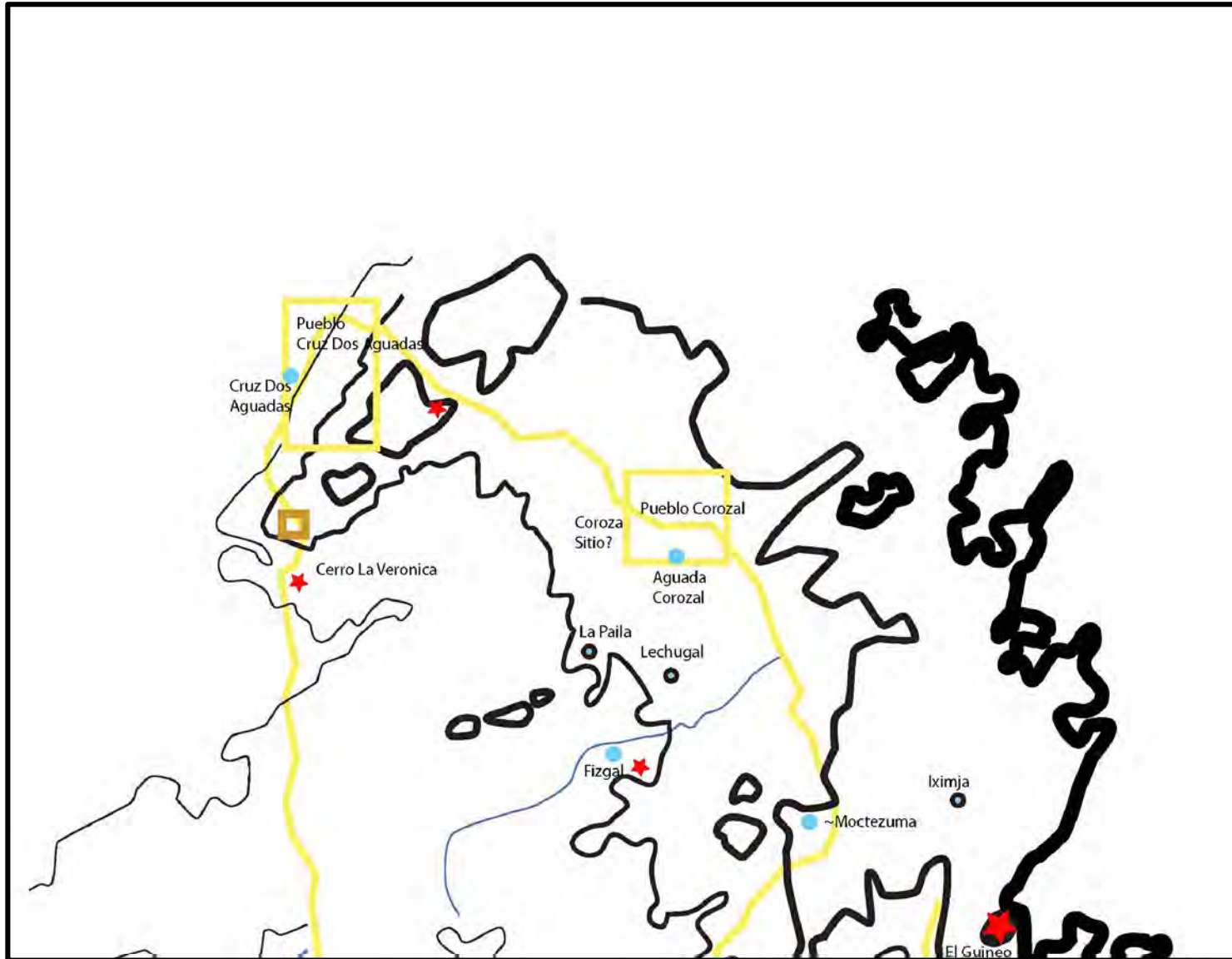
La historia personal de Don Jorge Zac, con las aguadas, incluyó su tiempo de vida viajando a pie a través de esta región, antes de la construcción de carreteras y el inevitable asentamiento y

devastación forestal que acompaña la construcción de caminos. Su mapa refleja la ruta que él y otros residentes tomaron desde una fuente de agua a otra, cuidadosamente memorizadas y cuidadosamente mantenidas como “paraderos estacionales” en viajes que pueden tomar varios días entre poblados y fincas, áreas chicleras o milpas distantes. Su mapa está claramente basado en su memoria de distancias de viaje entre estos lugares y como estas distancias se ven afectadas por la topografía y por las rutas para caminar a pie comúnmente utilizadas. No es fácil transferir este mapa experimental a un único diseño que refleje las dos dimensiones del espacio plano.

Proporciono ambos mapas, primero el Mapa Experimental de Don Jorge, con las ubicaciones de varias aguadas o pozos registrados en el mapa (Foto. 21.1) y después un mapa basado en GIS, que muestra la ubicación cartográfica de los mismos rasgos (Foto. 21.2). Varias imágenes de las aguadas son presentadas (Fotos. 21.1-21.4) para mostrar la variación en la conservación, como los nuevos residentes han frenado la plantación y vegetación de mantenimiento, cortando árboles bajos y permitiendo que las aguadas fueran usadas para lavar ropa, aseo personal y abrevaderos para animales. La más prístina aguada es la Jobomo, la cual seguramente representa el estado de todas las aguadas durante el período de ocupación Maya Clásico en la región.



Fig. 21.1 Mapa Experimental de Don Jorge Arturo Zac V'itzil



**Fig. 21.2** Región de la entidad Motul de San José:  
Combinación de un Mapa Experimental y uno GIS/Google Earth.

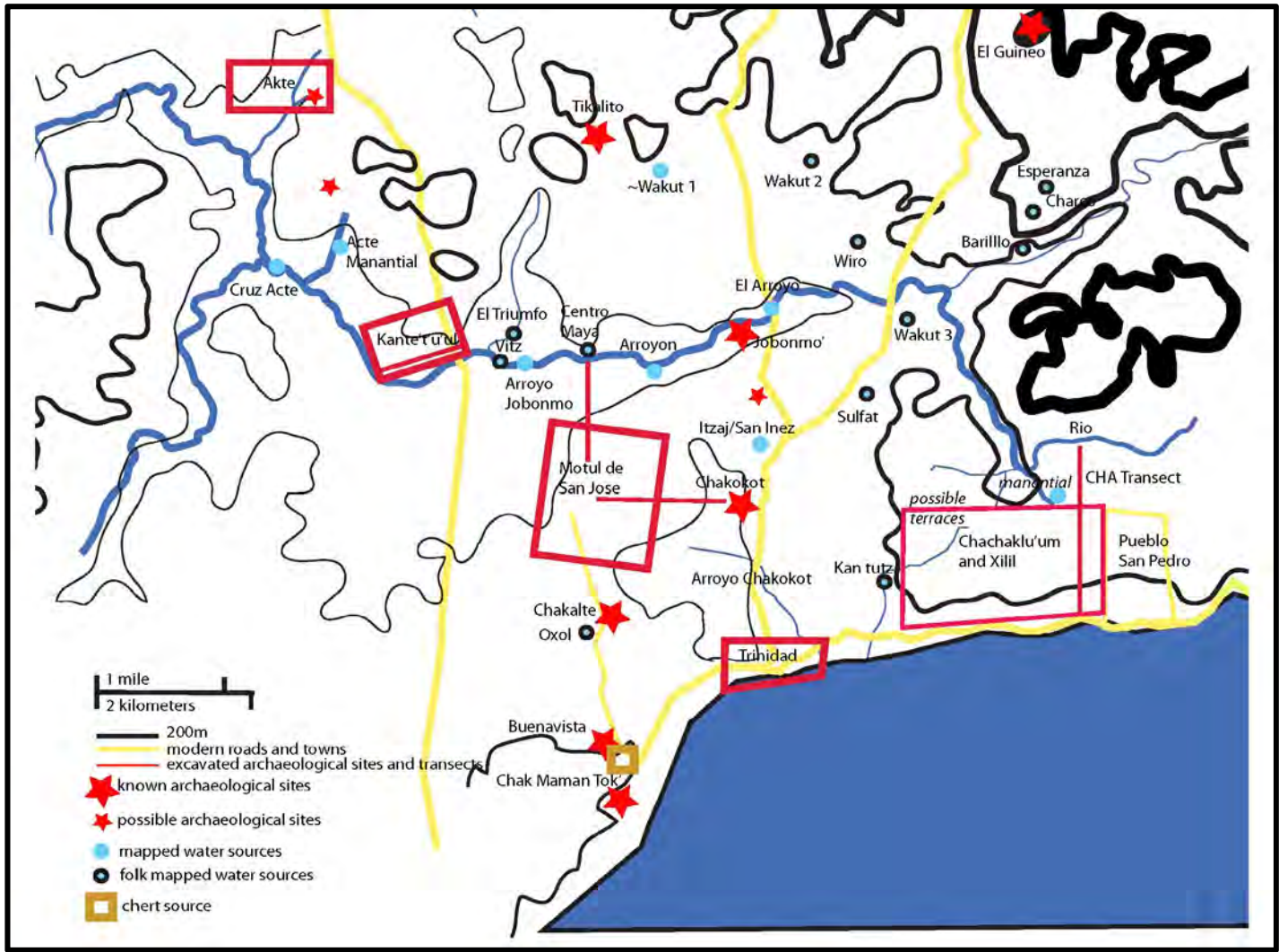


Fig. 21.3 Mapa GIS/Google Earth

Mostrando la ubicación de muchos de los sitios de la Región de Motul y las Fuentes de agua (Nótese que la mayoría de los senderos hacia los recursos de agua mostrados aquí, son estacionales y en algunos casos ya han desaparecido durante los 60 años de edad de don Jorge Zac)



**Foto 21.1 Aguada Corozal,**

Se ha mantenido parcialmente, según lo indicado por los grandes árboles y vegetación acuática. Sin embargo, mucha vegetación ha sido cortada, el pueblo utiliza el agua para lavar la ropa y abreviar el ganado, reduciendo su eficacia como recurso de agua para beber.



**Foto 21.2 El Río Akte**

Se considera que el Río Akte posee manantial (arriba a la izquierda) y una fuente (arriba a la derecha), a corta distancia al Este del río principal que cruza (abajo). Tanto manantial como la fuente se consideran fuentes de agua muy saludables y el río es permanente.



**Foto 21.3 El pueblo Cruce Dos Aguadas**

Es el nombre de esta y otra aguada cercana, famosa por generaciones. Esta aguada ahora ha sido considerada como un beneficio para el pueblo y el resto del agua en campo abierto es de mala calidad. Los árboles se han eliminado y el agua se está evaporando. Animales y ciudadanos son libres de bañarse en las aguas turbias.



**Foto. 21.4 La aguada Jobomo**

Es la mejor conservada, después de haber estado en posesión de la familia Vitzil durante muchos años. La zona de exuberante vegetación, sombra de altura y árboles frutales. A pesar de la tendencia a la sequía a lo largo de este tramo del río, esta aguada conserva su agua todo el año.

# CAPITULO 22

## RECONOCIMIENTO PRELIMINAR DE PLANTAS EN CHACHAKLU'UM

Andrew Wyatt

*Middle Tennessee State University*

### INTRODUCCIÓN

Otra parte del estudio medio-ambiental fue un reconocimiento de plantas. El Dr. Andrew Wyatt y sus colegas han llevado a cabo un inventario de las especies de árboles en los sondeos de suelo, que representan el rango de tipos de suelo en el sitio Chachaklu'um. El propósito de este inventario de plantas fue obtener la mayor cantidad de información acerca del potencial ecológico de los diferentes tipos de suelos presentes en el sitio. Diferentes tipos de suelo sirven a menudo para diferentes comunidades de vegetación, lo que puede dar una idea de las modalidades de explotación ambiental de los antiguos mayas.

### RESULTADOS PRELIMINARES

El registro de los tipos de suelos sigue las clasificaciones y terminología indígena Itzá y fueron identificados por Sr. Don Jorge Arturo Zac. Se eligieron tres pozos de prueba, representativos de los diferentes tipos de suelos y se realizó un estudio de las especies de árboles en un radio aproximado de 10 metros alrededor de cada unidad (Tablas 22.1 y 22.3). Los árboles fueron identificados por el Sr. Zac por nombres comunes en español o en Itzá y se identificaron a nivel de género y especie utilizando el libro *Plantas de El Petén Itzá Maya*, como una guía de referencia. Sin embargo, varias plantas no se encuentran en este libro y todavía no han sido identificadas. Futuras

investigaciones serán necesarias para identificar con precisión todas las especies de árboles de estos inventarios.

Los diferentes tipos de suelos muestran una alta diversidad de especies de árboles, que van desde 13 especies presentes en el suelo Tierra Negra y 7 especies presentes en el suelo Sacnis. Chechem negro (*Metopiumbrowneii*), mano de león (*Dendropanaxarboreus*), jocote de monte (*Spondiassp.*) y sahab (desconocido) están presentes en los tres diferentes tipos de suelo. Nance (*Byrsonimacrassifolia*), trompo (desconocido), submin blanco (*Acacia collinsii*), yaxnik (*Vitexgaumeri*) y watob/boca del niño (*Caseariajavitensis*) estuvieron presentes en dos de los tres sondeos, con el resto de las especies que se asocian con un solo tipo de suelo. Chechen negro representa la mayoría de especies individuales, con 12 árboles situados en la zona del suelo Sacnis, aunque el resto de las especies de árboles están representadas únicamente por uno o dos individuos en cada área.

En este punto, será necesario llevar a cabo más estudios sobre la vegetación con el fin de analizar la relación entre tipo de suelo y asociaciones de vegetación. La diversidad de especies de árboles son afectados no sólo por el tipo de suelo, sino también cierto grado de perturbación natural o humana, la pendiente, la luz disponible y otros factores ambientales.

Nombre Común	Nombre Científico
Ch'ilo'onche	<i>Eugenia sp.</i>
Jocote de monte	<i>Spondias sp.</i>
Habilche	<i>Desconocido</i>
Nance	<i>Byrsonimacrassifolia</i>
Chaca Colorado	<i>Burserasimaruba</i>
Jolol	<i>Hampeatomentosa</i>
Mano de Leon	<i>Dendropanaxarboreus</i>
Watob / Boca del Niño	<i>Caseariajavitensis</i>
Yaxnik	<i>Vitexgaumeri</i>
Tamay	<i>Zuelaniaguidonia</i>
Chechen negro	<i>Metopiumbrownellii</i>
Sahab	<i>Desconocido</i>
Pixoy	<i>Guazuma ulmifolia</i>

**Tabla 22.1 Sondeo de Suelo 1/Unidad 12A-1: Tierra Negra**

Nombre Común	Nombre Científico
Nance	<i>Byrsonimacrassifolia</i>
Sahab	<i>Desconocido</i>
Mano de Leon	<i>Dendropanaxarboreus</i>
Jocote de Monte	<i>Spondias sp.</i>
Trompo	<i>Desconocido</i>
Yaxnik	<i>Vitexgaumeri</i>
Bakelak	<i>Laetiathamnia</i>
Chechen negro	<i>Metopiumbrownellii</i>
Subim blanco	<i>Acacia collinsii</i>
Watob / Boca del Niño	<i>Caseariajavitensis</i>
Chonte	<i>Cupaniabelizensis</i>

**Tabla 22.2 Sondeo de Suelo 2/Unidad 12A-7: Sacnis con Piedras / Chachaklu'um**

Nombre Común	Nombre Científico
Sahab	<i>Desconocido</i>
Jocote de Monte	<i>Spondias sp.</i>
Chechen negro (12)	<i>Metopiumbrownellii</i>
Tzuj	<i>Desconocido</i>
Subim blanco	<i>Acacia collinsii</i>
Trompo	<i>Desconocido</i>
Mano de Leon	<i>Dendropanaxarboreus</i>

**Tabla 22.3 Sondeo de Suelo 3/Unidad 12A-8: Sacnis**

# CAPITULO 23

## BREVES APUNTES HISTÓRICOS Y ANTROPOLÓGICOS ENTORNO A LOS POBLADOS DE SAN ANDRÉS Y SAN JOSÉ, PETÉN.

Juan Carlos Garrido González

*Universidad de San Carlos de Guatemala.*

### INTRODUCCIÓN

El presente ensayo está orientado a abordar las particularidades generadas en él de una forma muy general, las interacciones particulares generadas en los pueblos de San Andrés y San José, que se ubican al Norte del lago Petén-Itzá, en el actual departamento de Petén. Lo anterior con base en una estructuración dual, que comprende por un lado, un breve estudio del desarrollo histórico de la región, destacando algunos elementos puntuales desde la época colonial, hasta entrado el siglo XX; por otro lado, los datos obtenidos con base en una investigación de carácter antropológico, la cual fue desarrollada durante el mes de julio de 2014, en los poblados de San Andrés y San José. El punto de interrelación entre estas dos ciencias, es la historia viva que ha trascendido y ha marcado esas particularidades que persisten y se han ido arrastrando hasta la actualidad, moldeando la forma de vida actual en estos poblados.

### METODOLOGÍA

La recolección de la información y su posterior estructuración, van a comprender dos procesos esenciales, por una parte, la recolección de las entrevistas a distintos pobladores de San Andrés y San José (poblados que son cabeceras de dos municipios con

nombres homónimos, que son colindantes, ubicados en el Norte del departamento de Petén), las entrevistas, tienen la finalidad de brindar información sobre diversos aspectos de la forma de vida propia de la región, como también todos aquellos elementos que estructuran la cultura propia de esta región. Por otro lado, una posterior recolección de información histórica, permitirá dar luces sobre el desarrollo de los pueblos en su pasado y su memoria histórica, los cuales pueden estar distantes e incluso contraponer los hechos reales de las ideas y creencias elaboradas en el seno de la población.

### LA REGIÓN DEL PETÉN EN LA HISTORIA Y LA ACTUALIDAD

*La Conquista y la Colonia.* A pesar de que los pueblos asentados alrededor del lago de Petén, habitaron esa región mucho antes a la llegada de los españoles, los registros escritos, inician con la llegada de estos invasores extranjeros, en estos documentos se plasma parte de la historia colonial, de la cual, de una u otra forma, esta región jugó un papel determinado. El primer registro sobre los habitantes de la región, proviene de las “Cartas de Relación” de Pedro de Alvarado, durante el primer cuarto del siglo XVI (Lois & Vapnarsky, febrero 2010).

Sin embargo, el proceso de conquista de la región, fue el más tardío del reino de Guatemala, esto debido a la lejanía en que se encontraba y el relativo aislamiento en que se hallaba; el pueblo Itzá, eran quien controlaba la región desde cientos de años atrás, manteniendo una red de relaciones económicas y políticas con otros grupos nativos (Academia de Geografía e Historia, 2011), esta estructura, como ya se ha mencionado, se mantuvo a pesar del proceso de conquista que concluyó oficialmente alrededor del año 1524.

El proceso de conquista del Petén inicio con misiones y expediciones esporádicas entre los siglos XVI y XVII, que resultaron infructuosas y su alcance fue totalmente limitado; mientras que el punto de mayor actividad militar por parte de los españoles se centra entre 1692 y 1697, a causa de los intereses particulares del español Martín de Ursúa y Arizmendi, quien a cambio de la conquista del Petén, se le prometería ser el próximo gobernador de Yucatán (Academia de Geografía e Historia, 2011). Una fusión entre expediciones militares y misiones religiosas, el proceso de sometimiento fue avanzando lentamente durante los primeros años, ya que Ursúa había relegado la responsabilidad a sus

subalternos, que habían fracasado a largo plazo; en gran parte, lo anterior fue debido, a las tácticas aplicadas por los itzaes, desarrollando una “guerra de guerrillas” y una diplomacia interna, que evito las guerras intestinas, traiciones y alianzas con los españoles (Caso Barrera, 2002).

A principios de 1697, Ursúa encabezó una expedición para someter a los Itzá, teniendo un éxito de valoración positiva, ya que había logrado tomar la capital del reino, el cual había sido abandonado previamente por sus pobladores, al tener noticias de los españoles. Posterior a la “conquista”, las tropas de Ursúa se marcharon al llegar la estación lluviosa y el aislamiento de la región, que dificultaba la marcha (Gall, 1980); a pesar de esto, la presencia española en la región había llegado para quedarse, asentándose al Sur del lago, e intentando avanzar hacia el Norte para establecer mayores puntos de control.

Por su parte de los itzaes, al ser expulsado de su capital, se situaron alrededor del lago, en pequeños poblados que continuaron como focos de insurrección, después de la captura del señor Canek, apareciendo caciques que continuaron las tácticas de guerrilla, pero las crecientes tensiones internas desembocaron en guerras intestinas que debilitaron la resistencia, la cual fue vencida con el paso del tiempo.

Para los españoles, los Itzaes representaron una amenaza, que conllevó a plantear la necesidad de establecer un fortín en la región del lago Petén Itzá (1741), siendo uno de los más antiguos junto con el Castillo de San Felipe<sup>1</sup>; junto a esta estructura defensiva, se construyó en la región, el presidio de Nuestra Señora de los Remedios, para castigar indígenas rebeldes; las acciones esenciales para el control de la región y sus habitantes, fueron las reducciones de los poblados de indígenas que se sublevaban. Una de estas reducciones dio como consecuencia el actual pueblo de San José, que se asentó en la antigua misión religiosa de San Joseph (Lois & Vapnarsky, febrero 2010).

Durante el siglo XVIII, la implementación de la estructura colonial se hizo evidente en la región, con la aplicación de repartimiento, los servicios personales, trabajo forzado y el cobro de impuestos<sup>2</sup>. Para un mayor control de los poblados indígenas y que estos acataran los mandatos españoles, se implementaron las primeras milicias indígenas bajo las ordenes de los españoles; ya que el huir hacia la selva, fue un medio para evitar la represión española, que en algunos casos no era efectiva, al ser capturados y enviados al presidio; por lo cual, los pobladores

---

<sup>1</sup> Mientras que Claro Delgado apunta la finalidad del fortín hacia la defensa contra los ingleses, llamativamente esta edificación se encontraba en un punto muy alejado de las costas. Por otra parte, Caso Barrera no indica nada sobre el fortín, pero si la preocupación española ante cualquier sublevación o levantamiento por parte de los pueblos Itzá, lo cual justificaría otro motivo para la construcción de esta estructura defensiva.

<sup>2</sup> Caso Barrera expone en su investigación la estructura de cada una de estas formas de explotación tanto en la región de Yucatán como la de Petén.

gradualmente fueron disminuyendo la producción agrícola, para evitar una mayor exigencia tributaria (Caso Barrera, 2002). Por otra parte, se fueron estableciendo haciendas ganaderas de origen español, por lo cual, fueron apareciendo mestizos y mulatos en la región, para trabajar. Un caso excepcional de haciendas ganaderas, se registró en ambos pueblos, que establecieron dos haciendas comunales para el año de 1755, el ganado fue obtenido como remuneración a los servicios brindados por los pobladores al gobernador de la región, para habilitar el camino de Petén a Río de Belice. Registrándose para el año de 1794, un total de 211 cabezas de ganado vacuno y 29 de caballo para San Andrés, y 51 cabezas de ganado vacuno para San José (Caso Barrera, 2002). Un gran problema se generó en 1795, cuando el funcionario español Joseph Gálvez, quien por mandato de la casa Borbona, tendría que realizar un listado de los bienes que poseían los dos poblados, ante esto, les impidió a las comunidades poder realizar cualquier venta. Como respuesta, los caciques de San Andrés (Pedro Canek) y de San José (Pedro Couh)<sup>3</sup>, presentaron cartas de protesta al presidente de la Real Audiencia de Guatemala, quien les favoreció para disponer de sus cabezas de ganado, situación que se mantuvo hasta inicios del siglo XIX, desconociéndose que sucedió posteriormente. Como consecuencia de este proceso, se establecieron en los poblados, los fondos comunitarios que carecían (Caso Barrera, 2002).

---

<sup>3</sup> Caso Barrera, en la página 368 se presenta una tabla de los principales apellidos de la región del pueblo de San José en Petén, entre los años de 1701 a 1839.

### La Época Independentista y Siglo XX.

Posterior a la época colonial, el desarrollo histórico en la región Norte del Petén se desconoce, las fuentes consultadas no brindan mayor información, más que algún dato aislado, siendo el punto central de la información, las diferentes migraciones que se desarrollaron tanto a nivel nacional, como desde el Sur de México. Estos procesos inician con dos grandes bloques de migraciones desde la región de Yucatán, ya que buscaban escapar de los sucesos del país del Norte: 1) La Guerra de Castas (1847 – 1870) y, 2) La Revolución Mexicana (1920 – 1921). Sucesos que empujaron a una cantidad de yucatecos a emigrar y establecerse en la región norteña de Guatemala. En forma contradictoria, desde el pueblo de San José, muchas personas de origen Itzá, iniciaron una migración hacia regiones del Este y Norte, con la finalidad de huir de la represión que se implementaba por parte del gobierno departamental. Como consecuencia directa de estos hechos, durante el siglo XIX, la población tuvo poca variación, tendiendo a mantenerse estables y con un leve crecimiento (Gall, 1980).

Durante la primera mitad del siglo XX, no se detectaron grandes migraciones y la demografía en la región del Norte del Petén se mantuvo estable, con una pequeña tendencia al incremento. Un hecho notable que marcó a los pobladores de San Andrés y San José, fue la prohibición del gobernador departamental de Petén Federico Ponce Vaidés, en cuanto a las personas con ascendencia Itzá pudieran hablar públicamente su lengua, bajo castigo

físico y multa económica (Schummann Gálvez , 2008), lo cual trascendió por varios años, inclusive después del derrocamiento de Vaidés al intentar perpetuarse como presidente interino de Guatemala, después del Gobierno liberal del presidente Jorge Ubico. Entre los pobladores se presume, que una maestra proveniente de otro departamento del país, tenía contacto con Vaidés y que este planteo la restricción a la lengua a solicitud de la misma; situación que no se ha constatado con base en fuentes escritas oficiales (Chi, Comunicación Personal, 2014).

El efecto de esta situación, fue y continua siendo devastadora, ya que muchas personas se negaron a hablar Maya-Itzá en lugares públicos, y argumentando que no sabían hablar otra lengua que no fuera el español, hasta el día de hoy, esta situación se evidencia en la negativa de muchos ancianos de los pueblos, a enseñar a jóvenes su lengua materna, a pesar que se disponga de interés y de los medios correspondientes.

Retomando el desarrollo histórico de las poblaciones, se puede detectar que durante la segunda mitad del siglo XX, se registraron entre los años de 1950 a 1981, un crecimiento en las migraciones internas, registraron que, más del promedio de la población no eran oriundos del mismo departamento (Academia de Geografía e Historia, 2011); marcando tres aspectos esenciales para estas migraciones: 1) la agricultura, 2) la resina para el chicle y 3) las maderas preciosas (Adams, 1965).